

Lej. 5



Universidad Nacional Autónoma de México

Facultad de Ciencias

SOLUCION DE LA ECUACION DE HELMHOLTZ USANDO ANALISIS DE FOURIER CON REDUCCION CICLICA RECURSIVA Y SU APLICACION EN LA PREDICCION NUMERICA

T E S I S

Que para obtener el título de:

F I S I C O

P r e s e n t a :

FCO. JAVIER BARRETO BAEZ

México, D. F.

Noviembre de 1983



Universidad Nacional
Autónoma de México



UNAM – Dirección General de Bibliotecas
Tesis Digitales
Restricciones de uso

DERECHOS RESERVADOS ©
PROHIBIDA SU REPRODUCCIÓN TOTAL O PARCIAL

Todo el material contenido en esta tesis esta protegido por la Ley Federal del Derecho de Autor (LFDA) de los Estados Unidos Mexicanos (México).

El uso de imágenes, fragmentos de videos, y demás material que sea objeto de protección de los derechos de autor, será exclusivamente para fines educativos e informativos y deberá citar la fuente donde la obtuvo mencionando el autor o autores. Cualquier uso distinto como el lucro, reproducción, edición o modificación, será perseguido y sancionado por el respectivo titular de los Derechos de Autor.

INDICE

INTRODUCCION.

C A P I T U L O 1

DISEÑO DE UN MODELO DE PREDICCIÓN.

1.1 INTRODUCCION.

La ecuación de vorticidad.

Simbología.

1.2 UN MODELO ENERGETICAMENTE CONSISTENTE.

La ecuación de vorticidad en forma de la divergencia.

Una constricción integral.

1.3 EL MODELO BAROTROPICO EQUIVALENTE.

Un promedio en la vertical.

1.4 ANALISIS ESPECTRAL.

Un estudio analítico.

Comparación espectral de los modelos B y BE.

1.5 LA ECUACION DE HELMHOLTZ.

C A P I T U L O 2

METODOS NUMERICOS DE INTEGRACION.

2.1 INTRODUCCION.

2.2 ANALISIS NUMERICO DE LA ECUACION DE HELMHOLTZ.

La integral variacional de Dirichlet.

Discretización del dominio de área limitada.

El método de sobrerrelajación (SOR).

2.3 ANALISIS DE FOURIER Y REDUCCION CICLICA RECURSIVA DE LA ECUACION DE HELMHOLTZ.

El método de Fourier.

Reducción Cíclica.

Análisis de Fourier.

Síntesis de Fourier.

C A P I T U L O 3

PROGRAMAS Y DIAGRAMAS DE FLUJO.

- 3.1 INTRODUCCION.
- 3.2 PROGRAMA Y DIAGRAMA DE FLUJO DEL METODO DE SOBRESRELAJACION.
- 3.3 PROGRAMA Y DIAGRAMA DE FLUJO DEL ANALISIS DE FOURIER Y RCR.
- 3.4 UNA FUNCION TEORICA PARA EL GEOPOTENCIAL, LA VORTICIDAD, EL JACOBIANO Y LA TENDENCIA DEL GEOPOTENCIAL.
- 3.5 GRAFICAS DE LAS FUNCIONES TEORICAS.
- 3.6 SOLUCION DE LA ECUACION DE HELMHOLTZ USANDO METODOS NUMERICOS, (SOR y RCR) , GRAFICAS.
- 3.7 ANALISIS CUALITATIVO Y CUANTITATIVO DE AMBOS METODOS VS. EL RESULTADO TEORICO , GRAFICAS.

C A P I T U L O 4

UN PRONOSTICO EN TIEMPO REAL.

- 4.1 INTRODUCCION.
- 4.2 PROGRAMA Y DIAGRAMA DE FLUJO.
- 4.3 DETERMINACION DEL AREA VALIDA DE PRONOSTICO Y DEL PARAMETRO DE HELMHOLTZ.
- 4.4 GRAFICAS Y RESULTADOS.
- 4.5 CONCLUSIONES.

A P E N D I C E S

- A. Programa geopotencial teórico.
- B. Programa vorticidad teórica.
- C. Programa Jacobiano teórico.
- D. Programa tendencia teórica.

B I B L I O G R A F I A

INTRODUCCION

La meteorología teórica postula que el comportamiento de la atmósfera puede analizarse y entenderse en términos de las leyes y conceptos básicos de la física. La primera tentativa de predecir numéricamente el tiempo fué debida al científico británico L. F. Richardson, estimando que para su época se requeriría el trabajo de 64,000 personas para mantenerse justamente con el tiempo a escala global. En 1948 J. G. Charney encontró que las ecuaciones dinámicas de Richardson podrían simplificarse mediante la sistemática introducción de las suposiciones geostrófica e hidrostática. Con la aparición de computadoras cada vez más poderosas, y con el desarrollo de métodos numéricos y sofisticadas técnicas de modelaje, el pronóstico numérico ha retornado a esquemas que son muy similares a la inicial formulación de Richardson.

El objetivo del presente trabajo es mostrar un método para diseñar modelos energéticamente consistentes. El resultado es el modelo Barotrópico Equivalente, el cual se utiliza operacionalmente con éxito en latitudes medias y altas, y adaptarlo a las latitudes predominantes en la República Mexicana, (latitudes bajas). El segundo objetivo es el de utilizar un método numérico directo de solución de la ecuación de Helmholtz resultante, el cual fué desarrollado por R. W. Hockney, y que fué originalmente utilizado en problemas de plasmas, tubos de electrones y emisores de iones. Como objetivos secundarios, pero no menos importantes, se plantean los problemas de determinar el área válida de pronóstico para una región limitada, (una malla de 24x24 nodos, que abarca gran parte de Norteamérica y toda Centroamérica), y finalmente, la determinación empírica del parámetro de Helmholtz.

Todas las pruebas fueron efectuadas originalmente con una función teórica generada por el Dr. Miyakoda, y usando como testigo un método numérico ampliamente conocido, el método de sobrerrelajación.

CAPITULO 1

DISEÑO DE UN MODELO DE PREDICCIÓN

1.1 Introducción.

LA ECUACION DE VORTICIDAD.

La ecuación completa de vorticidad atmosférica que resulta cuando se utiliza un sistema coordenado isobárico (x, y, p, t) , referida a un sistema rotando con la tierra* (fig. 1) es:

$$\frac{\partial \zeta}{\partial t} + \vec{V} \cdot \vec{\nabla} (\zeta + f) + \omega \frac{\partial \zeta}{\partial p} + (\zeta + f) \vec{V} \cdot \vec{V} + \hat{k} \cdot \vec{V} \omega \times \frac{\partial \vec{V}}{\partial p} = -g \hat{k} \cdot \vec{V} \times \frac{\partial \vec{r}}{\partial p} \quad (1.1)$$

donde

ζ , es la vorticidad relativa del sistema rotando, correspondiendo a un campo escalar que indica la velocidad angular de cada punto sobre la región en estudio, en la dirección \hat{k} . Su expresión matemática es

$$\zeta = \hat{k} \cdot \vec{V} \times \vec{V}$$

*Para mayor información sobre la deducción de la eq. (1.1) se recomienda ver las referencias 1 y 2 al final de este trabajo.

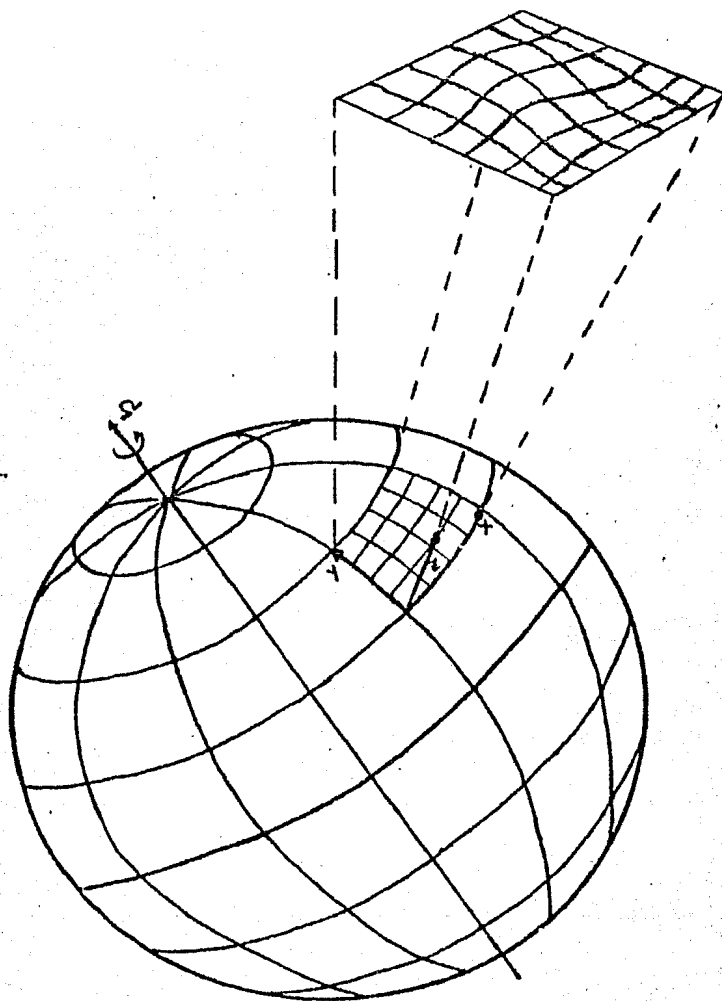


Figura 1.

Sistema coordenado (x,y,p,t)
que rota con la tierra.

\vec{V} , la velocidad en el plano horizontal,

$$\vec{V} = \hat{i} u + \hat{j} v$$

ω , es por definición $= dp/dt$,(cambio individual de la presión).

$\frac{\partial \zeta}{\partial t}$, el cambio local de la vorticidad relativa.

$\vec{V} \cdot \nabla (\zeta + f)$, advección horizontal de la vorticidad absoluta, i.e., - el transporte de la vorticidad absoluta por el viento horizontal.

$\omega \frac{\partial \zeta}{\partial p}$, el cambio por advección vertical de la vorticidad relativa.

$(\zeta + f) \vec{\nabla} \cdot \vec{V}$, el cambio de la vorticidad absoluta por la divergencia del viento.

$\hat{k} \cdot \vec{\nabla} \omega \times \frac{\partial \vec{V}}{\partial p}$, el término debido a la inclinación.

$g \cdot \hat{k} \cdot \vec{\nabla} \times \frac{\partial \vec{T}}{\partial p}$, el término debido a la fricción.

SIMBOLOGIA.

En cuanto a la simbología más frecuente utilizada en este trabajo , es la siguiente:

x, y, z,	Coordonadas espaciales,
t,	tiempo,
u, v,	componentes zonal y meridional de la velocidad,
w,	velocidad vertical,
g,	aceleración de la gravedad,
f,	parámetro de Coriolis ($= 2\Omega \text{Sen} \varphi$),
p,	presión,
φ ,	latitud terrestre,
ϕ ,	geopotencial ($= gz$),
ρ ,	densidad del aire,
ζ ,	componente vertical de la vorticidad,
ω ,	cambio individual de la presión,
χ ,	tendencia del geopotencial,
ψ ,	función corriente,
τ ,	cizallamiento,
Ω ,	velocidad angular de la tierra,
M,	parámetro de Helmholtz,
a_n, b_n ,	coeficientes de Fourier,
A_0 ,	valor de la función $A(p)$ en $p = 0$,
R,	constante de los gases para el aire seco,
C,	velocidad de fase de las ondas planetarias,

- C, D_n , coeficientes de Fourier,
 I , valor de la integral variacional; matriz idéntica,
 h , distancia entre dos puntos consecutivos del enrejado,
 ω , factor de relajación,
 λ_i , i-ésimo eigenvalor de una matriz.

1.2 Un modelo energéticamente consistente.

LA ECUACION DE VORTICIDAD EN FORMA DE LA DIVERGENCIA.

Sean \vec{A} y \vec{B} dos vectores cualquiera, y a un escalar, entonces:

$$\begin{aligned} \vec{v} \cdot (a \vec{A}) &= \vec{A} \cdot \vec{v} a + a \vec{v} \cdot \vec{A} & y \\ \vec{v} \cdot (\vec{A} \times \vec{B}) &= \vec{B} \cdot \vec{v} \times \vec{A} - \vec{A} \cdot \vec{v} \times \vec{B} \end{aligned}$$

por tanto

$$\begin{aligned} \vec{v} \cdot [(\zeta + f) \vec{v}] &= \vec{v} \cdot \vec{v} (\zeta + f) + (\zeta + f) \vec{v} \cdot \vec{v} & y \\ \vec{v} \cdot \left[\omega \frac{\partial \vec{v}}{\partial p} \times \hat{k} \right] &= \hat{k} \cdot \vec{v} \omega \times \frac{\partial \vec{v}}{\partial p} - \omega \frac{\partial \vec{v}}{\partial p} \cdot \vec{v} \times \hat{k} \\ &= \omega \frac{\partial}{\partial p} \hat{k} \cdot \vec{v} \times \vec{v} + \hat{k} \cdot \vec{v} \omega \times \frac{\partial \vec{v}}{\partial p} \\ &= \omega \frac{\partial \zeta}{\partial p} + \hat{k} \cdot \vec{v} \omega \times \frac{\partial \vec{v}}{\partial p} \end{aligned}$$

donde se utilizó el hecho de que $\zeta = \hat{k} \cdot \vec{v} \times \vec{v}$,
 por lo que la ecuación (1.1) puede escribirse como

$$\frac{\partial \zeta}{\partial t} = - \vec{v} \cdot \left[(\zeta + f) \vec{v} + \omega \frac{\partial \vec{v}}{\partial p} \times \hat{k} - g \hat{k} \times \frac{\partial \vec{r}}{\partial p} \right] \quad (1.2)$$

la cual es la ecuación de vorticidad en forma de la divergencia.

UNA CONSTRICCIÓN INTEGRAL.

La generación media de vorticidad en una región de masa M es:

$$\int \frac{\partial \zeta}{\partial t} dM$$

aplicando lo anterior a la ecuación (1.2) se tiene

$$\int \frac{\partial \zeta}{\partial t} dM = - \int \bar{v} \cdot \left[(\zeta + f) \bar{v} + \omega \frac{\partial \bar{v}}{\partial p} \times \hat{k} - g \hat{k} \times \frac{\partial T}{\partial p} \right] dM \quad (1.3)$$

donde $dM = \rho dx dy dz$.

Sea $ds = dx dy$ una diferencial de superficie; utilizando la aproximación hidrostática $dp/dz = -\rho g$ implica

$$dM = - \frac{1}{g} ds dp,$$

lo cual transforma a la ecuación (1.3) en

$$\frac{\partial}{\partial t} \int \zeta dM = - \frac{1}{g} \int \bar{v} \cdot (\zeta + f) \bar{v} ds dp + \frac{1}{g} \int \bar{v} \cdot \left(\omega \frac{\partial \bar{v}}{\partial p} \times \hat{k} \right) ds dp - \int \bar{v} \cdot \left(\hat{k} \times \frac{\partial T}{\partial p} \right) ds dp \quad (1.4)$$

pudiendo entonces aplicarse el teorema de Green, que afirma que

$$\int_1 \bar{v} \cdot \bar{\lambda} ds = \int_1 \bar{\lambda} \cdot \bar{n} dl \quad (1.5)$$

donde \bar{n} es un vector unitario, normal en cada punto a la curva 1; si la integral del lado derecho en (1.5) es efectuada a lo largo de una curva cerrada, será idénticamente igual a cero. Puesto que éste es el caso para la región de área limitada en que se efectúa la integración de (1.3), el resultado es entonces

$$\frac{\partial}{\partial t} \oint_1 \zeta dM = 0; \quad (1.6)$$

naturalmente, la ecuación (1.4) es también idénticamente igual a cero término a término.

El hecho de que la igualdad (1.6) se cumple para la integral (1.3), -- significa físicamente que "LA GENERACION DE VORTICIDAD SOBRE UNA SUPERFICIE DE PRESION GLOBAL ES CERO"; así pues, la vorticidad se conserva dentro de una región de área limitada.

Utilizando la circunstancia de que la ecuación (1.4) es cero término a término, es posible eliminar el último término de la misma sin violar la -- construcción integral (1.6), ya que además es mucho más pequeño que los --

otros, en cuanto a su magnitud.

Si el vector velocidad \vec{V} es dividido de acuerdo con el teorema de Helmholtz, en dos componentes tales que

$$\vec{V}_y = \hat{k} \times \vec{V}\psi \quad \text{y} \quad \vec{V}_x = \vec{V}\chi, \quad (1.7)$$

o lo que es lo mismo

$$\vec{V} \cdot \vec{V}_y = 0 \quad \text{y} \quad \vec{V} \times \vec{V}_x = \vec{0}$$

donde ψ es una función corriente y χ una velocidad potencial, Sustituyendo esto en lo que queda de la ecuación (1.1) se obtiene

$$\frac{\partial \zeta}{\partial t} + (\vec{V}_y + \vec{V}_x) \cdot \vec{V}(\zeta + f) + (\zeta + f) \vec{V} \cdot (\vec{V}_y + \vec{V}_x) + \omega \frac{\partial \zeta}{\partial p} + \hat{k} \cdot \vec{V} \omega \times \frac{\partial (\vec{V}_y + \vec{V}_x)}{\partial p} = 0 \quad (1.8)$$

utilizando además la propiedad (1.7) se llega a

$$\frac{\partial \zeta}{\partial t} + \vec{V}_y \cdot \vec{V}(\zeta + f) + \vec{V}_x \cdot \vec{V}\zeta + \vec{V}_x \cdot \vec{V}f + \zeta \vec{V} \cdot \vec{V}_x + f \vec{V} \cdot \vec{V}_x + \omega \frac{\partial \zeta}{\partial p} + \hat{k} \cdot \vec{V} \omega \times \frac{\partial \vec{V}_y}{\partial p} = 0$$

la cual puede reagruparse finalmente como

$$\frac{\partial \zeta}{\partial t} + \vec{V}(\zeta + f) \vec{V}_y + \vec{V} \cdot f \vec{V}_x + \omega \frac{\partial \zeta}{\partial p} + \vec{V} \cdot \zeta \vec{V}_x + \hat{k} \cdot \vec{V} \omega \times \frac{\partial \vec{V}_y}{\partial p} = 0. \quad (1.9)$$

A fin de reducir aún más la ecuación (1.9) será necesario recurrir al análisis de escala, siendo los ordenes de magnitud de la ecuación (1.9), en latitudes medias:

$$\begin{aligned} \frac{\partial \zeta}{\partial t} &\sim 10^{-10} \text{ seg}^{-2}, & \vec{V}(\zeta + f) \cdot \vec{V}_y &\sim 10^{-10} \text{ seg}^{-2} \\ \vec{V}_x \cdot \vec{V}\zeta &\sim 10^{-11} \text{ seg}^{-2}, & \vec{V}_x \cdot \vec{V}f &\sim 10^{-19} \text{ seg}^{-2} \\ f \vec{V} \cdot \vec{V}_x &\sim 10^{-10} \text{ seg}^{-2}, & \zeta \vec{V} \cdot \vec{V}_x &\sim 10^{-11} \text{ seg}^{-2} \\ \omega \frac{\partial \zeta}{\partial p} &\sim 10^{-11} \text{ seg}^{-2}, & \hat{k} \cdot \vec{V} \omega \times \frac{\partial \vec{V}_y}{\partial p} &\sim 10^{-11} \text{ seg}^{-2} \end{aligned}$$

de donde se observa que es posible eliminar los términos de advección vertical y de inclinación de la ecuación (1.9) (juntos forman el segundo término del miembro derecho de la ecuación 1.4), sin violar la restricción integral (1.6), pero al hacer esto, el análisis de escala obliga a eliminar también

el quinto término de la ecuación (1.9), quedando finalmente aquellos cuya magnitud es de 10^{-10} , esto es:

$$\frac{\partial \zeta}{\partial t} + \bar{v}_y \cdot \bar{v} (\zeta + f) = - f \bar{v} \cdot \bar{v}_x - \bar{v}_x \bar{v} f \quad (1.10)$$

donde el tercer término de (1.9) se ha puesto en su forma desarrollada en el correspondiente miembro derecho de (1.10). La última simplificación que puede hacerse sobre (1.10) es la eliminación de $\bar{v}_x \cdot \bar{v} f$, el cual es el más pequeño de todos, pero dado que en la forma presentada en (1.10) la ecuación de vorticidad cumple todavía con la restricción integral (1.6), con la eliminación del término más pequeño, la restricción integral no es ya satisfecha; esto puede subsanarse si se hace el parámetro de Coriolis f permanecer constante en la región de integración, o sea

$$\frac{\partial \zeta}{\partial t} + \bar{v}_y \cdot \bar{v} (\zeta + f_0) = - f_0 \bar{v} \cdot \bar{v}_x \quad (1.11)$$

con $f_0 = \text{constante}$ y

$$\bar{v} \cdot f_0 \bar{v}_x = f_0 \bar{v} \cdot \bar{v}_x \quad (1.12)$$

con lo que se cumple que

$$\oint_1 f_0 \bar{v} \cdot \bar{v}_x \, ds \, dp = \oint_1 \bar{v} f_0 \bar{v}_x \, ds \, dp = 0, \quad (1.13)$$

mientras que para f variable la igualdad (1.13) no se satisface.

La ecuación (1.11) podría ser reducida aún más mediante la eliminación del segundo miembro (reduciéndose a la llamada ecuación de vorticidad barotrópica), la cual es una buena ecuación de pronóstico ya probada ampliamente en latitudes medias, donde el viento es casi-no-divergente en el nivel troposférico medio, pero en bajas latitudes, donde la componente \bar{v}_x divergente del viento tiende a ser mayor, la ecuación (1.11) deberá proporcionar mejores pronósticos si el miembro derecho es mantenido, ya que la eliminación del término de la divergencia implica desaparecer el mecanismo para LA CONVERSION DE ENERGIA POTENCIAL A ENERGIA CINETICA; así pues, con la retención de éste término se permiten desarrollos de algunos sistemas baroclinicos.

1.3 El modelo barotrópico equivalente.

UN PROMEDIO EN LA VERTICAL.

La ecuación (1.11) es una relación de pronóstico energéticamente consistente, de acuerdo con la restricción integral (1.6), sin embargo, es necesario transformarla a una función de una sola variable.

De la ecuación de continuidad en coordenadas isobáricas

$$\bar{\nabla} \cdot \bar{\nabla} = - \frac{\partial \omega}{\partial p}$$

la ecuación (1.11) se convierte en

$$\frac{\partial \zeta}{\partial t} + \bar{\nabla}_\psi \cdot \bar{\nabla} (\zeta + f) = f_0 \frac{\partial \omega}{\partial p} \quad (1.14)$$

la cual puede ser aplicada a cualquier nivel de presión constante, donde el término $\partial \omega / \partial p$ es una incógnita más; por ello es necesario hacer una suposición adicional: "Las isobaras y las isotermas son exactamente paralelas - en las capas altas sin fricción"; esto es aproximadamente cierto en ausencia de sistemas de desarrollo pronunciado. Lo anterior conduce a la suposición de que la estructura vertical de los vientos puede representarse como

$$V_\psi(x, y, p) = \Lambda(p) \langle V_\psi(x, y) \rangle \quad (1.15)$$

donde los paréntesis angulares denotan un promedio en la vertical, i.e.,

$$\langle () \rangle = \frac{1}{p_0} \int_0^{p_0} () dp$$

con $p_0 = 1000$ mb; y $\Lambda(p)$ es una función de peso que depende únicamente de la presión (figura 2).

Lo mismo puede hacerse con la vorticidad y la función corriente ya que

$$\vec{V}_\psi = \hat{k} \times \nabla \psi \quad y$$

$$\zeta \equiv \hat{k} \cdot (\nabla \times \vec{V}_\psi) = \nabla^2 \psi$$

de donde

$$\zeta(x, y, p) = \Lambda(p) \langle \zeta(x, y) \rangle$$

las cuales pueden sustituirse en (1.14), obteniendo

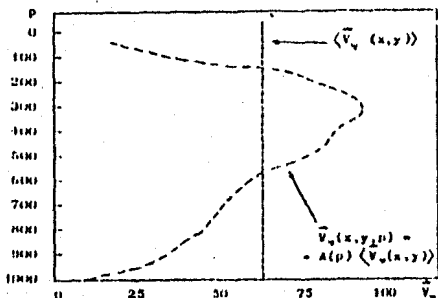


FIGURE 2.

Representación de un viento no-divergente mediante una función de peso $\Lambda(p)$ y la función promedio de $\langle \vec{V}_w(x, y) \rangle$.

$$\frac{\partial}{\partial t} [\Lambda(p) \langle \zeta \rangle] + \Lambda(p) \langle \vec{V}_w \rangle \cdot \nabla \langle \zeta \rangle + [\Lambda(p) \langle \vec{V}_w \rangle] \nabla f = f_0 \frac{\partial \omega}{\partial p} \quad (1.16)$$

donde $\beta = \vec{V} f = \frac{\partial f}{\partial y}$ es tomada constante.

La ecuación (1.16) nada nuevo aporta con respecto de (1.14), pero como desea aplicarse a un solo nivel en la vortical, será necesario promediarla, quedando

$$\frac{\partial}{\partial t} \langle \zeta \rangle + \langle \Lambda(p)^2 \rangle \langle \vec{V}_w \rangle \cdot \nabla \langle \zeta \rangle + \langle \vec{V}_w \rangle \cdot \nabla f = \frac{f_0 \omega(p_0)}{p_0} \quad (1.17)$$

donde

$$\langle \Lambda(p) \rangle = \frac{1}{p_0} \int_0^{p_0} \Lambda(p) dp = 1 \quad y \quad \langle \frac{\partial \omega}{\partial p} \rangle = \frac{1}{p_0} \int_0^{p_0} \frac{\partial \omega}{\partial p} dp = \frac{1}{p_0} \omega(p_0)$$

ya que $\omega(p)_{p=0} = 0$ y $\langle \Lambda(p)^2 \rangle \neq 1$

Si la ecuación (1.17) es ahora multiplicada por $\langle \Lambda(p)^2 \rangle$ y se hace la transformación

$$\zeta(x, y, p^*) = \langle \Lambda(p)^2 \rangle \langle \zeta \rangle = \zeta^*$$

$$\vec{V}(x, y, p^*) = \langle \Lambda(p)^2 \rangle \langle \vec{V}_w \rangle = \vec{V}^*$$

se obtiene

$$\frac{\partial \zeta^*}{\partial t} + \vec{V}^* \cdot \vec{\nabla}(\zeta^* + f) = \frac{\langle A(p)^2 \rangle}{p_0} \omega(p_0) \quad (1.18)$$

La ecuación (1.18) es idénticamente igual con la ecuación (1.16) en un nivel p^* donde

$$A(p) = \langle A(p)^2 \rangle$$

tal nivel es mostrado en la figura 3.

El valor $\omega(p_0)$ se determina usando la aproximación hidrostática:

$$w = \frac{1}{g} \frac{d\theta}{dt} = \frac{1}{g} \left[\frac{\partial \theta}{\partial t} + \vec{V} \cdot \vec{\nabla} \theta - \frac{\omega}{\sigma} \right] \quad (1.19)$$

o bien, si la frontera inferior está a un solo nivel, la condición cinemática requiere que $w = 0$ en $p = p_0$; suponiendo un viento geostrofico

$$\vec{V} \cdot \vec{\nabla} \theta = \frac{1}{f} (\hat{k} \times \vec{V} \cdot \vec{\nabla} \theta) \cdot \vec{\nabla} \theta = 0 \quad (1.20)$$

por lo que la ecuación (1.19) se reduce a

$$\omega_0 = c_0 \left(\frac{\partial \theta}{\partial t} \right)_{p=p_0}$$

con lo que usando la forma (1.15) se tiene que

$$\omega_0 = \omega(x, y, p_0) = A(p_0) \langle \omega \rangle$$

$$y \quad \omega_0 = c_0 \left(\frac{\partial \theta}{\partial t} \right)_{p=p_0} = c_0 A(p_0) \langle \frac{\partial \theta}{\partial t} \rangle \quad (1.21)$$

Utilizando ahora la ecuación de gas ideal

$$\frac{c_0}{p_0} = \frac{1}{R T_0} \quad (1.22)$$

sustituyendo ahora (1.21) y (1.22) en (1.18) se obtiene

$$\frac{\partial \zeta^*}{\partial t} + \vec{V}^* \cdot \vec{\nabla}(\zeta^* + f) = \frac{f_0}{R T_0} \langle \frac{\partial \theta}{\partial t} \rangle \quad (1.23)$$

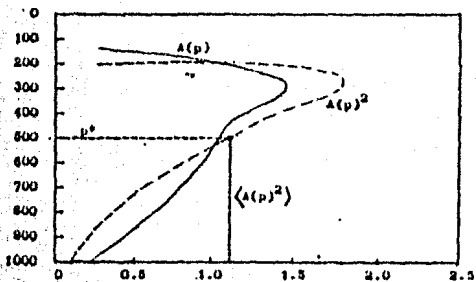


Figura 3.

El nivel barotrópico equivalente es donde $A(p) = \langle A(p)^2 \rangle$, (en realidad esto se cumple para dos niveles, uno cercano a los 500 mb. y otro en 200 mb., para latitudes medias).

donde como antes

$$\left(\frac{\partial \theta}{\partial t}\right)^* = \langle \Lambda(p)^2 \rangle \left\langle \frac{\partial \theta}{\partial t} \right\rangle$$

La ecuación (1.23) puede ser aplicada en un nivel p^* para el cual $\Lambda(p^*) = \langle \Lambda(p)^2 \rangle$. Si la atmósfera fuera exactamente barotrópica, $\Lambda(p)$ sería igual a uno y las ecuaciones (1.23) y (1.17) tendrían la misma forma, y se aplicarían a todos los niveles. El nivel de presión p^* es conocido como el nivel barotrópico equivalente y la ecuación (1.23) es la ecuación de vorticidad BAROTROPICA EQUIVALENTE.

1.4 Análisis espectral.

UN ESTUDIO ANALITICO.

Las aproximaciones resultantes de la ecuación completa de vorticidad (ec. 1.1), y que son energéticamente consistentes, pueden escribirse como:

$$\frac{\partial \zeta}{\partial t} + \vec{V} \cdot \nabla (\zeta + f) = 0 \quad (1.24)$$

$$\frac{\partial \zeta}{\partial t} + \vec{V} \cdot \nabla (\zeta + f) = M' \frac{\partial \theta}{\partial t} \quad (1.25)$$

donde $M' = \frac{f_c \Lambda_c}{M_c}$. Estas ecuaciones representan respectivamente a los modos barotrópico y barotrópico equivalente, los cuales son ampliamente utilizados en pronóstico numérico, evaluando generalmente a ζ y \vec{V} geográficamente o con la función corriente.

A fin de realizar un análisis de cuál de los dos modelos describe mejor a la atmósfera, para simplicidad es necesario linealizar las ecuaciones (1.24) y (1.25), usando para ello el método de la perturbación:

Considérese una corriente zonal básica U , con perturbaciones independientes de la latitud (fig. 4), tal que

$$\vec{V} = \hat{i} (U + u) + \hat{j} v' \quad (1.26)$$

$$\text{y } \zeta = \frac{\partial v'}{\partial x} - \frac{\partial u'}{\partial y} \quad (1.27)$$

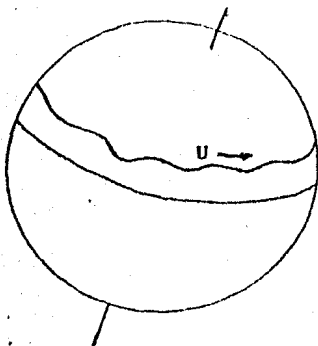


Figura 4.

Flujo zonal básico U , con perturbaciones u' , v' , ρ' dependientes de la latitud.

Sustituyendo (1.26) y (1.27) en (1.25) se obtiene

$$\frac{\partial}{\partial t} \left(\frac{\partial v'}{\partial x} - \frac{\partial u'}{\partial y} \right) + [\hat{i} (U + u') + \hat{j} v'] \cdot$$

$$\left(\hat{i} \frac{\partial}{\partial x} + \hat{j} \frac{\partial}{\partial y} \right) \left(\frac{\partial v'}{\partial x} - \frac{\partial u'}{\partial y} + f \right) - M' \frac{\partial \theta}{\partial t}$$

$$\frac{\partial}{\partial t} \left(\frac{\partial v'}{\partial x} - \frac{\partial u'}{\partial y} \right) + (U + u') \frac{\partial^2 v'}{\partial x^2} - (U + u') \frac{\partial^2 u'}{\partial x \partial y}$$

$$+ v' \frac{\partial^2 v'}{\partial x \partial y} - v' \frac{\partial^2 u'}{\partial y^2} + (U + u') \frac{\partial f}{\partial x} + v' \frac{\partial f}{\partial y}$$

$$= M' \frac{\partial \theta}{\partial t}$$

Puesto que solo se están considerando los cambios en la dirección zonal x , - las variaciones con respecto a y son eliminadas, quedando solo el término de Coriolis ($\partial f / \partial y = \beta$), despreciándose también el término $(U + u') (\partial^2 v' / \partial x^2)$ por ser de segundo orden, quedando finalmente

$$U \frac{\partial^2 v'}{\partial x^2} + \frac{\partial}{\partial t} \left(\frac{\partial v'}{\partial x} \right) + \beta v' = M' \frac{\partial \theta}{\partial t} \quad (1.28)$$

Supóngase \bar{v} y θ armónicas en x y t , además de tomar a \bar{v} como geostrofica, entonces

$$\theta = \theta_0 e^{i\mu(x-ct)}$$

donde

μ = no. de ondas en la dirección zonal ($= 2\pi / L_x$)

c = velocidad de fase,

L_x = longitud de onda,

entonces

$$v' = \frac{1}{f_0} \frac{\partial \theta}{\partial x} = \frac{1}{f_0} \theta_0 i \mu e^{i\mu(x-ct)} = \frac{i \mu}{f_0} \theta$$

$$\frac{\partial v'}{\partial x} = -\frac{\mu}{f_0} (i \mu)^2 e^{i \mu(x-ct)} = -\frac{\mu^2}{f_0} \theta$$

$$\frac{\partial^2 v'}{\partial x^2} = -\frac{\mu_0}{f_0} (i\mu)^3 e^{i\mu(x-ct)} = -\frac{i\mu^3}{f_0} \theta$$

$$\frac{\partial}{\partial t} \frac{\partial v'}{\partial x} = \frac{(i\mu)^3}{f_0} (-c) \theta = -\frac{i\mu^3 c}{f_0} \theta$$

$$\frac{\partial \theta}{\partial t} = -i\mu c \theta$$

Sustituyendo los anteriores resultados en la ecuación (1.28) se obtiene

$$-i U \frac{\mu^3}{f_0} \theta + i \frac{\mu^3 c}{f_0} \theta + i \beta \frac{\mu}{f_0} \theta = -i M' c \mu \theta$$

lo cual se reduce a

$$c(\mu^3 + M' f_0 \mu) = \mu^3 U - \mu \beta$$

por lo que la velocidad de fase de las ondas planetarias será, para el caso pronosticado por la ecuación (1.25)

$$C_{\text{ex}} = \frac{U - \beta \frac{L_x^2}{4\pi^2}}{1 + M' f_0 \frac{L_x^2}{4\pi^2}} \quad (1.29)$$

donde el subíndice BE significa la velocidad de fase asociada al modelo baro trópico equivalente. Para el caso del modelo barotrópico simple, cuando el -- valor de $M' = 0$, la velocidad de fase correspondiente es

$$C_0 = U - \beta \frac{L_x^2}{4\pi^2} \quad (1.30)$$

Si se efectúa un análisis de las relaciones (1.29) y (1.30) se observa que para longitudes de onda pequeñas ($L_x \approx 0$)

$$C_{\text{ex}} \approx U \quad \text{y} \quad C_0 \approx U$$

así que ambos modelos coinciden en que la velocidad de fase pronosticada para longitudes de onda corta se moverá rápidamente hacia el este junto con el -- flujo zonal advectivo U . Para longitudes de onda grandes ($L_x \gg 0$)

$$C_{\text{ex}} \leq 0 \quad \text{y} \quad C_0 \ll 0$$

y aunque las velocidades de fase pronosticadas por ambos modelos es negativa,

se observa que

$$|c_{BE}| < |c_D|$$

lo cual indica que la retrogresión de las ondas largas pronosticada por el modelo barotrópico es mayor que las del modelo barotrópico equivalente. La experiencia observacional le dá la razón a éste último; i.e., las ondas largas -- permanecen en la realidad casi-estacionarias, o retroceden muy lentamente en contra del flujo advectivo.

1.5 La ecuación de Helmholtz.

La ecuación (1.23) puede escribirse como

$$\frac{\partial \zeta}{\partial t} + \hat{V} \cdot \hat{V} (\zeta + f) = M' \frac{\partial \theta}{\partial t} \quad (1.31)$$

donde

$$M' = \frac{f_0 \Lambda_0}{R T_0}$$

y para poder resolverla es necesario dejarla en función de una sola variable, (las estrellas se han eliminado para brevedad). Sustituyendo todas las variables independientes de (1.31) por sus aproximaciones geostróficas, tal que:

$$\zeta_g = \frac{1}{f_0} v^2 \theta, \quad \hat{V}_g = \frac{1}{f_0} \hat{k} \times \hat{V} \theta$$

se obtiene

$$\frac{1}{f_0} \frac{\partial}{\partial t} (v^2 \theta) + \frac{1}{f_0} [-\hat{i} \frac{\partial \theta}{\partial y} + \hat{j} \frac{\partial \theta}{\partial x}] \cdot [\hat{i} \frac{\partial}{\partial x} + \hat{j} \frac{\partial}{\partial y}] \left[\frac{1}{f_0} v^2 \theta + f \right] = M' \frac{\partial \theta}{\partial t} \quad (1.32)$$

Agrupando términos y efectuando las multiplicaciones en (1.32) se llega a

$$\left[v^2 - \frac{f_0^2 \Lambda_0}{R T_0} \right] \frac{\partial \theta}{\partial t} + \left[\frac{\partial \theta}{\partial x} \frac{\partial}{\partial y} \left(\frac{1}{f_0} v^2 \theta + f \right) - \frac{\partial \theta}{\partial y} \frac{\partial}{\partial x} \left(\frac{1}{f_0} v^2 \theta + f \right) \right] = 0 \quad (1.33)$$

El segundo término de la ecuación (1.33) se reconoce fácilmente como un --

Jacobiano; y si además se define a

$$\frac{\partial \theta}{\partial E} = \chi \quad , \quad M = \frac{r_0^2 \Lambda_0}{R T_0} \quad \text{y} \quad \eta = \frac{1}{f_0} v^2 \theta + f \quad ,$$

donde χ es llamada la tendencia del geopotencial, M es el parámetro de Helmholtz y η es la vorticidad absoluta, la ecuación (1.33) queda finalmente como

$$v^2 \chi - M \chi = -J(\theta, \eta). \quad (1.34)$$

Esta ecuación es del tipo de Helmholtz (elíptica) y no tiene una solución general analítica, por lo que habrá de resolverse por alguno de los métodos numéricos ya implementados por las matemáticas.

CAPITULO 2

METODOS NUMERICOS DE INTEGRACION

2.1 Introducción.

Las ecuaciones diferenciales parciales del tipo elíptico tienen la forma siguiente:

$$\begin{array}{ll} \nabla^2 u(x,y) = 0 & \text{(ec. de Laplace),} \\ \nabla^2 u(x,y) = f(x,y) & \text{(ec. de Poisson),} \\ \nabla^2 u(x,y) + e(x,y) \cdot u(x,y) = 0 & \text{(ec. de vibración),} \\ \nabla^2 u(x,y) + e(x,y) \cdot u(x,y) = f(x,y) & \text{(ec. de Helmholtz),} \end{array}$$

y generalmente para resolverlas son aproximadas mediante esquemas de diferencias finitas, buscando siempre que el correspondiente esquema de cómputo cumpla lo mejor posible con las siguientes condiciones:

- i) Estabilidad computacional.
- ii) Exactitud en los resultados.
- iii) Simplicidad en el esquema computacional.
- iv) El menor requerimiento de memoria posible.
- v) Alta rapidez de cómputo.

2.2 Análisis numérico de la ecuación de Helmholtz.

LA INTEGRAL VARIACIONAL DE DIRICHLET.

El concepto de autoadjuntos está íntimamente ligado con problemas de valores a la frontera surgidos de problemas variacionales.

Sea G una región conexa y acotada en (x,y) , y $L(u)$ un operador lineal diferencial arbitrario, se dice entonces que:

"Un problema de valores a la frontera $L(u) = f(x,y)$ en un dominio G es llamado autoadjunto, si para dos funciones arbitrarias $u(x,y)$ y $v(x,y)$, suficientemente continuas y diferenciables y que cumplen las condiciones de frontera homogéneas en C

$$a \cdot u + b \frac{\partial u}{\partial n} + c \frac{\partial u}{\partial s} = 0 \quad (2.1)$$

$$\text{y} \quad a \cdot v + b \frac{\partial v}{\partial n} + c \frac{\partial v}{\partial s} = 0$$

se sigue entonces que

$$\iint_G [v \cdot L(u) - u \cdot L(v)] \, dx \, dy = 0 \quad (2.2)$$

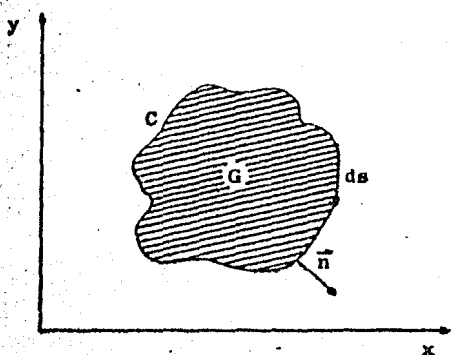


Figura 5.
Región G en (x,y) con frontera en C .

La ecuación de Helmholtz (junto con todas las del tipo elíptico) tiene la propiedad de ser autoadjunta, lo que implica que puede formularse como un problema variacional, lo que en última instancia garantiza simetría en los operadores matriciales reales, cuando el problema se ha discretizado.

Puesto que la ecuación de Helmholtz corresponde al modelo barotrópico equivalente, es de particular importancia plantearla en este trabajo como un problema variacional.

El problema es

$$L(u) = \nabla^2 u + e \cdot u = f(x, y), \quad (2.3)$$

entonces, para dos funciones u, v arbitrarias que cumplen con (2.1) se tiene que

$$\iint_G [v \cdot L(u) - u \cdot L(v)] dx dy = \iint_G [v \cdot (\nabla^2 u + e \cdot u) - u \cdot (\nabla^2 v + e \cdot v)] dx dy,$$

la cual, usando el teorema de Green se transforma en

$$\iint_G [v \cdot \nabla^2 u - u \cdot \nabla^2 v] dx dy = \oint_C \left[\frac{\partial u}{\partial n} v - \frac{\partial v}{\partial n} u \right] ds \quad (2.4)$$

con lo que si (2.4) es cero, el problema (2.3) es autoadjunto.

$$\text{Sea } u = \beta(s) = v \text{ en } C_1 \quad (2.5)$$

$$\text{y sea } \frac{\partial u}{\partial n} + \alpha u = 0 = \frac{\partial v}{\partial n} + \alpha v \text{ en } C_2, \quad (2.6)$$

sustituyendo ambas condiciones de frontera en (2.4) se tiene

$$\oint_{C_1} \left[\frac{\partial u}{\partial n} v - \frac{\partial v}{\partial n} u \right] ds + \oint_{C_2} [-\alpha u \cdot v + \alpha u \cdot v] ds = 0,$$

así que las condiciones de frontera (2.5) y (2.6) satisfacen las definiciones (2.1) y (2.2).

La condición de frontera especificada en (2.5) es una restricción al movimiento en la región G , y su interpretación física es la de una membrana o "sábana" oscilando de tal modo que tiene un nodo a lo largo de C_1 ; mientras que la condición de frontera natural (2.6) significa que la "sábana" oscilará libremente en toda la frontera C_2 .

La integral variacional formulada por Dirichlet para la ecuación de -- Helmholtz es:

$$I = \iint_G \left[-\frac{1}{2} (\nabla u)^2 - \frac{1}{2} e(x, y) \cdot u^2 + f(x, y) \cdot u \right] dx dy + \oint_C \left[\frac{1}{2} \alpha(s) \cdot u^2 - \gamma(s) \cdot u \right] ds \quad (2.7)$$

Con condiciones de frontera

$$u = \beta(s) \quad \text{y} \quad \frac{\partial u}{\partial n} + \alpha(s) \cdot u = \gamma(s),$$

en C_1 y C_2 , respectivamente.

Una condición necesaria para que la integral (2.7) tome un valor estacionario, de acuerdo con los métodos clásicos del cálculo variacional, es que su primera variación sea nula; i. e.,

$$\begin{aligned} \delta I = & \iint_G [\vec{\nabla} u \cdot \vec{\nabla}(\xi u) - e \cdot u \xi u + f(x,y) \xi u] dx dy \\ & + \oint_C [\alpha u \xi u - \gamma \xi u] ds = 0. \end{aligned} \quad (2.8)$$

Usando el teorema de Green para el primer término de (2.8)

$$\iint_G \vec{\nabla} u \cdot \vec{\nabla}(\xi u) dx dy = - \iint_G \nabla^2 u \xi u dx dy + \oint_C \frac{\partial u}{\partial n} \xi u ds,$$

por lo que la ecuación (2.8) se transforma finalmente en

$$\begin{aligned} \delta I = & - \iint_G [\nabla^2 u - e \cdot u + f(x,y)] \xi u dx dy \\ & + \oint_C \left[\frac{\partial u}{\partial n} + \alpha \cdot u - \gamma \right] \xi u ds = 0 \end{aligned} \quad (2.9)$$

con lo que la función u debe necesariamente satisfacer (2.3) a fin de que la integral (2.9) tome un valor estacionario. Por otra parte, si los valores de $u = \beta(s)$ son especificados en la frontera C (condiciones de frontera de -- Dirichlet), entonces $\xi u = 0$, y la segunda integral en (2.9) se anula; si por el contrario la frontera C no tiene restricciones en u , entonces la segunda integral en (2.9) será cero para las condiciones de frontera naturales (2.6).

DISCRETIZACION DEL DOMINIO DE AREA LIMITADA.

Considérese un dominio G , como el mostrado en la figura 6, en forma de rectángulo en el plano (x,y) , dividido en una malla de 30 nodos. Se desea encontrar una función (x,y) (tendencia del geopotencial) en G , tal que para una función $J(x,y)$ (Jacobiano = $\frac{\partial \theta}{\partial x} \frac{\partial \eta}{\partial y} - \frac{\partial \theta}{\partial y} \frac{\partial \eta}{\partial x}$) conocida, la integral

$$I = \iint_G \left[\frac{1}{2} (\tilde{\nabla} \chi)^2 + \frac{1}{2} M \chi^2 - J(x,y) \cdot \chi \right] dx dy \quad (2.10)$$

tome un valor cero, sin condiciones de --- restricción en la frontera C.

La integral (2.10) es exactamente la --- ecuación (2.7), a la que se le ha quitado --- la integral de línea debido a que no existe restricción en la frontera.

El problema variacional planteado en (2.10) corresponde a un planteamiento de --- valores a la frontera con la ecuación diferencial de Helmholtz

$$\left. \begin{aligned} v^2 \chi - M \chi &= -J(x,y) \quad \text{en } G \\ \text{y condición de frontera} \\ \text{naturales} \end{aligned} \right\} \quad (2.11)$$

$$\frac{\partial \chi}{\partial n} = 0 \quad \text{on } C$$

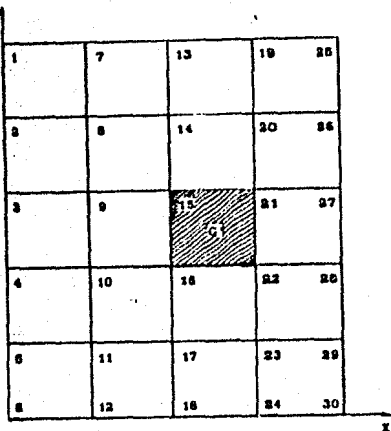


Figura 6.
Región para la malla en el problema variacional.

La interpretación física de (2.11) es la de determinar la posición de --- equilibrio de una "membrana" o "sábana" elástica que cubre la región rectangular G, cuando se le aplica una deformación continua J(x,y), normal al plano de la sábana; la función buscada $\chi(x,y)$ representa la deflexión de la "sábana" bajo tal función de deformación y una función de amortiguación M(x,y)

La interpretación física de la integral variacional (2.10) es: La suma --- de las deformaciones linealizadas de la energía, de las fuerzas de amortiguación, y del trabajo hecho durante la deformación.

Se desea determinar los valores de $\chi(x,y)$ en los nodos de la malla (figura 6), incluyendo los nodos en la frontera C. Para ello, se descompone la --- integral variacional (2.10) en tres integrales tales que

$$I = I_1 + I_2 + I_3$$

donde

$$I_1 = \frac{1}{2} \iint_G (\tilde{\nabla} \chi)^2 dx dy \quad (2.12)$$

$$I_2 = \frac{1}{2} \iint_G M \chi^2 dx dy \quad (2.13)$$

$$I_3 = - \iint_G J(x,y) \chi \, dx \, dy, \quad (2.14)$$

analizando la contribución de la celda sombreada G' de la figura 6, a cada una de las integrales (2.12) - (2.14), cuando $\chi(x,y)$ se ha discretizado, así

$$\begin{aligned} \left(\frac{\partial \chi}{\partial x}\right)_{\text{superior}} &\sim \frac{\chi_{21} - \chi_{15}}{h} \\ \left(\frac{\partial \chi}{\partial x}\right)_{\text{inferior}} &\sim \frac{\chi_{21} - \chi_{16}}{h} \end{aligned}$$

donde h es la distancia entre nodos, Entonces, para el centro de la celda sombreada, en la dirección zonal x se tiene que

$$\left(\frac{\partial \chi}{\partial x}\right)^2 \sim \frac{1}{2} \left[\frac{\chi_{21} - \chi_{15}}{h^2} + \frac{\chi_{21} - \chi_{16}}{h^2} \right]$$

procediéndose similarmente para la dirección meridional y, con lo que la contribución a I' de la celda sombreada es

$$\begin{aligned} I'_1 &= \frac{1}{2} \iint_G \left[\left(\frac{\partial \chi}{\partial x}\right)^2 + \left(\frac{\partial \chi}{\partial y}\right)^2 \right] dx \, dy \approx \\ &\frac{1}{4} [(\chi_{21} - \chi_{15})^2 + (\chi_{22} - \chi_{16})^2 + (\chi_{21} - \chi_{22})^2 + (\chi_{15} - \chi_{16})^2] \end{aligned}$$

donde G' es la región acotada por la celda sombreada de la figura 6, y $dx \, dy = h^2$

La contribución de la integral I'_2 será

$$I'_2 = \frac{1}{2} \iint_{G'} M \chi^2 \, dx \, dy \approx \frac{1}{2} \left[\frac{1}{4} (M_{15} \chi_{15}^2 + M_{16} \chi_{16}^2 + M_{21} \chi_{21}^2 + M_{22} \chi_{22}^2) \right] h^2$$

correspondiente a la misma celda sombreada. Análogamente, la contribución de I'_3 será:

$$I'_3 = - \iint_{G'} J(x,y) \, dx \, dy \approx -\frac{h^2}{4} [J_{15} \chi_{15} + J_{16} \chi_{16} + J_{21} \chi_{21} + J_{22} \chi_{22}]$$

Si I'_1 , I'_2 , I'_3 se diferencian con respecto a uno de los 4 puntos de la celda (el punto 15 por ejemplo), queda

$$\delta I'_1 \approx -\frac{1}{2} \chi_{16} + \chi_{15} - \frac{1}{2} \chi_{21}$$

$$\delta I'_2 \approx \frac{h^2}{4} M \chi_{15}$$

$$\delta I'_3 \approx -\frac{h^2}{4} J_{15}$$

donde $M = M_1 = \text{constante}$.

Sumando los 3 variaciones se tiene

$$\delta I_{15} \approx -\frac{1}{2} \chi_{14} + (1 + \frac{h^2}{4} M) \chi_{15} - \frac{1}{2} \chi_{11} - \frac{h^2}{4} J_{15} = 0 \quad (2.15)$$

Pero el punto 15, por ser un punto interior, aparece en las otras 3 celdas -- adyacentes a él, por lo que se tienen también otras 3 relaciones semejantes a (2.15)

$$\delta I_{15} \approx -\frac{1}{2} \chi_{14} + (1 + \frac{h^2}{4} M) \chi_{15} - \frac{1}{2} \chi_9 - \frac{h^2}{4} J_{15} = 0 \quad (2.16)$$

$$\delta I_{15} \approx -\frac{1}{2} \chi_{14} + (1 + \frac{h^2}{4} M) \chi_{15} - \frac{1}{2} \chi_{11} - \frac{h^2}{4} J_{15} = 0 \quad (2.17)$$

$$\delta I_{15} \approx -\frac{1}{2} \chi_{14} + (1 + \frac{h^2}{4} M) \chi_{15} - \frac{1}{2} \chi_9 - \frac{h^2}{4} J_{15} = 0 \quad (2.18)$$

sumando las contribuciones (2.15)-(2.18) se obtiene

$$(4 + h^2 M) \chi_{15} - \chi_9 - \chi_{11} - \chi_{14} - h^2 J_{15} = 0 \quad (2.19)$$

Para un conjunto en la frontera C (el nodo 3 por e.j.), solo 2 celdas tomarán parte en la variación, tal que

$$\delta I_3 \approx -\frac{1}{2} \chi_2 + (1 + \frac{h^2}{4} M) \chi_3 - \frac{1}{2} \chi_9 - \frac{h^2}{4} J_3 = 0$$

$$\delta I_3 \approx -\frac{1}{2} \chi_9 + (1 + \frac{h^2}{4} M) \chi_3 - \frac{1}{2} \chi_4 - \frac{h^2}{4} J_3 = 0$$

siendo por tanto la suma de las dos contribuciones

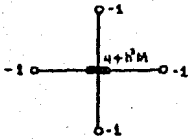
$$(\frac{h^2}{2} M + 2) \chi_3 - \chi_9 - \frac{1}{2} \chi_2 - \frac{1}{2} \chi_4 - \frac{h^2}{2} J_3 = 0 \quad (2.20)$$

Para uno de los nodos en la esquina de la malla, (el nodo 1 por e.j.), solo una celda contribuye, por lo que la variación allí es

$$-\frac{1}{2} \chi_2 + (1 + \frac{h^2}{4} M) \chi_1 - \frac{1}{2} \chi_7 - \frac{h^2}{4} J_1 = 0 \quad (2.21)$$

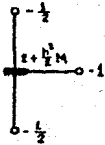
Generalizando, las ecuaciones (2.19)-(2.21) pueden representarse como -- ecuaciones operadoras, según se trate de nodos internos, en la frontera o en

las esquinas, de la siguiente forma:



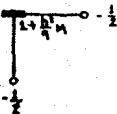
$$\omega \chi - h^2 J = 0$$

Para un punto interno, (corresponde a la ecuación 2.19).



$$\omega \chi - \frac{h^2}{2} J = 0$$

Para puntos frontera, (corresponde a la ecuación 2.20).



$$\omega \chi - \frac{h^2}{4} J = 0$$

Para puntos esquinas, (corresponde a la ecuación 2.21).

La matriz de coeficientes generada por las ecuaciones operadoras anteriores y los nodos numerados según la figura 6, es tridiagonal a bloques, i.e.

$$A = \begin{pmatrix} B_1 & D_1 & \dots & \dots & \dots & 0 \\ D_1 & B_2 & D_1 & & & \cdot \\ \cdot & D_1 & B_2 & D_1 & & \cdot \\ \cdot & & D_1 & B_2 & D_1 & \cdot \\ \cdot & & & D_1 & B_2 & D_1 \\ 0 & \dots & \dots & \dots & D_1 & B_1 \end{pmatrix} \quad (2.22)$$

donde

$$B_1 = \begin{pmatrix} c_1 & -\frac{1}{2} & \dots & \dots & 0 \\ -\frac{1}{2} & c_1 & -\frac{1}{2} & & \cdot \\ \cdot & -\frac{1}{2} & c_1 & -\frac{1}{2} & \cdot \\ \cdot & & -\frac{1}{2} & c_1 & -\frac{1}{2} \\ 0 & \dots & \dots & -\frac{1}{2} & c_1 \end{pmatrix} \quad B_2 = \begin{pmatrix} c_1 & -1 & \dots & \dots & 0 \\ -1 & c_1 & -1 & & \cdot \\ \cdot & -1 & c_1 & -1 & \cdot \\ \cdot & & -1 & c_1 & -1 \\ 0 & \dots & \dots & -1 & c_1 \end{pmatrix} \quad (2.23)$$

$$D_1 = \begin{pmatrix} -\frac{1}{4} & \dots & \dots & \dots & \dots & 0 \\ \vdots & -1 & & & & \vdots \\ \vdots & & -1 & & & \vdots \\ \vdots & & & -1 & & \vdots \\ 0 & \dots & \dots & \dots & -\frac{1}{4} & \vdots \end{pmatrix} \quad (2.23 \text{ bis})$$

donde las constantes de las submatrices son:

$$\begin{aligned} C_1 &= 4 + h^2 M \\ C_2 &= 2 + \frac{h^2}{2} M \\ C_3 &= 1 + \frac{h^2}{4} M \end{aligned} \quad (2.24)$$

La ecuación operadora para un punto interno es el esquema de diferencias finitas de cinco puntos ampliamente conocido, y aquí el método variacional no ha aportado algo nuevo, pero en lo referente a los nodos situados en las fronteras laterales o en las esquinas, el método variacional ha proporcionado una valiosa herramienta que permite un libre movimiento de éstos, o bien imponerles constricciones según las necesidades específicas del problema, pudiéndose en cada caso determinar la función operadora, con la garantía de que la integral variacional en G será siempre cero en su primera variación.

EL METODO DE SOBERRELAJACION (SOR).

La ecuación de Helmholtz dada en (2.11) ha sido transformada mediante el método variacional (o método de la energía) en un sistema de ecuaciones algebraicas,

$$A \vec{\chi} + \vec{J} = \vec{0} \quad (2.25)$$

donde A es la matriz de coeficientes dada en (2.22) y \vec{J} es conocido en todo G y C.

La región malla que se trabajará en este estudio es de 24x24, con lo que el sistema (2.25) permanece en su forma original, aunque agrandado en tamaño, (576 nodos).

Normalmente un sistema de ecuaciones pequeño se resolvería por el método de Cholesky, pero en este caso la matriz de coeficientes es muy grande, por lo que es más apropiado usar un método de relajación.

Para utilizar un método de sobrerrelajación es necesario que los arreglos

matriciales sean simétricos definidos, diagonalmente tridiagonal a bloques, cosa que no se cumple cuando los nodos han sido numerados por columnas como en la figura 6, o por renglones; no obstante, la matriz en cuestión tiene la propiedad "A", i.e., por medio de la manipulación adecuada de los renglones y columnas puede llevarse a una forma que sea estrictamente diagonalmente tridiagonal a bloques.

Para resolver el problema planteado en (2.25) se supone como primera -- estimación un vector solución \vec{v} , quedando

$$A \vec{v} + \vec{J} = \vec{r} \neq \vec{0} \quad (2.26)$$

donde \vec{r} es un vector residuo.

El sistema (2.26) es de la forma:

$$\begin{array}{rcccccccc} a_{1,1}v_1 + a_{1,2}v_2 + a_{1,3}v_3 + \dots + a_{1,n}v_n + J_1 & = & r_1 \\ a_{2,1}v_1 + a_{2,2}v_2 + a_{2,3}v_3 + \dots + a_{2,n}v_n + J_2 & = & r_2 \\ a_{3,1}v_1 + a_{3,2}v_2 + a_{3,3}v_3 + \dots + a_{3,n}v_n + J_3 & = & r_3 \\ \vdots & & \vdots & & \vdots & & \vdots & & \vdots \\ a_{n,1}v_1 + a_{n,2}v_2 + a_{n,3}v_3 + \dots + a_{n,n}v_n + J_n & = & r_n \end{array} \quad (2.27)$$

donde las r 'is son los elementos de \vec{r} y las J 'is los elementos de \vec{J} .

El método de relajación trabaja haciendo suposiciones para $\vec{v}^{(1)}$, $\vec{v}^{(2)}$, $\vec{v}^{(3)}$, ..., $\vec{v}^{(k)}$, ..., $\vec{v}^{(n)}$, hasta llegar a una solución tal que

$$|\vec{v}^{(n)} - \vec{x}| < \epsilon$$

con $\epsilon \rightarrow 0$ tanto como lo permita lo pequeño del incremento espacial de la malla, y las características del problema.

Sea $v^{(k)}$ la k 'ésima suposición para el vector \vec{x} , entonces la $(k+1)$ suposición estará dada por

$$v_j^{(k+1)} = \frac{-(a_{1,1}v_1^{(k)} + a_{1,2}v_2^{(k)} + \dots + a_{1,j-1}v_{j-1}^{(k)} + a_{1,j+1}v_{j+1}^{(k)} + \dots + J_1)}{a_{1,j}} \quad (2.28)$$

Puesto que de (2.27) se tiene que para el residuo $r_j^{(k)}$

$$r_j^{(k)} - a_{j,j} v_j^{(k)} = a_{j,1} v_1^{(k)} + a_{j,2} v_2^{(k)} + \dots + a_{j,j-1} v_{j-1}^{(k)} + a_{j,j+1} v_{j+1}^{(k)} + \dots + a_{j,n} v_n^{(k)} + J_j \quad (2.29)$$

así que de las relaciones (2.28) y (2.29) se obtiene

$$v_j^{(k+1)} = v_j^{(k)} - \frac{r_j^{(k)}}{a_{j,j}} \quad (2.30)$$

Dado que $|\bar{r}| < |\bar{v}_j|$ para algún ciclo de iteración, existe siempre un factor ω = constante tal que $|\omega \bar{r}| \ll |\bar{v}_j|$, por lo que si este factor se utiliza en (2.30) se tiene la sobrerelajación

$$v_j^{(k+1)} = v_j^{(k)} - \omega \frac{r_j^{(k)}}{a_{j,j}} \quad (2.31)$$

Para determinar el factor óptimo de sobrerelajación, el Dr. H. R. --- Swartz (Referencia 3) determinó la relación

$$\omega_{opt} = \frac{2}{1 + (1 - \lambda_1^2)^{\frac{1}{2}}} \quad (2.32)$$

donde λ_1 es el máximo eigenvalor de la matriz $-D^{-1}(E - F)$, con $D = D_1 - D_2$ (fig. 7)

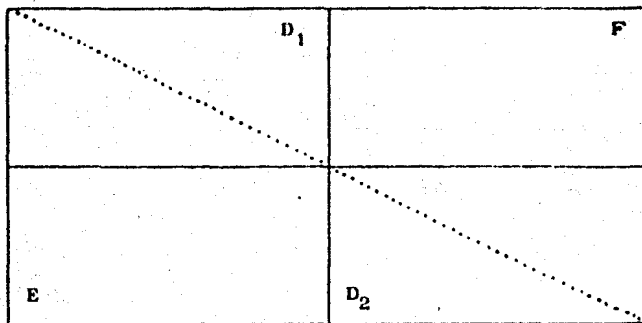


Figura 7.
La matriz de coeficientes A, que surge de (2.27) se ha dividido en 4 submatrices D₁, D₂, E y F, donde todos los elementos no-cero están sobre la diagonal, (líneas puntadas).

El valor λ_1 necesario para calcular ω_{opt} en la ecuación (2.32) se determina de la relación

$$\det(\lambda I - A) = 0 \quad (2.33)$$

siendo

$$\lambda_1 = \max_1 |\lambda_i| \quad \forall i$$

Puesto que la determinación de λ_1 a partir de la relación (2.33) es consumidora de tiempo de máquina, el Dr. Swertz encontró una relación para determinar de manera única el valor aproximado de λ_1 , con

$$\lambda_1^2 \approx \frac{\|r^{(k)}\|}{\|r^{(k-1)}\|} \quad (2.34)$$

donde $\|r^{(k-1)}\|$ y $\|r^{(k)}\|$ son las normas euclidianas de los residuos dados en (2.27) para las iteraciones $(k-1)$ y (k) , respectivamente; el valor del máximo eigenvalor tiende a ser asintótico a la relación de convergencia de las normas euclidianas de los residuos (figura 8), después de unas pocas iteraciones

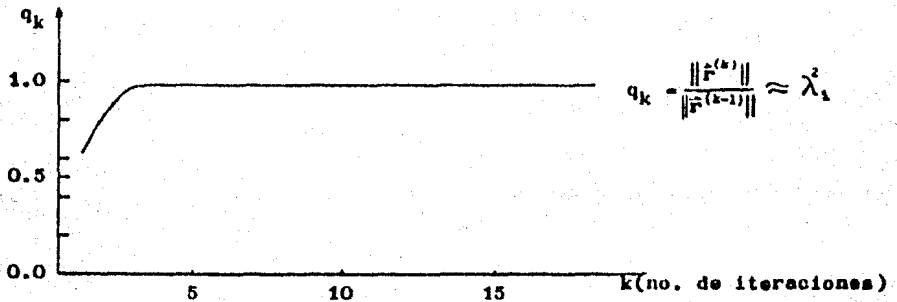


Figura 8.

Determinación del máximo eigenvalor λ_1 a partir del cociente de las normas euclidianas de los residuos q_k .

NOTA: El Dr. Maltiner (Referencia 1) da una relación para determinar ω_{opt} , a partir del conocimiento del número de puntos por renglón y el número de puntos por columna, i.e.,

$$\omega_{opt} \rightarrow \frac{1}{2} - \frac{\pi}{2\sqrt{2}} \left(\frac{1}{p} + \frac{1}{q} \right)^{\frac{1}{2}}$$

Mientras que Miyakoda (Referencia 3) proporciona la siguiente:

$$\omega_{opt} = \left(\sqrt{2} + \frac{M}{2\sqrt{2}} \right) - \left(\sqrt{2} + \frac{M}{2\sqrt{2}} \right) \sqrt{M \left(1 + \frac{M}{8} \right) + \left(\frac{M}{p-1} \right)^2 - \left(\frac{M}{q-1} \right)^2}$$

siendo p y q los números de puntos malla por renglón y columna y M el factor de Helmholtz de la ecuación (2.11). Para el caso de una malla de 24×24 puntos los valores calculados son 1.7183 y 1.434, para Maltiner y Miyakoda, respectivamente.

2.3 Análisis de Fourier y Reducción Cíclica Recursiva de la ec. de Helmholtz.

EL METODO DE FOURIER.

Este método muestra su mejor ventaja en regiones rectangulares con coordenadas (x,y). Las condiciones de frontera pueden ser las de Dirichlet, de Neumann ó bien periódicas, no obstante, aunque es un método directo de solución (i.e., no iterativo), se llega a un momento en que es necesario calcular los coeficientes de las funciones desarrolladas en series de Fourier, y así el método no ofrece mayores ventajas que otros métodos iterativos; sin embargo, si se decide sacrificar las condiciones de frontera a ser del tipo periódicas, puede entonces utilizarse el método de Reducción Cíclica Recursiva, - con lo cual Hockney (Referencia 3) estima un tiempo de proceso de 0.9 seg. , para una malla 48x48, mientras que otros métodos iterativos (SOR) consumen - hasta 60 seg. para resolver la misma ecuación, tomados ambos métodos con una exactitud de 10^{-7} .

Fourier descubrió en 1822 que toda función $f(x)$ continua en un intervalo $[-\pi, \pi]$, tal que $f(-\pi) = f(\pi)$ puede ser representada por series de senos y cosenos, i.e.

$$f(x) = \frac{1}{2} a_0 + \sum_{n=1}^{\infty} (a_n \text{ Cos } nx + b_n \text{ Sen } nx) \quad (2.35)$$

donde

$$a_n = \frac{1}{\pi} \int_{-\pi}^{\pi} f(x) \text{ Cos } nx \, dx , \quad \text{para } n = 0, 1, 2, 3, \dots \quad (2.36)$$

$$y \quad b_n = \frac{1}{\pi} \int_{-\pi}^{\pi} f(x) \text{ Sen } nx \, dx , \quad \text{para } n = 1, 2, 3, \dots \quad (2.37)$$

Las ecuaciones (2.35) - (2.37) pueden transformarse al caso discreto - mediante las siguientes relaciones:

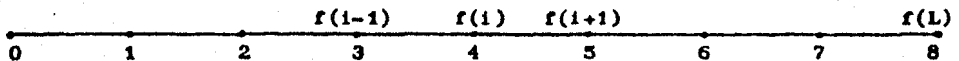
$$f(x) = \frac{1}{2} a_0 + \sum_n (a_n \text{ Cos } \frac{2\pi nx}{L} + b_n \text{ Sen } \frac{2\pi nx}{L}) \quad (2.38)$$

donde $f(0) = f(L)$ con $x \in [0, L]$

$$y \quad a_n = \frac{2}{L} \sum_1 f(x) \cos \frac{2\pi nx}{L} \quad (2.39)$$

$$b_n = \frac{2}{L} \sum_1 f(x) \sin \frac{2\pi nx}{L} \quad (2.40)$$

Nótese que el número de coeficientes a_n, b_n , necesarios para describir -- una función continua es infinito, mientras que para describir una función -- discreta, el número de coeficientes es igual al número de puntos. Supóngase como ejemplo una función discreta conocida en 9 puntos $f_0, f_1, f_2, \dots, f_8$



donde $f_0 = f_8$, entonces

$$f(x) = \frac{1}{2} a_0 + \sum_{n=1}^3 (a_n \cos \frac{2\pi nx}{L} + b_n \sin \frac{2\pi nx}{L}) + \frac{1}{2} a_4 (-1)^i \quad (2.41)$$

Esta relación (2.41) genera un sistema de 8 ecuaciones con 8 incógnitas, -- (las a_n, b_n), por lo que solo serán necesarios 8 coeficientes para representar exactamente a la función $f(x)$.

REDUCCION CICLICA.

Se desea resolver la ecuación de Helmholtz en una región limitada, divi dida en una malla de 24×24 puntos, con condiciones de frontera cíclicas, i.e.

$$\nabla^2 \chi - M\chi = -J(x,y) \quad (2.42)$$

$$y \quad \chi_{0,j} = \chi_{24,j} \quad , \quad \chi_{i,0} = \chi_{i,24} \quad (2.43)$$

Expresando a (2.42) en diferencias finitas se tiene

$$\chi_{i,j-1} + \chi_{i-1,j} + \chi_{i+1,j} + \chi_{i,j+1} - (4 + M)\chi_{i,j} = -J_{i,j} \quad (2.44)$$

generando un sistema de ecuaciones

Multiplicando por la matriz $-A$ a la ecuación central de (2.47) se tiene

$$\begin{aligned} \bar{\chi}_{J-2} + A \bar{\chi}_{J-1} + \bar{\chi}_J &= \bar{J}_{J-1} \\ -A \bar{\chi}_{J-1} - A^2 \bar{\chi}_J - A \bar{\chi}_{J+1} &= -A \bar{J}_J \\ \bar{\chi}_J + A \bar{\chi}_{J+1} + \bar{\chi}_{J+2} &= \bar{J}_{J+1} \end{aligned}$$

Sumando las 3 relaciones se reduce a

$$\bar{\chi}_{J-2} + (2I - A^2) \bar{\chi}_J + \bar{\chi}_{J+2} = \bar{J}_{J-1} - A \bar{J}_J + \bar{J}_{J+1} \quad (2.48)$$

siendo

$$A^2 = \begin{pmatrix} -a^2 + 2 & -2a & 1 & & & & & & & 0 \\ -2a & a^2 + 2 & -2a & & & & & & & . \\ 1 & -2a & a^2 + 2 & -2a & 1 & & & & & . \\ . & 1 & -2a & a^2 + 2 & -2a & 1 & & & & . \\ . & & & & & & & & & . \\ . & & & & & & & & & . \\ . & & & & & & & & & . \\ . & & & & & & & & & . \\ 0 & & & & & & 1 & -2a & a^2 + 2 & . \end{pmatrix}$$

Por lo que, en su forma desarrollada, un renglón de (2.48) es

$$\begin{aligned} \chi_{1,j-2} - \chi_{1-2,j} + 2a \chi_{1-1,j} - a^2 \chi_{1,j} + 2a \chi_{1+1,j} - \chi_{1+2,j} + \chi_{1,j+2} &= \\ &= J_{1,j-1} - J_{1-1,j} + a J_{1,j} - J_{1+1,j} + J_{1,j+1} \end{aligned} \quad (2.49)$$

La relación (2.49) reduce las 24 ecuaciones originales de (2.45) a solo 12 ecuaciones como en (2.48), para $J = 0, 2, 4, \dots, 22$

* El hecho de utilizar las condiciones cíclicas de frontera (2.43), y no otras, es debido a una necesidad del método de reducción cíclica recursiva; así por ejemplo para $J = 0$ en (2.47) se tiene para la primera de las 3 ecuaciones

$$\bar{\chi}_{22} + A \bar{\chi}_{23} + \bar{\chi}_0 = \bar{J}_0$$

ya que $\bar{\chi}_{J-2} - \bar{\chi}_{-2} - \bar{\chi}_{22}$ y $\bar{\chi}_{J-1} - \bar{\chi}_{-1} - \bar{\chi}_{23}$

Por otra parte, el índice $J = 24$ ya no aparece en las ecuaciones (2.47) debido a que $\bar{\chi}_0 \equiv \bar{\chi}_{24}$, i.e., ambos renglones son idénticos.

ANALISIS DE FOURIER.

Si se genera una distribución modificada para el Jacobiano a partir de la ecuación (2.48) se tiene que

$$\bar{J}_J^* = \bar{J}_{J-1} - \lambda \bar{J}_J + \bar{J}_{J+1} \quad (2.50)$$

para $J = 0, 2, 4, \dots, 22$

o bien en su forma desarrollada como en (2.49)

$$J_{i,j}^* = J_{1,j-1} - J_{1-1,j} + \lambda J_{1,j} - J_{1+1,j} + J_{1,j+1} \quad (2.51)$$

con $i = 0, 1, 2, 3, 4, \dots, 23$
 $j = 0, 2, 4, 6, 8, \dots, 22$

Cada valor puntual de $\chi_{i,j}$ puede desarrollarse en serie de Fourier como en (2.38) - (2.40), i.e.,

$$\chi_{i,j} = \frac{1}{2} a_{0,j} + \frac{1}{2} a_{12,j} (-1)^i + \sum_{n=1}^{11} [a_{n,j} \cos \frac{2\pi ni}{24} + b_{n,j} \sin \frac{2\pi ni}{24}] \quad (2.52)$$

donde

$$a_{n,j} = \frac{2}{24} \sum_{i=0}^{23} \chi_{i,j} \cos \frac{2\pi ni}{24} \quad , \quad b_{n,j} = \frac{2}{24} \sum_{i=0}^{23} \chi_{i,j} \sin \frac{2\pi ni}{24} \quad (2.53)$$

y relaciones idénticas para el Jacobiano modificado (2.51),

$$J_{i,j}^* = \frac{1}{2} C_{0,j} + \frac{1}{2} C_{12,j} (-1)^i + \sum_{n=1}^{11} [C_{n,j} \cos \frac{2\pi ni}{24} + D_{n,j} \sin \frac{2\pi ni}{24}] \quad (2.54)$$

con

$$C_{n,j} = \frac{2}{24} \sum_{i=0}^{23} J_{i,j}^* \cos \frac{2\pi ni}{24} \quad , \quad D_{n,j} = \frac{2}{24} \sum_{i=0}^{23} J_{i,j}^* \sin \frac{2\pi ni}{24} \quad (2.55)$$

para $i = 0, 1, 2, 3, \dots, 23$
 $j = 0, 2, 4, 6, \dots, 22$
 $n = 0, 1, 2, 3, \dots, 12$

Substituyendo (2.52) y (2.54) en (2.49), término a término

$$\chi_{1,j-2} = \frac{1}{2} a_{0,j-2} + \frac{1}{2} a_{12,j-2} (-1)^1 + \sum_{n=1}^{11} [a_{n,j-2} \cos \frac{2\pi n j}{24} + b_{n,j-2} \operatorname{Sen} \frac{2\pi n j}{24}]$$

$$\chi_{1-2,j} = \frac{1}{2} a_{0,j} + \frac{1}{2} a_{12,j} (-1)^{1-2} + \sum_{n=1}^{11} [a_{n,j} \cos \frac{2\pi n (1-2)}{24} + b_{n,j} \operatorname{Sen} \frac{2\pi n (1-2)}{24}]$$

$$\chi_{1-1,j} = \frac{1}{2} a_{0,j} + \frac{1}{2} a_{12,j} (-1)^{1-1} + \sum_{n=1}^{11} [a_{n,j} \cos \frac{2\pi n (1-1)}{24} + b_{n,j} \operatorname{Sen} \frac{2\pi n (1-1)}{24}]$$

$$\chi_{1,j} = \frac{1}{2} a_{0,j} + \frac{1}{2} a_{12,j} (-1)^1 + \sum_{n=1}^{11} [a_{n,j} \cos \frac{2\pi n j}{24} + b_{n,j} \operatorname{Sen} \frac{2\pi n j}{24}]$$

$$\chi_{1+1,j} = \frac{1}{2} a_{0,j} + \frac{1}{2} a_{12,j} (-1)^{1+1} + \sum_{n=1}^{11} [a_{n,j} \cos \frac{2\pi n (1+1)}{24} + b_{n,j} \operatorname{Sen} \frac{2\pi n (1+1)}{24}]$$

$$\chi_{1+2,j} = \frac{1}{2} a_{0,j} + \frac{1}{2} a_{12,j} (-1)^{1+2} + \sum_{n=1}^{11} [a_{n,j} \cos \frac{2\pi n (1+2)}{24} + b_{n,j} \operatorname{Sen} \frac{2\pi n (1+2)}{24}]$$

$$\chi_{1,j+2} = \frac{1}{2} a_{0,j+2} + \frac{1}{2} a_{12,j+2} (-1)^1 + \sum_{n=1}^{11} [a_{n,j+2} \cos \frac{2\pi n j}{24} + b_{n,j+2} \operatorname{Sen} \frac{2\pi n j}{24}]$$

y considerando que

$$\cos(\alpha \pm \beta) = \cos \alpha \cos \beta \mp \operatorname{Sen} \alpha \operatorname{Sen} \beta$$

$$\operatorname{Sen}(\alpha \pm \beta) = \operatorname{Sen} \alpha \cos \beta \pm \cos \alpha \operatorname{Sen} \beta$$

entonces la transformada de Fourier de (2.49) y (2.51) es

$$\begin{aligned} & \sum_{n=1}^{11} \left\{ [a_{n,j-2} + a_{n,j} (-a^2 + 4a \cos \frac{2\pi n}{24} - 2 \cos \frac{4\pi n}{24}) + a_{n,j+2}] \cos \frac{2\pi n j}{24} \right. \\ & \left. + [b_{n,j-2} + b_{n,j} (-a^2 + 4a \cos \frac{2\pi n}{24} - 2 \cos \frac{4\pi n}{24}) + b_{n,j+2}] \operatorname{Sen} \frac{2\pi n j}{24} \right\} \\ & = \sum_{n=1}^{11} [C_{n,j} \cos \frac{2\pi n j}{24} + D_{n,j} \operatorname{Sen} \frac{2\pi n j}{24}] \end{aligned} \quad (2.56)$$

Definiendo a $\lambda_n = -a^2 + 4a \cos \frac{2\pi n}{24} - 2 \cos \frac{4\pi n}{24}$

la sumatoria (2.56) se transforma en 24 conjuntos independientes, cada uno con 12 ecuaciones; un conjunto para cada una de las 24 amplitudes armónicas, i.e.,

$$a_{n,j-2} + \lambda_n a_{n,j} + a_{n,j+2} = C_{n,j} \quad (2.57)$$

$$\begin{aligned} \text{con } j &= 0, 2, 4, 6, \dots, 22 \\ n &= 0, 1, 2, 3, \dots, 12 \end{aligned}$$

y

$$b_{n,j-2} + \lambda_n b_{n,j} + b_{n,j+2} = D_{n,j} \quad (2.58)$$

$$\begin{aligned} \text{con } j &= 0, 2, 4, 6, \dots, 22 \\ n &= 1, 2, 3, 4, \dots, 11 \end{aligned}$$

donde los valores de las $C_{n,j}$ y $D_{n,j}$ son conocidos a partir de (2.55).

SINTESIS DE FOURIER.

Para realizar la síntesis de Fourier, (determinación de los valores de $\chi_{i,j}$ utilizando la relación (2.51)) es necesario el conocimiento de los -- coeficientes armónicos $a_{n,j}$, $b_{n,j}$; esto puede lograrse a partir de (2.57) y (2.58) utilizando cualquier método numérico (relajación, Cholesky, direcciones alternadas, etc.), pero, si se desea aumentar la rapidez de cómputo, cada sistema de 12 ecuaciones puede resolverse por Reducción Cíclica Recursiva* . Puesto que (2.57) y (2.58) son idénticas en forma, solamente se trabajará con uno de ellos.

Tomando nuevamente 3 ecuaciones vecinas en (2.57)

$$\begin{aligned} a_{n,j-4} + \lambda_n a_{n,j-2} + a_{n,j} &= C_{n,j-2} \\ a_{n,j-2} + \lambda_n a_{n,j} + a_{n,j+2} &= C_{n,j} \\ a_{n,j} + \lambda_n a_{n,j+2} + a_{n,j+4} &= C_{n,j+2} \end{aligned} \quad (2.59)$$

y multiplicando a la ecuación central por $-\lambda_n$, para luego sumarias, se obtiene

$$a_{n,j-4} + (2 - \lambda_n^2) a_{n,j} + a_{n,j+4} = C_{n,j-2} - \lambda_n C_{n,j} + C_{n,j+2} \quad (2.60)$$

para $n = 0, 1, 2, 3, \dots, 12$
 $j = 0, 4, 8, 12, 16, 20.$

Sea

$$C_{n,j}^{(1)} = C_{n,j-2} - \lambda_n C_{n,j} + C_{n,j+2}$$

y

$$\lambda_n^{(1)} = 2 - \lambda_n^2 \quad (2.61)$$

Haciendo una nueva reducción se llega finalmente a

$$a_{n,j-8} + (2 - \lambda_n^{(2)}) a_{n,j} + a_{n,j+8} = C_{n,j-4}^{(1)} - \lambda_n^{(1)} C_{n,j}^{(1)} + C_{n,j+4}^{(1)} \quad (2.62)$$

para $n = 0, 1, 2, 3, \dots, 12$
 $j = 0, 8, 16 .$

Así el sistema (2.57) se ha reducido a uno de 3 ecuaciones con 3 incógnitas - (las $a_{n,j}$); por supuesto, el sistema (2.58) se ha reducido de igual forma, excepto por las $b_{n,j}$ en vez de las $a_{n,j}$. Un sistema de ecuaciones para cada valor de n , (recuérdese que n corre de 1 hasta 11 en el sistema (2.58), - haciendo un total de 24 sistemas de ecuaciones), y puesto que las fronteras - son cíclicas, los sistemas finales son de la forma

$$\begin{aligned} \lambda_n^{(2)} a_{n,0} + a_{n,8} + a_{n,16} &= C_{n,0}^{(2)} \\ a_{n,0} + \lambda_n^{(2)} a_{n,8} + a_{n,16} &= C_{n,8}^{(2)} \\ a_{n,0} + a_{n,8} + \lambda_n^{(2)} a_{n,16} &= C_{n,16}^{(2)} \end{aligned} \quad (2.63)$$

donde como antes

$$C_{n,j}^{(2)} = C_{n,j-4}^{(1)} - \lambda_n^{(1)} C_{n,j}^{(1)} + C_{n,j+4}^{(1)}$$

$$\lambda_n^{(2)} = 2 - \lambda_n^{(1)2} \quad (2.64)$$

Utilizando la regla de Kramer para resolver el sistema (2.63) se tiene

*El espejado 24x24 es de la forma 3x3 puntos en ambas direcciones, dicho número fue elegido con el fin de poder hacer la reducción matricial, (reducción cíclica recursiva).

$$a_{n,0} = \frac{(\lambda_n^{(2)} + 1) C_{n,0}^{(2)} - C_{n,8}^{(2)} - C_{n,16}^{(2)}}{\lambda_n^{(2)} (\lambda_n^{(2)} + 1) - 2} \quad (2.65)$$

$$a_{n,8} = \frac{(\lambda_n^{(2)} + 1) C_{n,8}^{(2)} - C_{n,0}^{(2)} - C_{n,16}^{(2)}}{\lambda_n^{(2)} (\lambda_n^{(2)} + 1) - 2} \quad (2.66)$$

$$a_{n,16} = \frac{(\lambda_n^{(2)} + 1) C_{n,16}^{(2)} - C_{n,0}^{(2)} - C_{n,8}^{(2)}}{\lambda_n^{(2)} (\lambda_n^{(2)} + 1) - 2} \quad (2.67)$$

con $n = 0, 1, 2, 3, \dots, 12$

Con las relaciones (2.65) - (2.67) se ha llegado finalmente a un punto en que se conocen los valores numéricos de los coeficientes $a_{n,0}$, $a_{n,8}$ y $a_{n,16}$; procediéndose de idéntica forma para obtener los coeficientes $b_{n,0}$, $b_{n,8}$ y $b_{n,16}$, repitiendo para ello los pasos (2.59) - (2.67)*. En la figura 9 se muestran los módulos de interacción de los pasos seguidos para la reducción y la síntesis de Fourier.

Con los coeficientes $a_{n,0}$, $a_{n,8}$ y $a_{n,16}$ ya conocidos, se inicia el proceso de recursión; utilizando la ecuación (2.60)** se determinan los valores numéricos de los coeficientes $a_{n,4}$, $a_{n,12}$ y $a_{n,20}$; finalmente, se continúa con la ecuación (2.57) para determinar $a_{n,2}$, $a_{n,6}$, $a_{n,10}$, $a_{n,14}$, $a_{n,18}$ y $a_{n,22}$, con lo cual se ha obtenido la totalidad de los coeficientes de Fourier para cada renglón par de la malla, (procediéndose de idéntica manera para los coeficientes $b_{n,j}$). Por último, los coeficientes son utilizados en la ecuación (2.52) para determinar de manera directa los valores de la tendencia del geopotencial $\chi_{1,j}$ en los renglones pares de la malla.

* En general, para reducciones mayores, (por ejemplo para mallas 48x48 ó 66x66, etc.), la fórmula de recurrencia es

$$a_{n,j-2} + \lambda_n^{(p)} a_{n,j} + a_{n,j+2} = C_{n,j}^{(p)}$$

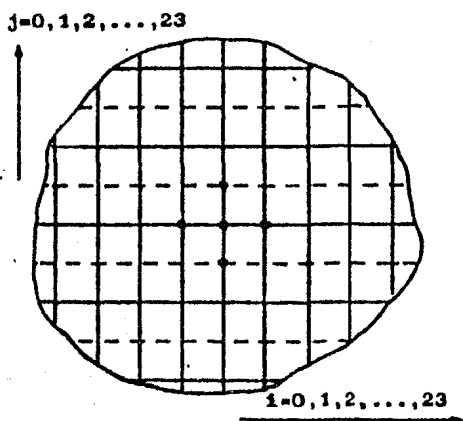
$$\text{y } \lambda_n^{(p)} = p - (\lambda_n^{(p-1)})^2, \quad C_{n,j}^{(p)} = C_{n,j-2}^{(p-1)} - \lambda_n^{(p-1)} C_{n,j}^{(p-1)} + C_{n,j+2}^{(p-1)}$$

siendo p el número de puntos por columna de la forma 32×2^k , con k entero.

** Por ejemplo, para determinar los coeficientes en el renglón $j = 4$, i.e., $a_{n,4}$ se tiene

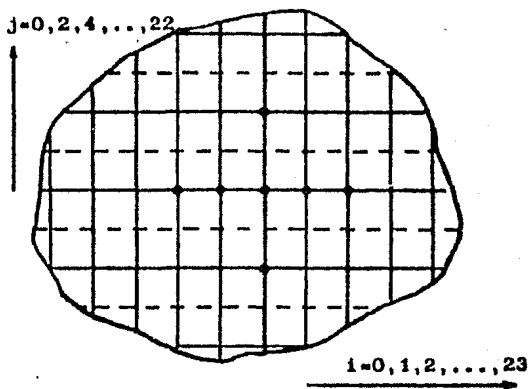
$$a_{n,4} = \frac{C_{n,4}^{(11)} - a_{n,0} - a_{n,8}}{\lambda_n^{(11)}}$$

para $n = 0, 1, 2, 3, \dots, 12$.



a) DIFERENCIAS FINITAS CENTRADAS DE 5 PUNTOS.
(ECUACION 2.44).

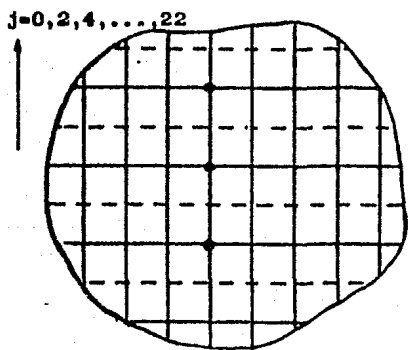
$$X_{i-1,j} + X_{i+1,j} + X_{i,j-1} + X_{i,j+1} - (4+N)X_{i,j} = J_{i,j}$$



b) REDUCCION IMPAR/PAR.
(ECUACIONES 2.48 y 2.49).

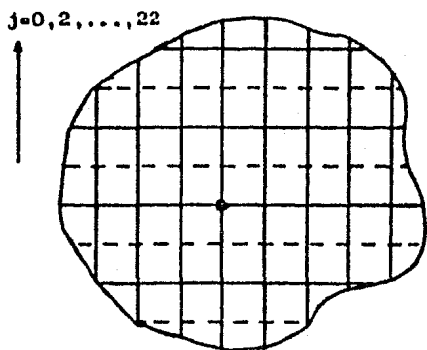
$$\bar{X}_{j-2} + (31 - \lambda^2)\bar{X}_j + \bar{X}_{j+2} - J_{j-1} - \lambda J_j + J_{j+1} = 0$$

$$X_{i,j-2} - X_{i,j+2} + 2\lambda X_{i-1,j} - \lambda^2 X_{i,j} + 2\lambda X_{i+1,j} - X_{i+2,j} + X_{i,j-2} - J_{i,j-1} - \lambda J_{i,j} + J_{i,j+1} = 0$$



c) ANALISIS DE FOURIER
(ECUACION 2.37)

$$a_{n,j-2} + \lambda^n a_{n,j} + a_{n,j+2} = c_{n,j}$$



d) SINTESIS DE FOURIER.
(ECUACION 2.31)

$$X_{i,j} = (a_{n,j} \cos \frac{2\pi ni}{24} + b_{n,j} \sin \frac{2\pi ni}{24})$$

FIGURA 3.

Se muestran en cada caso fracciones del enrejado, con los nodos de interacción señalados por puntos. Las líneas por trazo corresponden a los renglones impares de la malla, y las líneas continuas, a los renglones pares.

Queda todavía por determinarse la tendencia en las líneas impares del enrejado. Utilizando la ecuación (2.44) se tiene que

$$\chi_{i-1,j} - (4 + M)\chi_{i,j} + \chi_{i+1,j} = -J_{i,j} - \chi_{i,j-1} - \chi_{i,j+1} \quad (2.68)$$

$$\text{con } j = 1, 3, 5, 7, \dots, 23$$

$$i = 0, 1, 2, 3, \dots, 23$$

donde el miembro derecho de la ecuación (2.68) es conocido. De nuevo es conveniente utilizar la Reducción Cíclica Recursiva (ahora sin el análisis y síntesis de Fourier), pero en la dirección 1. Tal como en (2.47), tres ecuaciones vecinas del sistema generado en (2.68) son:

$$\begin{aligned} \chi_{i-2,j} - \alpha\chi_{i-1,j} + \chi_{i,j} &= J_{i-1,j}^{(1)} \\ \chi_{i-1,j} - \alpha\chi_{i,j} + \chi_{i+1,j} &= J_{i,j}^{(1)} \\ \chi_{i,j} - \alpha\chi_{i+1,j} + \chi_{i+2,j} &= J_{i+1,j}^{(1)} \end{aligned} \quad (2.69)$$

$$\text{para } j = 1, 3, 5, \dots, 23$$

$$i = 0, 1, 2, \dots, 23$$

donde $J_{i,j}^{(1)} = -J_{i,j} - \chi_{i,j-1} - \chi_{i,j+1}$

y $\alpha = (4 + M)$.

Al multiplicar por $+\alpha$ a la ecuación central en (2.69) y luego sumar las 3 ecuaciones se obtiene

$$\chi_{i-2,j} + (2 - \alpha^2)\chi_{i,j} + \chi_{i+2,j} = J_{i-1,j}^{(1)} + \alpha J_{i,j}^{(1)} + J_{i+1,j}^{(1)} \quad (2.70)$$

$$\text{para } j = 1, 3, 5, \dots, 23$$

$$i = 0, 2, 4, \dots, 22$$

Una nueva reducción conduce a

$$\chi_{i-4,j} + (2 - \alpha^2)\chi_{i,j} + \chi_{i+4,j} = J_{i-2,j}^{(2)} + \alpha J_{i,j}^{(2)} + J_{i+2,j}^{(2)} \quad (2.71)$$

$$\text{para } i = 0, 4, 8, \dots, 20$$

$$j = 1, 3, 5, \dots, 23$$

con $\alpha^{(1)} = 2 - \alpha^2$

y $J_{1,j}^{(2)} = J_{1-1,j}^{(1)} + \alpha J_{1,j}^{(1)} + J_{1+1,j}^{(1)}$

Finalmente, la última reducción es:

$$\chi_{i-8,j} + (2 - \alpha^{(2)})\chi_{1,j} + \chi_{1+8,j} = J_{1-4,j}^{(2)} + \alpha^{(2)}J_{1,j}^{(2)} + J_{1+4,j}^{(2)} \quad (2.72)$$

para $i = 0, 8, 16$
 $j = 1, 3, 5, \dots, 23$

donde

$$\alpha^{(2)} = 2 - \alpha^{(1)2}$$

y $J_{1,j}^{(2)} = J_{1-2,j}^{(1)} + \alpha^{(2)}J_{1,j}^{(1)} + J_{1+2,j}^{(1)}$

Los sistemas planteados en (2.72) son 12 sistemas de 3 ecuaciones con 3 incógnitas (un sistema por cada renglón j), i.e.,

$$\begin{aligned} \alpha^{(3)}\chi_{0,j} + \chi_{8,j} + \chi_{16,j} &= J_{0,j}^{(4)} \\ \chi_{0,j} + \alpha^{(3)}\chi_{8,j} + \chi_{16,j} &= J_{8,j}^{(4)} \\ \chi_{0,j} + \chi_{8,j} + \alpha^{(3)}\chi_{16,j} &= J_{16,j}^{(4)} \end{aligned} \quad (2.73)$$

para $j = 1, 3, 5, \dots, 23,$

$$\alpha^{(3)} = 2 - \alpha^{(2)2}$$

y $J_{1,j}^{(4)} = J_{1-4,j}^{(3)} + \alpha^{(3)}J_{1,j}^{(3)} + J_{1+4,j}^{(3)}$

Los sistemas (2.73) podrán resolverse mediante la regla de Kramer, tal como - se hizo en (2.65) - (2.67), i.e.,

$$\chi_{0,j} = \frac{(\alpha^{(3)} + 1) J_{0,j}^{(4)} - J_{8,j}^{(4)} - J_{16,j}^{(4)}}{\alpha^{(3)}(\alpha^{(3)} + 1) - 2} \quad (2.74)$$

$$\chi_{8,j} = \frac{(\alpha^{(3)} + 1) J_{8,j}^{(4)} - J_{0,j}^{(4)} - J_{16,j}^{(4)}}{\alpha^{(3)}(\alpha^{(3)} + 1) - 2} \quad (2.75)$$

$$\chi_{16,j} = \frac{(\alpha^{(3)} + 1) J_{16,j}^{(4)} - J_{0,j}^{(4)} - J_{8,j}^{(4)}}{\alpha^{(3)}(\alpha^{(3)} + 1) - 2} \quad (2.76)$$

para $j = 1, 3, 5, 7, \dots, 23$

Se inicia ahora el proceso de recursión, usando la ecuación (2.71), tal que

$$\chi_{1,j} = \frac{J_{1,j}^{(2)} - \chi_{1-4,j} - \chi_{1+4,j}}{\alpha^{(2)}} \quad (2.77)$$

para $i = 4, 12, 20$
 $j = 1, 3, 5, \dots, 23$

utilizando para el miembro derecho de (2.77) los valores previamente calculados de

$$J_{1,j}^{(2)}, \chi_{0,j}, \chi_{8,j}, \chi_{16,j} \text{ y } \alpha^{(2)}$$

Por último, usando la ecuación (2.70) se determinan los valores de la tendencia en la totalidad de las columnas pares de los renglones impares de la malla,

$$\chi_{1,j} = \frac{J_{1,j}^{(2)} - \chi_{1-2,j} - \chi_{1+2,j}}{\alpha^{(1)}} \quad (2.78)$$

para $i = 2, 6, 10, \dots, 22$
 $j = 1, 3, 5, \dots, 23$

Solo falta para terminar, obtener los valores de la tendencia en las columnas impares de los renglones impares. Ello se logra a partir de la ecuación (2.68); de manera directa, por substitución se tiene

$$\chi_{1,j} = \frac{J_{1,j}^{(1)} - \chi_{1-1,j} - \chi_{1+1,j}}{-\alpha} \quad (2.79)$$

para $i = 1, 3, 5, \dots, 23$
 $j = 1, 3, 5, \dots, 23,$

el miembro derecho de (2.79) es conocido.

CAPITULO 3

PROGRAMAS Y DIAGRAMAS DE FLUJO

3.1 Introducción.

En este capítulo se presentan los diagramas de flujo y listados de los programas de los métodos de Sobrerrelajación (SOR) y Reducción Cíclica Recursiva (RCR), utilizados para resolver la ecuación de Helmholtz en una malla 24×24 . Las gráficas de los resultados correspondientes a estos programas son también incluidas. Finalmente, los dos métodos numéricos -Sobrerrelajación y Análisis de Fourier- son comparados con la función tendencia analítica que resulta de la función geopotencial teórico, analizando para ello las gráficas de las matrices de diferencias que resultan de los campos de tendencia calculados numéricamente, contra el campo de tendencia generado analíticamente. Por otra parte, los diagramas de flujo se presentan considerando una estructura principal y subsecciones separadas, estas últimas son representadas con una letra dentro de un círculo. En la parte final de cada diagrama principal se anexan estas subsecciones, desarrolladas en detalle, con la finalidad de hacer comprensible un seguimiento.

3.2 Programa y diagrama de flujo del método de Sobrerrelajación

3.2.1 PROGRAMA S O R

```

#WORKSOURCE ALREADY SAVED
#WORKFILE OVERLAP: FORTRAN, 237 RECORDS, SAVED
100 $ERRLIST
105 $SET LINFINFO
110 FILE 6-ESC UNIT-PRINTER/RECORD-22
115 C PROGRAMA PARA RESOLVER LA EC. DE HELMHOLTZ MEDIANTE
120 C SOBRRERRELAJACION, EN UNA MALLA 24X24
125 DIMENSION XJAC(24,24),TEND(24,24),TENDI(24,24)
135 REAL NORMA1,NORMA2,LAMBDA1,LAMBDA2
140 EPS1=1.0E-2
145 EPS2=1.0E-4
150 M0F1=1.77
155 N=24
160 M1=1.77
165 LAMBDA2=3.0
170 K2=0
175 G0R=0.0
185 NORMA2=3.0
190 ITER=0
195 N=231.423 EB
200 C***** CORRIDA CON H=0.27E-14 *****
205 XM=8.27E-14
210 H2=HAM
215 C3=H2/2.
220 C2=(H2/2.)*XM+2.
225 C3=(H2/4.)*XM+1.
230 C1=H2*XM+4.0
235 C4=H2/4.
240 DO 10 I=1,24
245 DO 10 K=1,24
250 TEND(I,K)=0.0
255 TENDI(I,K)=0.0
260 10 CONTINUE
265 CALL XJACC(XJAC)
270 90 ITER=ITER+1
275 DO 70 IZ=1,47
280 MAX=MAX0(IZ-N+1,1)
285 MIN=MIN0(IZ,24)
290 DO 70 I=MAX,MIN
295 K=IZ-1+1
300 IF(I.EQ.1.AND,K.EQ.1) GO TO 110
305 IF(I.EQ.24.AND,K.EQ.1) GO TO 120
310 IF(I.EQ.1.AND,K.EQ.24) GO TO 130
315 IF(I.EQ.24.AND,K.EQ.24) GO TO 140
320 IF(I.EQ.1.AND,(K.GE.2.AND,1.LE.23)) GO TO 150
325 IF(I.EQ.24.AND,(K.GE.2.AND,N.LE.23)) GO TO 160
330 IF(N.EQ.1.AND,(I.GE.2.AND,1.LE.23)) GO TO 170
335 IF(N.EQ.24.AND,(I.GE.2.AND,1.LE.23)) GO TO 180
340 100 RESID1 = C1*TEND(I,K)+H2*XJAC(I,K)-TEND(I-1,K)-TEND(I+1,K)
345 * RESID2 = RESID1/C1
350 GO TO 190
355 110 RESID1 = (C3*TEND(I,K)+C4*XJAC(I,K)-0.5*(TEND(I+1,K)
365 * +TEND(I,K+1)))
370 RESID2=RESID1/C3
375 GO TO 190
380 120 RESID1 = C3*TEND(I,K)+C4*XJAC(I,K)-0.5*(TEND(I-1,K)
385 * +TEND(I,K+1))
390 RESID2 = RESID1/C3
395 GO TO 190

```

```

400 130 RESID1 = C3*TEND(I,K)+C4*XJAC(I,K)-0.5*(TEND(I,K-1)
405 *      +TEND(I+1,K))
410 RESID2 = RESID1/C3
415 GO TO 190
420 140 RESID1 = C3*TEND(I,K)+C4*XJAC(I,K)-0.5*(TEND(I,K-1)
425 *      +TEND(I-1,K))
430 RESID2 = RESID1/C3
435 GO TO 190
440 150 RESID1 = C2*TEND(I,K)+C5*XJAC(I,K)-0.5*(TEND(I,K-1)
445 *      +TEND(I,K+1)) - TEND(I+1,K)
450 RESID2 = RESID1/C2
455 GO TO 190
460 160 RESID1 = C2*TEND(I,K)+C5*XJAC(I,K)-0.5*(TEND(I,K-1)
465 *      +TEND(I,K+1)) - TEND(I-1,K)
470 RESID2 = RESID1/C2
475 GO TO 190
480 170 RESID1 = C2*TEND(I,K) + C5*XJAC(I,K)-0.5*(TEND(I-1,K)
485 *      +TEND(I+1,K)) - TEND(I,K+1)
490 RESID2 = RESID1/C2
495 GO TO 190
500 180 RESID1 = C2*TEND(I,K)+C5*XJAC(I,K)-0.5*(TEND(I-1,K)
505 *      +TEND(I+1,K)) -TEND(I,K-1)
510 RESID2=RESID1/C2
515 190 IF( WOPT .EQ. W1) GO TO 1000
525 RESID1= RESID1*RESID1
530 SUM= SUM + RESID1
535 IF( I .LE. 23 .AND. N .LE. 25) GO TO 1000
540 NORMA1= SQRT(SUM)
545 WRITE(6,622) NORMA1,NORMA2
550 622 FORMAT(//,20X,'NORMA1=',2X,E16.8,'NORMA2=',E16.8)
555 LAMDA1 = NORMA1/NORMA2
560 WRITE(6,621) LAMDA1
565 621 FORMAT(/////20X,' LAMDA1=      ',F8.5)
570 Z=ABS(1.-LAMDA1)
575 ZZ=SQRT(Z)
580 WRITE(6,625) Z,ZZ
585 625 FORMAT(//,20X,' Z= ',E16.8,'ZZ=',E16.8)
590 W1 = 2./(1.+ZZ)
595 IF(ABS(NORMA2-NORMA1) .LT. EPS1) WOPT=W1
600 SUM = 0.0
605 NORMA2 = NORMA1
610 LAMDA2=LAMDA1
615 1000 TEND(I,K) = TEND(I,K)
620 TEND(I,K) = TEND(I,K) - WOPT*RESID2
625 70 CONTINUE
626 RES=0.0
627 DO 75 I=1,24
628 DO 75 K=1,24
629 DIF=ABS(TEND(I,K)-TEND(I,K))
630 DIF1=MAX1(RES,DIF)
631 RES=DIF1
632 75 CONTINUE
633 IF( DIF .GT. EPS2 ) GO TO 90
705 WRITE(6,186) ITER
710 186 FORMAT(/////20X,'ITER=      ',15)
715 WRITE(6,187) WOPT
720 187 FORMAT(/////20X,'WOPT=      ',F6.4////)
725 CALL AUTASI(24,24,DIF,1,ITER,XXMAX)
730 CALL MAPACTEND(1,DIF,101,127)
735 3 CALL EXIT
740 END
745 SUBROUTINE MAPA(Z,BASE,CINI,NI,NC)
750 DIMENSION Z(24,24),SINH(20),V(130)
755 DATA SIMD/'A','B','C','D','E','F','G','H','I','J','K','L','M',
760 *      'N','O','P','Q','R','S','T'//
765 DATA CRUZ, ASIR/ 'I','*'/
770 DATA BLK, GUTON/ ' ','_'/
775 NL1 = NL-1
780 NCM1 = NC-1
785 CINT2= 2.0*CINI
790 R17 = 23.0/NCM1
795 R23 = 23.0/NL1

```



```

800      WRITE (6,100)
805 100  FORMAT(1X,'CONTAS DE LOS STABULOS',/,2X,'STABULO',2X,'INFERIOR',
810      * 4X,'SUPERIOR',/,,)
815      DO 1 K=1,20
820      CONT1 = BASE + 2.0*CONT1*(K-1)
825      CONT5 = CONT1 + CINT
830      WRITE (6,101) STABCK5,CONT1,CONT5
835 101  FORMAT (10X,61,6X,2E12,4)
840      1  CONTINUE
845      WRITE (6,102)
850 102  FORMAT (' ',/,,,1X,'1',126X,'24')
855      DO 2 J=2,NCHI
860      V(J) = GUNION
865      2  CONTINUE
870      WRITE (6,103) (V(J),J=2,NCHI)
875      DO 10 LINEA = 2,NCHI
880      RI = 1.0 + (LINEA - 1) * K23
885      I = IFIX (RI)
890      X = RI - FLOAT (I)
895      DO 11 JEAR = 2,NCHI
900      KJ = 1.0 + (JEAR-1)* RI2
905      J = IFIX (KJ)
910      Y = KJ - FLOAT (J)
915      A1 = Z (I,J)
920      A2 = Z (I1,J) - A1
925      A3 = Z (I,J11) - A1
930      A4 = Z (I1,J11) - A1 - A2 - A3
935      ZINI = A1 + A2 * X + (A31A4*X) * Y
940      V(JEAR) = BUK
945      DO 12 K=1,20
950      CONT1 = BASE + (K-1) * CINT2
955      CONT5 = CONT1 + CINT
960      IF (ZINI,AE,CONT1,OR,ZINI,GT,CONT5) GO TO 12
965      V(JEAR) = SIMB (K)
970      12  CONTINUE
975      11  CONTINUE
980      WRITE (6,103) (V(J),J=2,NCHI)
985 103  FORMAT (1X,'1',126X,'1')
990      10  CONTINUE
995      DO 19 J= 2,NCHI
1000     V(J) = GUNION
1005     19  CONTINUE
1010     WRITE (6,103) (V(J), J=2,NCHI)
1015     RETURN
1020     END
1025     SUBROUTINE XJACC(XJAC)
1030     DIMENSION XJAC(24,24)
1035     DD=231.423E3
1040     H=12.0
1045     V=3.0
1050     W=0.1
1055     A=100.0
1060     B=40.0
1065     E=200.0
1070     OMEGA=7.295E-5
1075     BETA=2.*OMEGA*COS(F1)/4.37E4
1080     XH=0.5
1085     XL=0.5
1090     XM=1.0/20.0
1095     XH=1.0/12.0
1100     F1=(30.043.1416)/180.0
1101     XXH=XM*XM
1102     XXN=XN*XN
1103     EFFE=2.0*OMEGA*SIN(F1)
1104     FU=EFFE*DB*DB*DB*DB
1105     AA=AXX*(6.*WBETA*EFFE)-AXX*XX*XX*H
1110     BB=-B*XL*(6.*WBETA*EFFE)*B*XL*XL*H
1115     CC=-2.*A*XX*XX*XX*W
1120     DD=3.*A*XX*XX*XX*W
1125     EE=-2.*H*XL*XL*XL*W

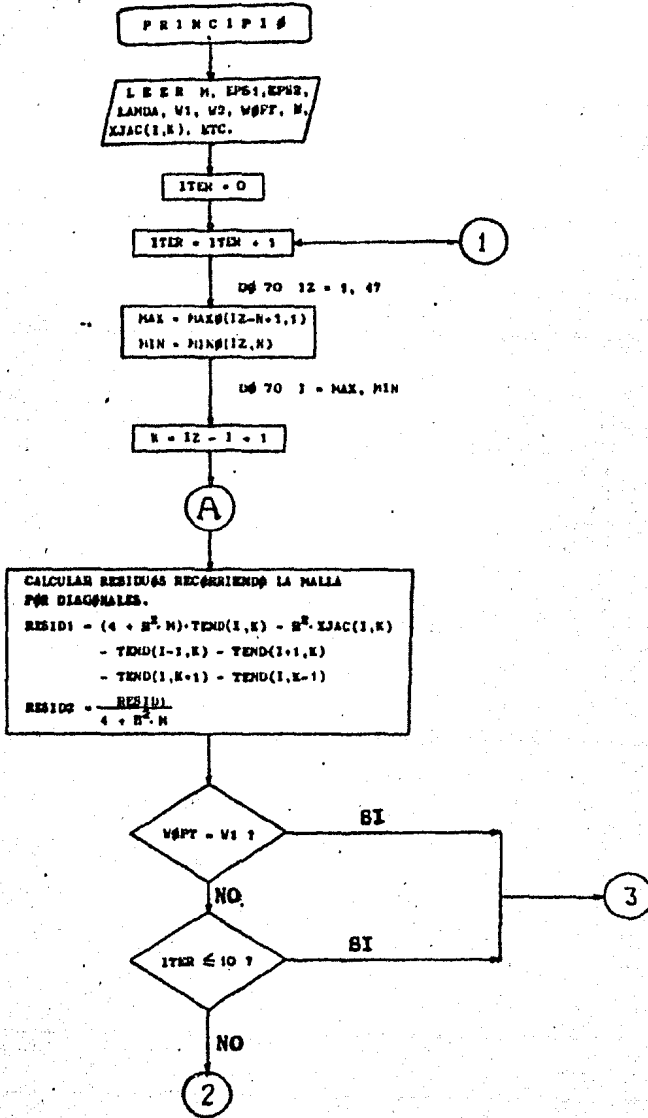
```

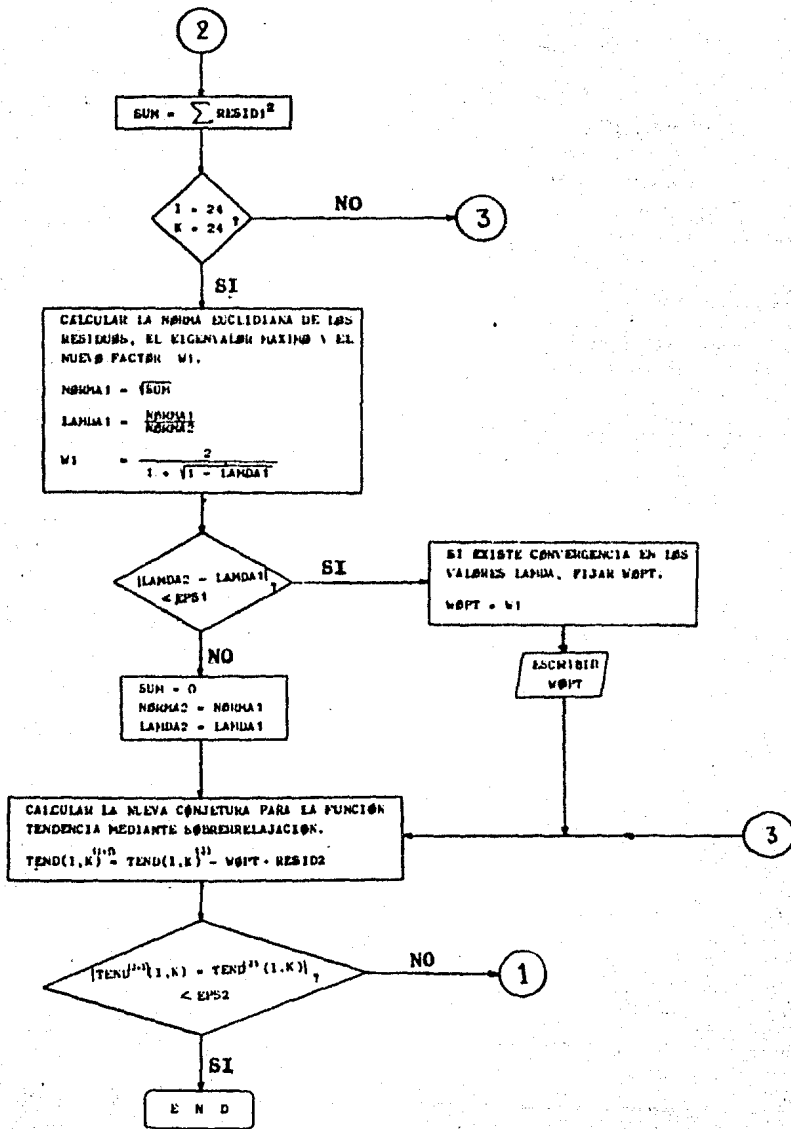
```

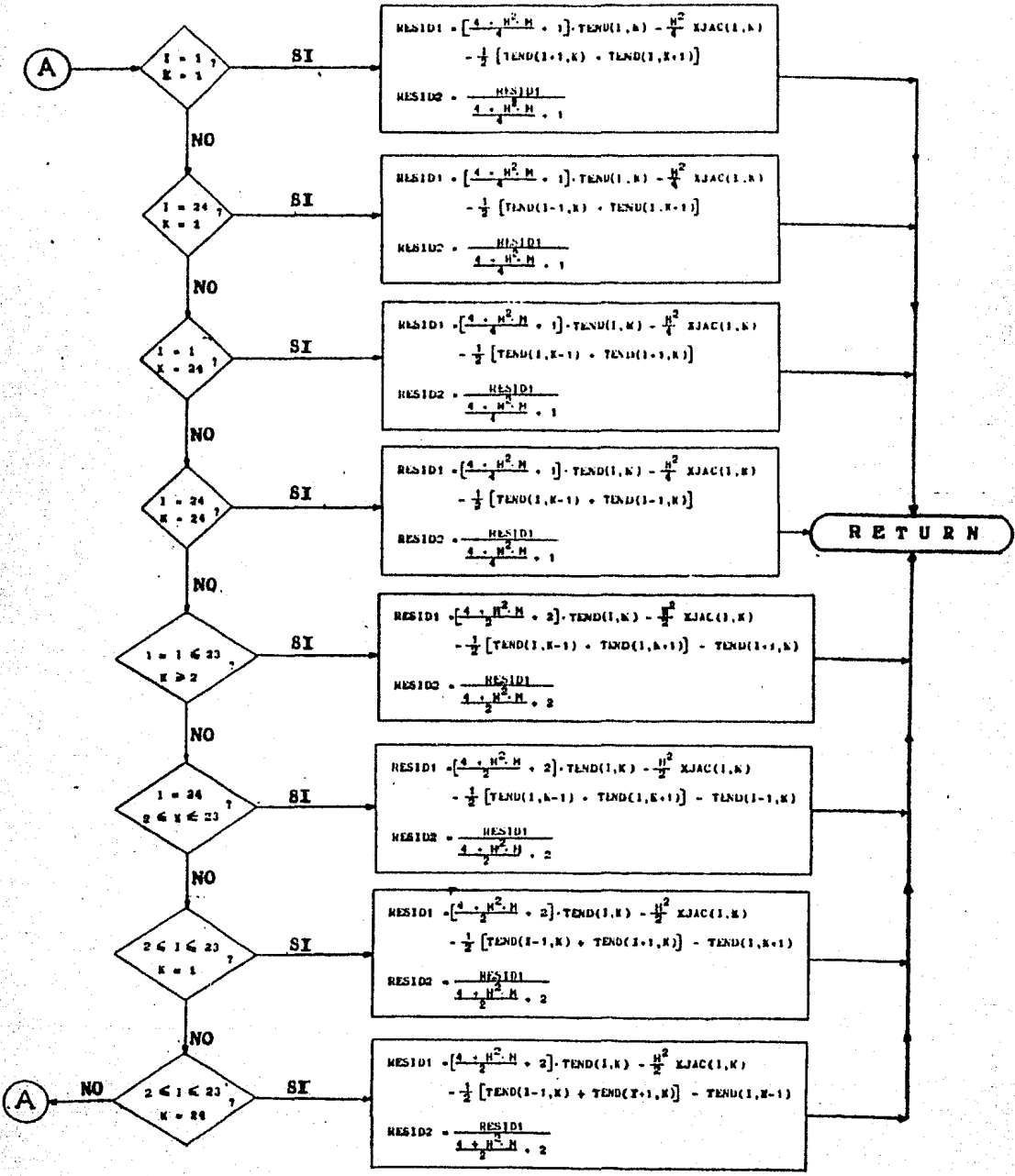
1130      FF=-3.*A*XL*XL*XL*W
1135      GG=-1.*XM*(G.*W)*HEIG*FF*E0-F*XI*W*(XXH*XXN)
1140      HH=-2.*E*XM*W*(XXH*XXN)
1145      XI=-3.*E*XM*W*(XXH*XXN)
1150      XII=-A*XI*E*XM*(XXH*XXN)-A*XI*XL*XL*E*W
1155      XKK=-B*XL*E*XM*(XXH*XXN)+B*XL*XL*XL*E*W
1180 300  DD 10 I=1,24
1185      DD 10 J=1,24
1190      IX=I
1195      JY=J
1200      REAL IX,JY
1205      IX = IX - 6.0
1210      JY = JY - 14.0
1215      XJAC(1,J)=(AA*COS(XK*IX)+BB*BIN(XI*IX)+CC*JY+COS(XK*IX)+
1220 *      DD*JY+JY*COS(XK*IX)+EE*JY*BIN(XI*IX)+
1225 *      FF*JY*JY*BIN(XI*IX)+GG*BIN(XH*IX)*SIN(XN*JY)+
1230 *      HH*JY*BIN(XH*IX)*SIN(XN*JY)+II+JY*JY*BIN(XH*IX)+
1235 *      SIN(XN*JY)+X*II*COS(XK*IX)+COS(XH*IX)+COS(XH*JY)+
1240 *      XKK*SIN(XI*IX)*COS(XK*IX)+COS(XN*JY))
1245 *      /FO
1250 10  CONTINUE
1255      RETURN
1260      END
1265      SUBROUTINE ANIASI(N,M,DIF,WU,XUAR,XMAX)
1270      DIMENSION XUAR(N,N)
1275      UU=XUAR(1,1)
1280      WW=XUAR(1,1)
1285      DO 1 I=1,N
1290      DO 1 J=1,M
1295      XMAX=AMAX1(UU,XUAR(I,J))
1300      XMIN=AMIN1(WW,XUAR(I,J))
1305      UU=XMAX
1310      WW=XMIN
1315 1  CONTINUE
1320      DIF=(UU-WW)/39.0
1325      RETURN
1330      END

```

3.2.2 DIAGRAMA DE FLUJO DEL METODO DE SOBRERRELAJACION







3.3 Programa y diagrama de flujo del Análisis de Fourier y Reducción Cíclica Recursiva.

3.3.1 PROGRAMA ANALISIS DE FOURIER.

```

110 FILE      6-ESC,UNIT-PRINTER,RECORD=22
115 CCALCULO DEL JACOBIANO MODIFICADO EN LOS PUNTOES PARTES DE LA HALLA
120 DIMENSION XJACH(24,24),XJAC(24,24),AN(13,24),RN(11,24),
125 * XLAMB1(13),XLAMB2(13),XLAMB3(13),ALPHA1(13),ALPHA2(13)
130 * ,ALPHA3(13),ALPHB1(13),ALPHB2(13),ALPHB3(13),F16(13,24)
135 * ,FIB(11,24),TEND(24,24),A1(24),A2(24),A3(24)
140 REAL IX,JY,KZ,M
145 M = B.27E-14
150 D=231.423E3
155 DD=D*B
160 C***** CORRIDA CON M=B.27E-14 *****
165 A=4.0444DD
170 PI = 3.14159
175 CALL XJACC(XJAC)
180 DO 10 I=1,24
185 DO 10 J=1,23,2
190 IF(I .EQ. 1 .AND. J .EQ. 1) GO TO 20
195 IF(I .EQ. 1 .AND. J .GE. 3) GO TO 30
200 IF(I .GT. 1 .AND. I .LT. 24 .AND. J .EQ. 1) GO TO 40
205 IF(I .EQ. 24 .AND. J .GE. 3) GO TO 42
210 IF(I .EQ. 24 .AND. J .EQ. 1) GO TO 46
215 XJACH(I,J)=A*XJAC(I,J)+XJAC(I,J-1)+XJAC(I,J+1)
220 * -XJAC(I-1,J)-XJAC(I+1,J)
225 GO TO 10
230 20 XJACH(I,J) = A * XJAC(I,J) + XJAC(I,J+3) + XJAC(I,J+1)
235 * - XJAC(I+23,J) - XJAC(I+1,J)
240 GO TO 10
245 30 XJACH(I,J) = A*XJAC(I,J)+XJAC(I,J-1)+XJAC(I,J+1)-XJAC -
250 *(I+23,J)-XJAC(I+1,J)
255 GO TO 10
260 40 XJACH(I,J)=A*XJAC(I,J)+XJAC(I,J+23)+XJAC(I,J+1)
265 * -XJAC(I-1,J)-XJAC(I+1,J)
270 GO TO 10
275 42 XJACH(I,J)=A*XJAC(I,J)+XJAC(I,J-1)+XJAC(I,J+1)
280 * -XJAC(I-1,J)-XJAC(I-23,J)
285 GO TO 10
290 46 XJACH(I,J)=A*XJAC(I,J)+XJAC(I,J+23)+XJAC(I,J+1)
295 * -XJAC(I-1,J)-XJAC(I-23,J)
300 10 CONTINUE
305 CCALCULO DE LOS COEFICIENTES DE FOURIER
310 DO 50 J=1,23,2
315 DO 50 N=1,13
320 AN(K,J)=0.0
325 50 CONTINUE
330 DO 60 J=1,23,2
335 DO 60 N=1,11
340 BN(K,J)=0.0
345 60 CONTINUE
350 DO 70 J=1,23,2
355 DO 70 N=1,13
360 DO 70 I=1,24
365 IX=I-1
370 KZ=K-1
375 AN(K,J)=AN(K,J)+XJACH(I,J)*COS(2.0*PI*KZ*IX/24.0)
380 IF(I .EQ. 24 ) AN(K,J)=2.0*AN(K,J)/24.0
385 70 CONTINUE
390 DO 80 J=1,23,2
395 DO 80 N=1,11
400 DO 80 I=1,24

```

```

405      IX=I+1
410      K2=K
415      BN(K, J)=BN(K, J)+X*BN(K, J)*STH(2.047141741X/24.0)
420      IF(1.EQ. 24) BN(K, J)=2.047141741X/24.0
425      80      CONTINUE
430      DO 90 K=I+13
435      K2=K-1
440      XLAMB1(K)=(-0.6644444444444444)*PI*14K2/24.0
445      *      XLAMB1(K)=2.4085(4.04714K/24.0)
450      90      CONTINUE
455      DO 100 J=I+21*4
460      DO 100 K=I+13
465      IF( J.EQ. 1) AN(K, J)=AN(K, J)+2*AN(K, J)*XLAMB1(K)
470      *      +AN(K, J)
475      IF( J.EQ. 1) GO TO 100
480      AN(K, J)=AN(K, J-2)+AN(K, J-2)-XLAMB1(K)*AN(K, J)
485      100      CONTINUE
490      DO 110 J=I+21*4
495      DO 110 K=I+11
500      IF( J.EQ. 1) BN(K, J)=BN(K, J-2)+BN(K, J-2)-XLAMB1(K)*
505      *      +BN(K, J)
510      IF( J.EQ. 1) GO TO 110
515      BN(K, J)=BN(K, J-2)+BN(K, J-2)-XLAMB1(K)*BN(K, J)
520      110      CONTINUE
525      DO 120 K=I+13
530      XLAMB2(K)=2.0-XLAMB1(K)*XLAMB1(K)
535      120      CONTINUE
540      DO 130 J=I+17*8
545      DO 130 K=I+13
550      IF( J.EQ. 1) AN(K, J)=AN(K, J-2)+AN(K, J-2)-XLAMB2(K)*
555      *      +AN(K, J)
560      IF( J.EQ. 1) GO TO 130
565      AN(K, J)=AN(K, J-4)+AN(K, J-4)-XLAMB2(K)*AN(K, J)
570      130      CONTINUE
575      WRITE(6,22)
580      622      FORMAT(//,20X,'*CORRIDA CON 60-0.0 EN J=I+9,1 Y=0.0002',//)
585      DO 140 J=I+17*8
590      DO 140 K=I+11
595      IF( J.EQ. 1) BN(K, J)=BN(K, J-2)+BN(K, J-2)-XLAMB2(K)*
600      *      +BN(K, J)
605      IF( J.EQ. 1) GO TO 140
610      BN(K, J)=BN(K, J-4)+BN(K, J-4)-XLAMB2(K)*BN(K, J)
615      140      CONTINUE
620      DO 150 K=I+13
625      XLAMB3(K)=2.0-XLAMB2(K)*XLAMB2(K)
630      150      CONTINUE
635      CALCULO DE LOS AIGLVAORES
640      DO 160 K=I+13
645      ALPHA1(K)=(AN(K, 1)+BN(K, 9)+BN(K, 17))/(5.04*(XLAMB3(K)+2.0)
650      *      )
655      ALPHA2(K)=(AN(K, 1)-2.0*AN(K, 9)+BN(K, 17))/(6.04*(XLAMB3(K)
660      *      -1.0))
665      ALPHA3(K)=(AN(K, 1)-AN(K, 17))/(2.04*(XLAMB3(K)+1.0))
670      160      CONTINUE
675      DO 170 K=I+11
680      ALPHA1(K)=(BN(K, 1)+BN(K, 9)+BN(K, 17))/(3.04*(XLAMB3(K)+
685      *      12.0))
690      ALPHA2(K)=(BN(K, 1)-2.0*BN(K, 9)+BN(K, 17))/(6.04*(XLAMB3(K)+
695      *      -1.0))
700      ALPHA3(K)=(BN(K, 1)-BN(K, 17))/(2.04*(XLAMB3(K)+1.0))
705      170      CONTINUE
710      DETERMINACION DE LOS COEFICIENTES DE FOURIER PARA LA TEMPERATURA
715      DO 180 K=I+13
720      FIA(K, 1) = ALPHA1(K) + ALPHA2(K) + ALPHA3(K)
725      FIA(K, 9) = ALPHA1(K) - 2.0*ALPHA2(K)
730      FIA(K, 17) = ALPHA1(K) + ALPHA2(K) - ALPHA3(K)
735      IF(K.EQ. 1) FIA(K, 1) = 0.0
740      IF(K.EQ. 1) FIA(K, 9) = 0.0
745      IF(K.EQ. 1) FIA(K, 17) = 0.0
750      180      CONTINUE

```

```

755      DO 190 K=1,11
760      FIB(K,J) = ALPHB1(K) + ALPHB2(K) + ALPHB3(K)
765      FIB(K,J) = ALPHB1(K) + 2.0*ALPHB2(K)
770      FIB(K,J) = ALPHB1(K) + ALPHB2(K) - ALPHB3(K)
775 190  CONTINUE
780      DO 210 J = 5,21,8
785      DO 210 K = 1,13
790      IF (ABS(XLAMBD2(K)) .GT. 10E8 ) GO TO 200
795      IF (J .EQ. 21 ) FIB(K,J) = (BN(K,J)-FIB(K,J-4) -
800      FIB(K,J-20))/XLAMB2(K)
805      IF (J .EQ. 21) GO TO 210
810      FIB(K,J) = (BN(K,J)-FIB(K,J-4) - FIB(K,J+4))/XLAMB2(K)
815      GO TO 210
820 200  FIB(K,J) = (BN(K,J))/XLAMB2(K)
825 210  CONTINUE
830      DO 220 J = 5,21,8
835      DO 220 K = 1,11
840      IF ( ABS(XLAMBD2(K+1)) .GT. 10E8 ) GO TO 230
845      IF (J .EQ. 21) FIB(K,J) = (BN(K,J)-FIB(K,J-4)
850      - FIB(K,J-20))/XLAMB2(K+1)
855      IF (J .EQ. 21) GO TO 230
860      FIB(K,J) = (BN(K,J)-FIB(K,J-4)-FIB(K,J+4))/XLAMB2(K+1)
865      GO TO 230
870 230  FIB(K,J) = BN(K,J)/XLAMB2(K+1)
875 220  CONTINUE
880      DO 240 J=3,23,4
885      DO 240 K=1,13
890      IF ( ABS(XLAMBD1(K)) .GT. 10E8 ) GO TO 250
895      IF (J .EQ. 23) FIB(K,J) = (AN(K,J)-FIB(K,J-2)
900      FIB(K,J-22))/XLAMB1(K)
905      IF (J .EQ. 23) GO TO 240
910      FIB(K,J) = (AN(K,J)-FIB(K,J-2)-FIB(K,J+2))/XLAMB1(K)
915      GO TO 240
920 250  FIB(K,J) = AN(K,J)/XLAMB1(K)
925 240  CONTINUE
930      DO 260 J=3,23,4
935      DO 260 K=1,11
940      IF ( ABS(XLAMBD1(K+1)) .GT. 10E8 ) GO TO 270
945      IF (J .EQ. 23) FIB(K,J) = (BN(K,J)-FIB(K,J-2) -
950      FIB(K,J-22))/XLAMB1(K+1)
955      IF (J .EQ. 23) GO TO 260
960      FIB(K,J) = (BN(K,J)-FIB(K,J-2)-FIB(K,J+2))/XLAMB1(K+1)
965      GO TO 260
970 270  FIB(K,J) = BN(K,J)/XLAMB1(K+1)
975 260  CONTINUE
980 CDETERMINACION DE LA TENDENCIA EN LAS LINEAS PARES POR SINI FOU
985      DO 280 J=1,23,2
990      DO 280 I=1,24
995      TEND(I,J) = 0.0
1000 280  CONTINUE
1005      DO 290 J=1,23,2
1010      DO 290 I=1,24
1015      DO 290 K=1,11
1020      IX=I-1
1025      K2=K
1030      TEND(I,J) = TEND(I,J) + FIB(K+1,J) * COS((2.0*PI*(K2)*IX)/
1035      24.0) + FIB(K,J) * SIN((2.0*PI*K2*IX/24.0))
1040 290  CONTINUE
1045      DO 300 J=1,23,2
1050      DO 300 I=1,24
1055      IX=I-1
1060      TEND(I,J) = TEND(I,J) + 0.5*FIB(1,J) + 0.5*FIB(13,J) + (-1.0**IX)
1065 300  CONTINUE
1070 CSOL EN LAS LINEAS IMPARES; PIUS PARES
1075      DO 310 J=2,24,2
1080      DO 310 I=1,24
1085      IF (J .EQ. 24) XJACH(I,J) = XJAC(I,J) - TEND(I,J-1) - TEND(I,J-23)
1090      IF (J .EQ. 24 ) GO TO 310
1095      XJACH(I,J) = XJAC(I,J) - TEND(I,J-1) - TEND(I,J+1)
1100 310  CONTINUE

```



```

1105      DO 320 J=2,24,2
1110      DO 320 I=1,23,2
1115      IF( I .EQ. 1 ) XJACH(I,J)=XJACH(I+23,J)+XJACH(I,J)
1120      *      + XJACH(I+1,J)
1125      IF( I .EQ. 1 ) GO TO 320
1130      XJACH(I,J)=XJACH(I-1,J)+XJACH(I,J)+XJACH(I+1,J)
1135 320      CONTINUE
1140      E10 = 2.0 - E10
1145      DO 330 J = 2,24,2
1150      DO 330 I = 1,21,4
1155      IF( I .EQ. 1 ) XJACH(I,J) = XJACH(I+22,J)-E10*XJACH(I,J)
1160      *      + XJACH(I+2,J)
1165      IF( I .EQ. 1 ) GO TO 330
1170      XJACH(I,J) = XJACH(I-2,J) - E10*XJACH(I,J) +XJACH(I+2,J)
1175 330      CONTINUE
1180      E101 = 2.0 - E10+1.0
1185      DO 340 J = 2,24,2
1190      DO 340 I = 1, 17, 0
1195      IF( I .EQ. 1 ) XJACH(I,J) = XJACH(I+20,J) - E101*
1200      *      XJACH(I,J)+XJACH(I+4,J)
1205      IF( I .EQ. 1 ) GO TO 340
1210      XJACH(I,J) = XJACH(I-4,J) - E101*XJACH(I,J) +XJACH(I+4,J)
1215 340      CONTINUE
1220      E102 = 2.0 - E10+1+E101
1225      DO 350 J = 2, 24, 2
1230      A1(J) = (XJACH(1,J)+XJACH(9,J)+XJACH(17,J))/(3.0*(E102
1235      *      +2.0))
1240      A2(J) = (XJACH(1,J) - 2.0*XJACH(9,J)+XJACH(17,J))/(6.0
1245      *      *(E102-1.0))
1250      A3(J) = (XJACH(1,J) - XJACH(17,J))/(2.0*(E102-1.0))
1255 350      CONTINUE
1260      DO 360 J = 2, 24, 2
1265      TEND(1,J) = A1(J) + A2(J) + A3(J)
1270      TEND(9,J) = A1(J)-2.*A2(J)
1275      TEND(17,J) = A1(J) + A2(J) - A3(J)
1280 360      CONTINUE
1285      DO 370 J = 2, 24, 2
1290      DO 370 I = 5, 21, 0
1295      IF( I .EQ. 21 ) TEND(I,J) = (XJACH(I,J) -TEND(I-4,J) -TEND(
1300      *      I-20,J))/E101
1305      IF( I .EQ. 21 ) GO TO 370
1310      TEND(I,J) = (XJACH(I,J) - TEND(I-4,J) - TEND(I+4,J))/E101
1315 370      CONTINUE
1320      DO 380 J = 2, 24, 2
1325      DO 380 I = 3, 23, 4
1330      IF( I .EQ. 23 ) TEND(I,J) = (XJACH(I,J)-TEND(I-2,J)-TEND(I-22,J)
1335      *      )/E10
1340      IF( I .EQ. 23 ) GO TO 380
1345      TEND(I,J)=(XJACH(I,J)-TEND(I-2,J)-TEND(I+2,J))/E10
1350 380      CONTINUE
1355 CSOL EN LOS PTOS. IMPARES
1360      DO 390 J=2,24,2
1365      DO 390 I=2,24,2
1370      IF( I .EQ. 24 ) TEND(I,J)=(XJACH(I,J)-TEND(I-1,J)-TEND(I-23,J)
1375      *      )/(-A)
1380      IF( I .EQ. 24 ) GO TO 390
1385      TEND(I,J)=(XJACH(I,J)-TEND(I-1,J)-TEND(I+1,J))/(-A)
1390 390      CONTINUE
1395      CALL AUTASI(24,24,CINT,BASE,TEND,XXMAX)
1400 444      CALL MAPA(TEND,BASE,CINT,101,127)
1405 C      DO 222 I=1,24
1410 C222      WRITE(6,330) ( TEND(I,J) , J=1,24 )
1415 530      FORMAT(///,1H,24E12.4)
1420 939      CALL EXIT
1425      END

```

```

1430 SUBROUTINE MAPA(Z,BASE,CINT,NL,NC)
1435 *SET LINEINFO
1440 DIMENSION Z(24,24),SIMP(20),V(150)
1445 DATA SIMP/'A','B','C','D','E','F','G','H','I','J','K','L','M',
1450 * 'N','O','P','Q','R','S','T'/
1455 DATA CRUZ, ASTER/'+', '*'/
1460 DATA BLK, GUION/' ', '_'/
1465 NL1 = NL-1
1470 NC1 = NC-1
1475 CINT2= 2.0*CINT
1480 R17 = 23.0/NC1
1485 R23 = 23.0/NL1
1490 WRITE (6,100)
1495 FORMAT(11X,'CONTAS DE LOS SIMBOLOS',//,7X,'SIMBOLO',7X,'INFERIOR',
1500 * 4X,'SUPERIOR',//)
1505 DO 1 K=1,20
1510 CONTI = BASE + 2.0*CINT*(K-1)
1515 CONTS = CONTI + CINT
1520 WRITE (6,101) SIMB(K),CONTI,CONTS
1525 101 FORMAT(10X,A1,6X,2E12.4)
1530 1 CONTINUE
1535 WRITE (6,102)
1540 102 FORMAT (' ',////,1X,'1',126X,'24')
1545 DO 2 J=2,NC1
1550 V(J) = GUION
1555 2 CONTINUE
1560 WRITE (6,103) (V(J),J=2,NC1)
1565 DO 10 LINEA = 2,NL1
1570 RI = 1.0 + (LINEA - 1) * R23
1575 I = IFIX(RI)
1580 X = RI - FLOAT(I)
1585 DO 11 JCAR = 2,NC1
1590 RJ = 1.0 + (JCAR-1)* R17
1595 J = IFIX(RJ)
1600 Y = RJ - FLOAT(J)
1605 A1 = Z(I,J)
1610 A2 = Z(I+1,J) - A1
1615 A3 = Z(I,J+1) - A1
1620 A4 = Z(I+1,J+1) - A1 - A2 - A3
1625 ZINT = A1 + A2 * X + (A3+A4*X) * Y
1630 V(JCAR) = BLK
1635 DO 12 K=1,20
1640 CONTI = BASE + (K-1) * CINT2
1645 CONTS = CONTI + CINT
1650 IF (ZINT.LE.CONTI.OX.ZINT.GT.CONTS) GO TO 12
1655 V(JCAR) = SIMB(K)
1660 12 CONTINUE
1665 11 CONTINUE
1670 WRITE (6,103) (V(J),J=2,NC1)
1675 103 FORMAT(1X, '1',125A1,'1')
1680 10 CONTINUE
1685 DO 19 J= 2,NC1
1690 V(J) = GUION
1695 19 CONTINUE
1700 WRITE (6,103) (V(J), J=2,NC1)
1705 RETURN
1710 END
1715 SUBROUTINE XJACC(X,JAC)
1720 *SET LINEINFO
1725 DIMENSION XJAC(24,24)
1730 DD=231.423E3
1735 U=12.0
1740 V=3.0
1745 W=0.1
1750 A=100.0
1755 B=40.0
1760 E=200.0
1765 OMEGA=7.295E-5
1770 FI=(30.0*3.1416)/180.0
1775 BETA=2.*OMEGA*COS(FI)/6.37E6

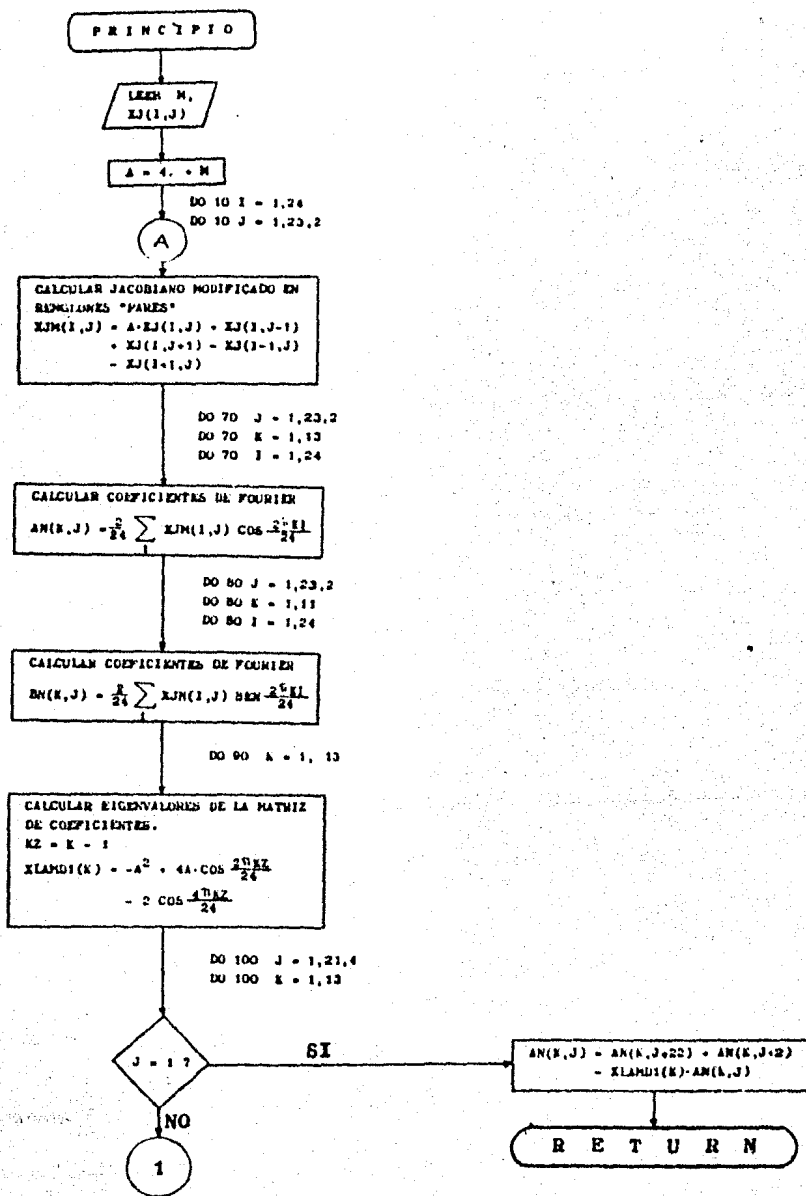
```

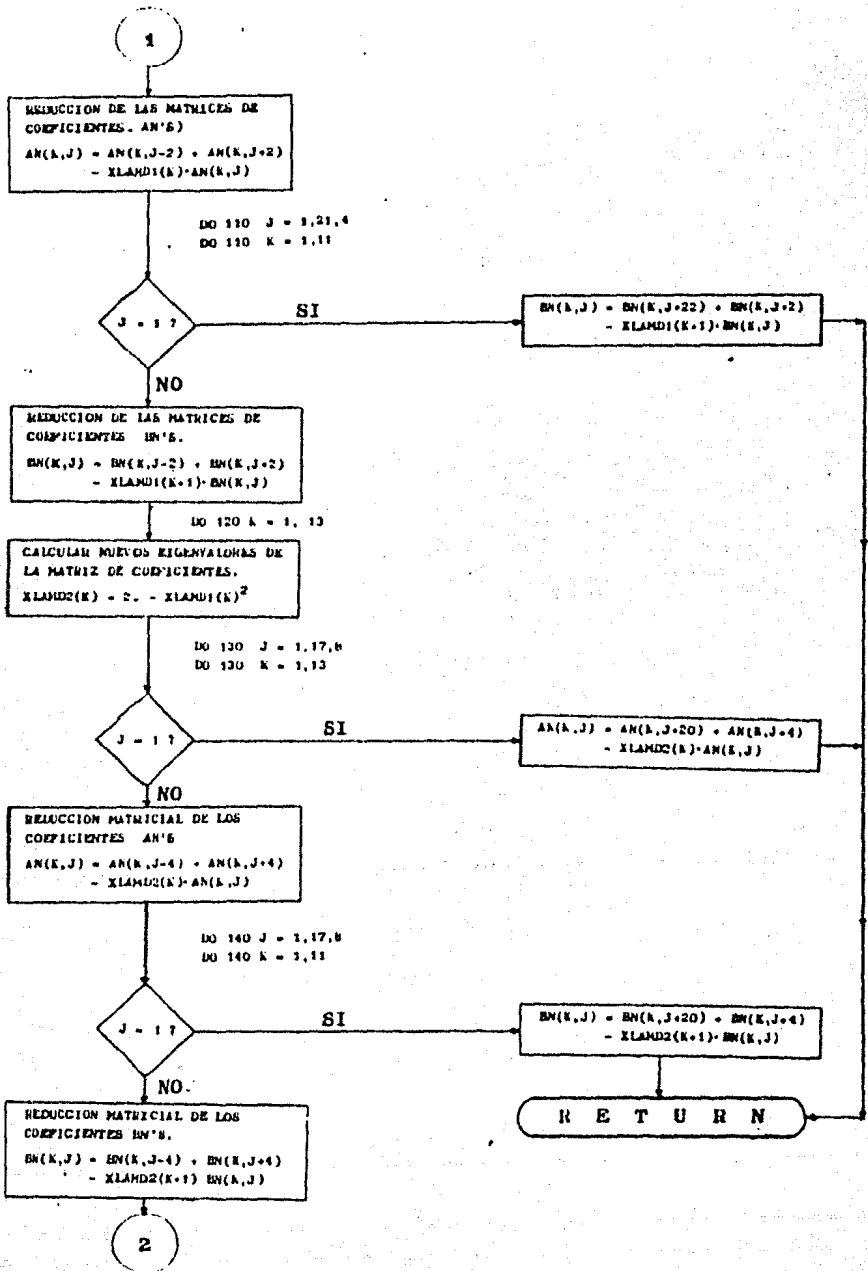
```

1700 AK=0.5
1705 ZI=0.5
1790 XM=0.05
1795 XH=0.0143
1800 XXH=XMAXH
1805 XNH=XNHXN
1810 LFEQ=2.0*0.0143*GASIN(1)
1815 LI=1-FCOARD*0.0
1820 GG=AXXK*(G.WTBEIG*LI*FEQ)-GAXXK*GK*0.0
1825 BB=-D*XL*(G.WTBEIG*LI*FEQ)+D*XL*(AL*XL*LI)
1830 CC=-2.46*XXK*XXK*XL*V
1835 DD=-3.46*XXK*XXK*XL*W
1840 EE=-2.46*XL*(XL*XL*V)
1845 FF=-3.46*XL*(XL*XL*W)
1850 GG=E*XM*(G.WTBEIG*LI*FEQ)-L*XBH*H*(XNH*XL)
1855 HH=-2.4E*XBH*V*(XXH*XXH)
1860 II=-3.4E*XBH*W*(XXH*XXH)
1865 XJJ=G*XXK*(XNH*(XXH*XXH)-G*XXK*XXK*AR*E*XL)
1870 XKK=-D*XL*(E*XXH*(XXH*XXH)+H*XL*(AL*XL*LI*LI)
1875 300 DD 15 I=1,24
1880 DD 15 J=1,24
1885 IX=1
1890 JY=J
1895 KEAL IX,JY
1900 IX = IX - 6.0
1905 JY = JY - 14.0
1910 XJGC(I,J) = (G*H*CBUS(XK*IX) + H*BSIN(XI*(I+J)*V) + JY*CBUS(XK*IX) +
* DD*JY*JY*CBUS(XK*IX) + H*(I+J)*BSIN(XI*(I+J))
* FF*JY*JY*BSIN(XI*(I+J)) + GG*H*BSIN(XH*IX) + BSIN(XNH*JY) +
* HH*JY*BSIN(XH*IX) + BSIN(XNH*JY) + XI*(I+J)*JY*BSIN(XH*IX)*
* BSIN(XNH*JY) + XJ*(I+J)*CBUS(XK*IX) + CBUS(XH*IX) + CBUS(XNH*JY) +
* XKK*BSIN(XI*(I+J)) + CBUS(XH*IX) + CBUS(XNH*JY)) / 2.0
1940 15 CONTINUE
1945 RETURN
1950 END
1955 SUBROUTINE AUTOBI(H,B,DI,WW,XVAR,XMAX)
1960 DIMENSION XVAR(N,H)
1965 VV=XVAR(1,1)
1970 WW=XVAR(1,1)
1975 DO 1 I=1,N
1980 DO 1 J=1,H
1985 XMAX=AMAX1(VV,XVAR(I,J))
1990 XMIN=AMIN1(WW,XVAR(I,J))
1995 VV=XMAX
2000 WW=XMIN
2005 1 CONTINUE
2010 BIF=(VV-WW)/39.0
2015 RETURN
2020 END
2025 SUBROUTINE ESCR1(H,B,XVAR)
2030 DIMENSION XVAR(N,H)
2035 DO 1 I=1,N
2040 WRITE(6,2) ( XVAR(I,J) , J=1,H )
2045 2 FORMAT(////,1H,10CL/,1,2X)
2050 1 CONTINUE
2055 RETURN
2060 END

```

3.3.2 DIAGRAMA DE FLUJO DEL ANALISIS DE FOURIER Y RCR





2

DO 190 K = 1, 13

CALCULAR EIGENVALORES DE LA
MATRIZ DE COEFICIENTES.

$$\lambda_{LANDJ}(K) = 2. - \lambda_{LANDJ}(K)^2$$

DO 190 K = 1, 13

CALCULAR LOS COEFICIENTES DE FOURIER FIA'S PARA LA TENDENCIA DEL GEOPOTENCIAL EN LOS REGLONES 1, 9 y 17.

$$FIA(K, 1) = \frac{(\lambda_{LANDJ}(K) + 1) \cdot AN(K, 1) - AN(K, 9) - AN(K, 17)}{\lambda_{LANDJ}(K) \cdot (\lambda_{LANDJ}(K) + 1) - 2}$$

$$FIA(K, 9) = \frac{(\lambda_{LANDJ}(K) + 1) \cdot AN(K, 9) - AN(K, 1) - AN(K, 17)}{\lambda_{LANDJ}(K) \cdot (\lambda_{LANDJ}(K) + 1) - 2}$$

$$FIA(K, 17) = \frac{(\lambda_{LANDJ}(K) + 1) \cdot AN(K, 17) - AN(K, 1) - AN(K, 9)}{\lambda_{LANDJ}(K) \cdot (\lambda_{LANDJ}(K) + 1) - 2}$$

DO 200 K = 1, 13

CALCULAR LOS COEFICIENTES DE FOURIER FIB'S PARA LA TENDENCIA DEL GEOPOTENCIAL EN LOS REGLONES 1, 9 y 17

$$FIB(K, 1) = \frac{(\lambda_{LANDJ}(K+1) + 1) \cdot BN(K, 1) - BN(K, 9) - BN(K, 17)}{\lambda_{LANDJ}(K+1) \cdot (\lambda_{LANDJ}(K+1) + 1) - 2}$$

$$FIB(K, 9) = \frac{(\lambda_{LANDJ}(K+1) + 1) \cdot BN(K, 9) - BN(K, 1) - BN(K, 17)}{\lambda_{LANDJ}(K+1) \cdot (\lambda_{LANDJ}(K+1) + 1) - 2}$$

$$FIB(K, 17) = \frac{(\lambda_{LANDJ}(K+1) + 1) \cdot BN(K, 17) - BN(K, 1) - BN(K, 9)}{\lambda_{LANDJ}(K+1) \cdot (\lambda_{LANDJ}(K+1) + 1) - 2}$$

DO 210 J = 5, 21, 8

DO 210 K = 1, 13

J = 21 ?

SI

$$FIA(K, J) = \frac{AN(K, J) - FIA(K, J-4) - FIA(K, J-20)}{\lambda_{LANDJ}(K)}$$

NO

CALCULAR COEFICIENTES DE FOURIER FIA'S PARA LA TENDENCIA EN REGLONES 5, 13 y 21

$$FIA(K, J) = \frac{AN(K, J) - FIA(K, J-4) - FIA(K, J-4)}{\lambda_{LANDJ}(K)}$$

DO 220 J = 5, 21, 8

DO 220 K = 1, 13

J = 21 ?

SI

$$FIB(K, J) = \frac{BN(K, J) - FIB(K, J-4) - FIB(K, J-20)}{\lambda_{LANDJ}(K+1)}$$

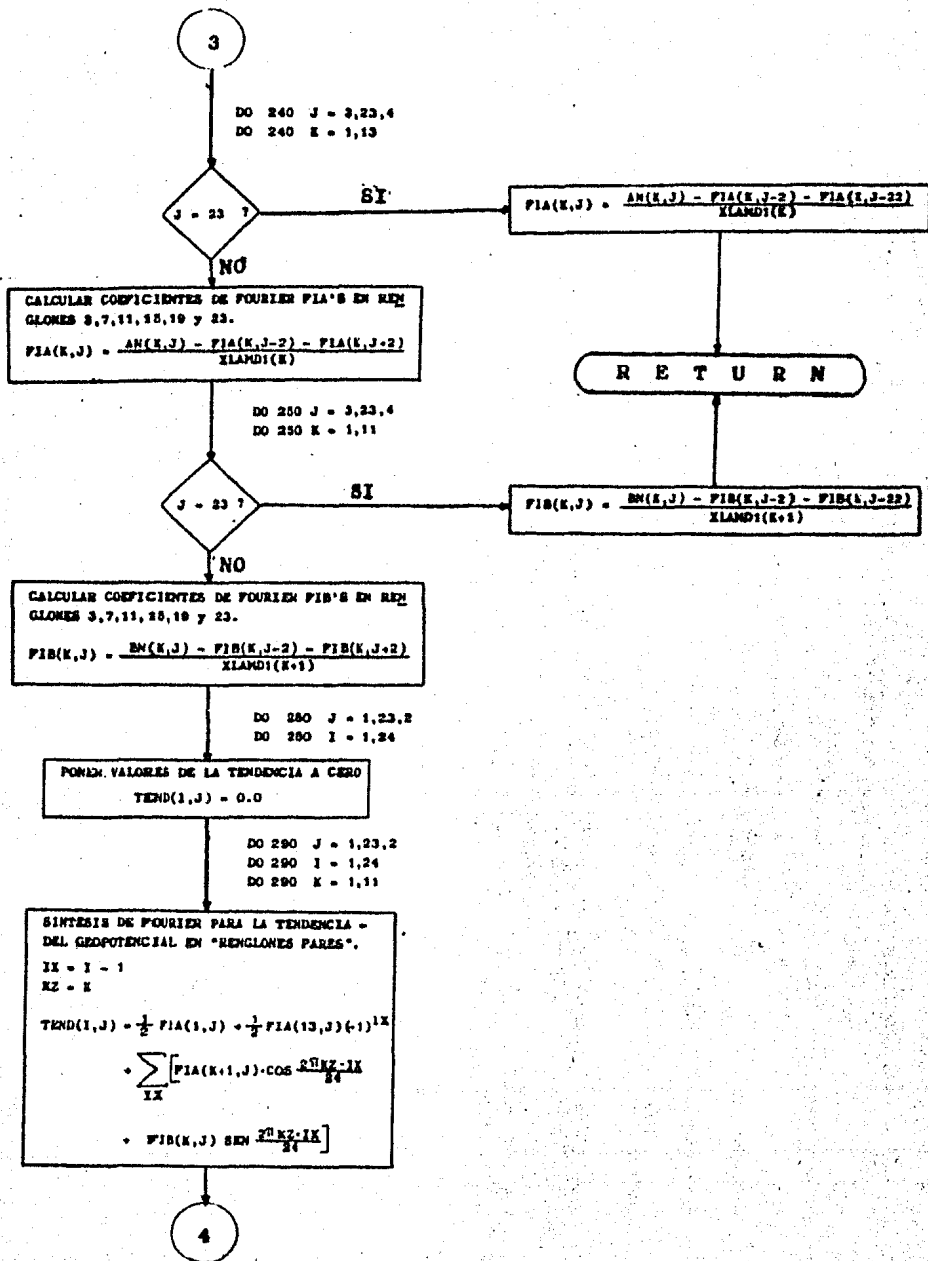
NO

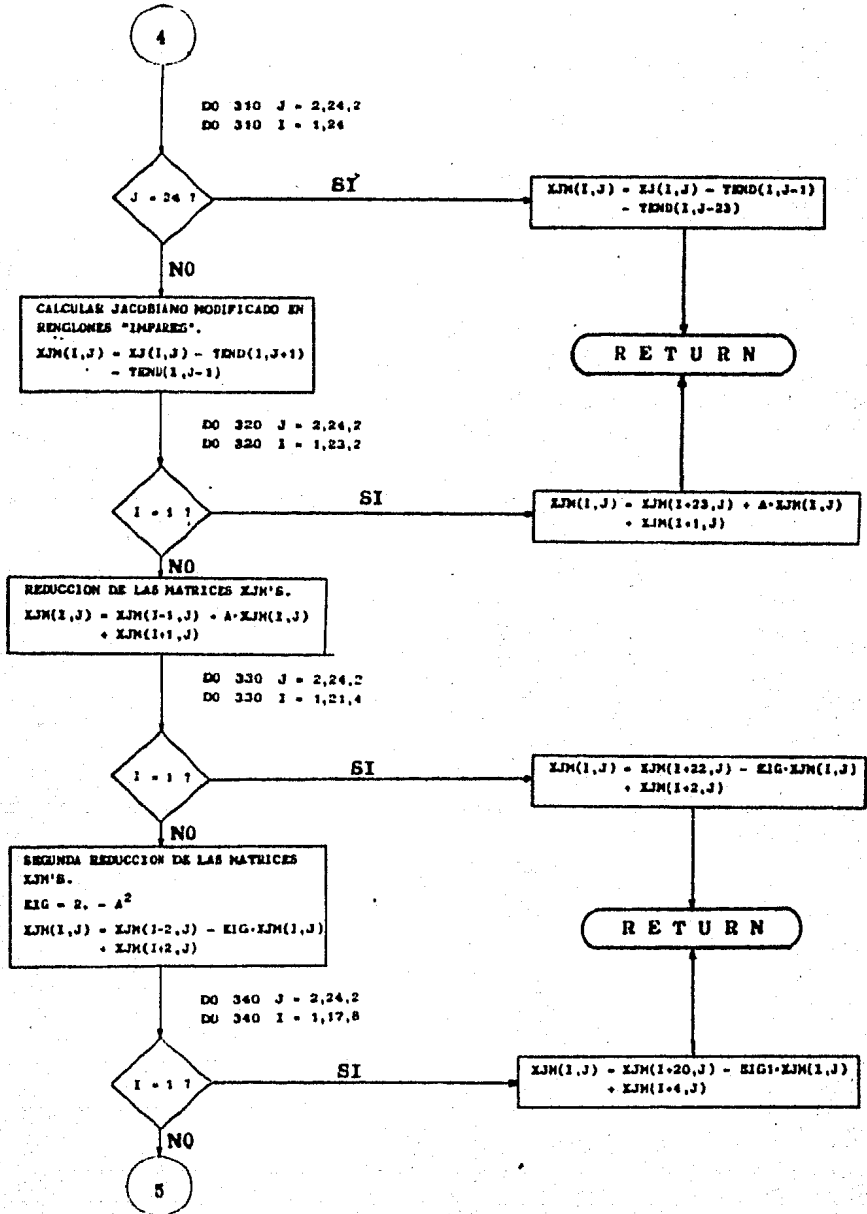
CALCULAR LOS COEFICIENTES DE FOURIER FIB'S PARA LA TENDENCIA EN REGLONES 5, 13 y 21.

$$FIB(K, J) = \frac{BN(K, J) - FIB(K, J-4) - FIB(K, J-4)}{\lambda_{LANDJ}(K+1)}$$

3

RETURN





5

TERCERA REDUCCION DE LAS MATRICES XJM'S.
 $EIG1 = 2. - EIG^2$
 $XJM(1,J) = XJM(1-4,J) - EIG1 \cdot XJM(1,J) + XJM(1+4,J)$

DO 360 J = 2,24,2

CALCULAR LA TENDENCIA DEL GEOPOTENCIAL EN LOS PUNTOS 1, 9 y 17 DE LOS RENGLONES "IMPARES".
 $EIG2 = 2. - EIG1^2$
 $TEND(1,J) = \frac{(EIG2 + 1) \cdot XJM(1,J) - XJM(9,J) - XJM(17,J)}{EIG2(EIG2 + 1) - 2}$
 $TEND(9,J) = \frac{(EIG2 + 1) \cdot XJM(9,J) - XJM(1,J) - XJM(17,J)}{EIG2(EIG2 + 1) - 2}$
 $TEND(17,J) = \frac{(EIG2 + 1) \cdot XJM(17,J) - XJM(1,J) - XJM(9,J)}{EIG2(EIG2 + 1) - 2}$

DO 370 J = 2,24,2
DO 370 I = 5,21,8

I = 5 ?

SI

$TEND(1,J) = \frac{XJM(1,J) - TEND(1-4,J) - TEND(1-20,J)}{EIG1}$

NO

CALCULAR LA TENDENCIA DEL GEOPOTENCIAL EN LOS PUNTOS 8, 13 y 21 DE LOS RENGLONES "IMPARES".
 $TEND(1,J) = \frac{XJM(1,J) - TEND(1-4,J) - TEND(1+4,J)}{EIG1}$

DO 380 J = 2,24,2
DO 380 I = 3,13,4

I = 23 ?

SI

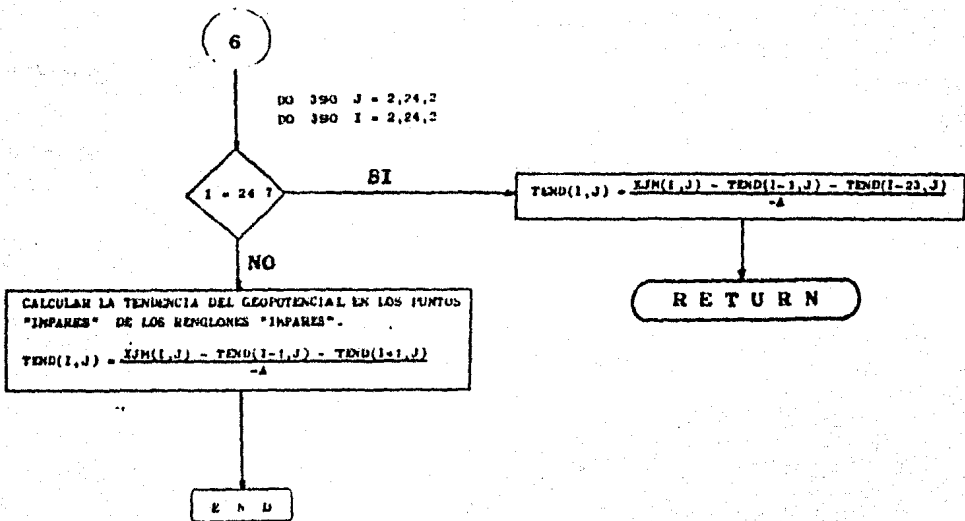
$TEND(1,J) = \frac{XJM(1,J) - TEND(1-2,J) - TEND(1-22,J)}{EIG}$

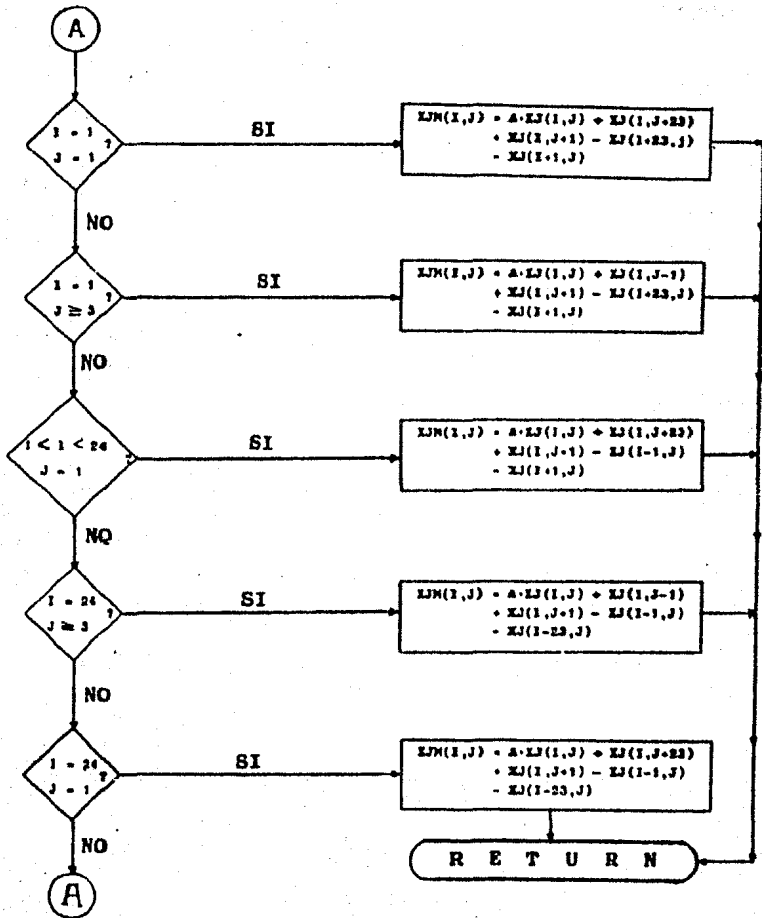
NO

CALCULAR LA TENDENCIA DEL GEOPOTENCIAL EN LOS PUNTOS 3, 7, 11, 15, 19 y 23 DE LOS RENGLONES "IMPARES".
 $TEND(1,J) = \frac{XJM(1,J) - TEND(1-2,J) - TEND(1+2,J)}{EIG}$

6

RETURN





3.4 Una función teórica para el geopotencial, la vorticidad, el Jacobiano y la tendencia del geopotencial.

Para probar los métodos numéricos desarrollados antes, es necesario contar con una función teórica que sea perfectamente manejable, a la cual se le puedan fijar parámetros a fin de realizar experimentos numéricos de sensibilidad que puedan demostrar la eficiencia de uno u otro método, ya que una función teórica permite conocer en forma exacta los valores de las primeras y segundas derivadas involucradas en el Jacobiano y Vorticidad. El Dr. Kikuro Miyakoda, (referencia 4), ha elaborado una función teórica a la que se le pueden añadir o quitar vórtices a voluntad. Este trabajo utiliza la función de Miyakoda modificada, siendo la siguiente:

$$\phi(x,y) = C - uy - vy^2 + wy^3 + A \text{ Sen } kx + B \text{ Cos } lx - E \text{ Cos } mx \text{ Sen } ny \quad (3.1)$$

donde los valores encontrados como apropiados para las constantes son:

C = 700	E = 200
u = 12	k = 1/2
v = 3	l = 1/2
w = 0.1	m = 1/20
A = 100	n = 1/12
B = 40	

y la región elegida como área de trabajo cubre una malla 24 x 24, donde

$$x \in [-5, 28] \quad , \quad y \in [-13, 12]$$

Puesto que la ecuación que se desea resolver y verificar para los métodos numéricos antes estudiados involucra el conocimiento previo del geopotencial, (ec. 3.1), la vorticidad, el jacobiano y la tendencia, será necesario deter

cada uno de ellos. Utilizando las relaciones geostróficas se tiene para la vorticidad

$$\zeta_g = \frac{1}{f_0} v^2 \theta(x,y) - \frac{1}{f_0} \left[\frac{\partial^2 \theta(x,y)}{\partial x^2} + \frac{\partial^2 \theta(x,y)}{\partial y^2} \right] =$$

$$= \frac{1}{f_0} \left[-2v + 6wy - Ak^2 \text{Sen } kx - B1^2 \text{Cos } lx \right.$$

$$\left. + E(m^2 + n^2) \text{Cos } mx \text{Sen } ny \right] \quad (3.2)$$

El Jacobiano (geopotencial, vorticidad absoluta) es:

$$J(\theta, \eta) = \frac{\partial \theta}{\partial x} \frac{\partial}{\partial y} (\zeta + f) - \frac{\partial \theta}{\partial y} \frac{\partial}{\partial x} (\zeta + f) =$$

$$= \frac{1}{f_0} \left\{ \underbrace{[Ak(6w + \beta f_0) - Ak^3 u]}_{A'} \text{Cos } kx + \right.$$

$$\left. \underbrace{[-B1(6w + \beta f_0) + B1^3 u]}_{B'} \text{Sen } lx - \underbrace{(2Ak^3 v)}_{C'} y \text{Cos } kx + \right.$$

$$\left. \underbrace{(3Ak^3 w)}_{D'} y^2 \text{Cos } kx + \underbrace{(2B1^3 v)}_{E'} y \text{Sen } lx - \underbrace{(3B1^3 w)}_{F'} y^2 \text{Sen } lx + \right.$$

$$\left. \underbrace{[Em(6w + \beta f_0) - Emu(m^2 + n^2)]}_{G'} \text{Sen } mx \text{Sen } ny - \right.$$

$$\left. \underbrace{[2Emv(m^2 + n^2)]}_{H'} y \text{Sen } mx \text{Sen } ny + \right.$$

$$\left. \underbrace{[3Emw(m^2 + n^2)]}_{I'} y^2 \text{Sen } mx \text{Sen } ny + \right.$$

$$\left. \underbrace{[Ake n(m^2 + n^2) - Ak^3 En]}_{J'} \text{Cos } kx \text{Cos } mx \text{Cos } ny + \right.$$

$$\left. \underbrace{[-B1En(m^2 + n^2) + B1^3 En]}_{K'} \text{Sen } lx \text{Cos } mx \text{Cos } ny \right\} \quad (3.3)$$

donde la vorticidad absoluta $\eta = (\zeta + f)$, y se ha considerado además la aproximación beta-plana, i.e.,

$$\frac{\partial f}{\partial x} = 0 \quad y \quad \frac{\partial f}{\partial y} \approx \beta = 2 \Omega \cos 30^\circ$$

suponiendo la latitud de 30° como la representativa. Las mayúsculas primadas que aparecen bajo los coeficientes de las funciones de x e y serán en lo sucesivo utilizadas para mayor brevedad.

El siguiente paso será encontrar la función tendencia del geopotencial_ utilizando como miembro derecho de la ecuación de Helmholtz, la relación -- (3.3), i.e.,

$$\nabla^2 \chi(x,y) - M \chi(x,y) = J(\theta, \eta) \quad (3.4)$$

donde para fines prácticos $M \ll 1$, siendo uno de los objetivos del presente_ trabajo la determinación empírica de éste parámetro, sin embargo, un valor - tentativo de acuerdo con la teoría es $M \cdot D^2 = 4.4322 \times 10^{-3}$, donde D es el espaciado de la malla, siendo del orden de 231 km. para el presente caso.

A fin de encontrar la tendencia teórica en (3.4), es posible dividir el Jacobiano (3.3) en funciones tales que

$$J(\theta, \eta) = J_1(x,y) + J_2(x,y) + J_3(x,y) + \dots + J_{11}(x,y) \quad (3.5)$$

donde

$J_1(x,y) = A' \cos kx$	$J_7(x,y) = G' \sin mx \sin ny$
$J_2(x,y) = B' \sin lx$	$J_8(x,y) = H' y \sin mx \sin ny$
$J_3(x,y) = C' y \cos kx$	$J_9(x,y) = I' y^2 \sin mx \sin ny$
$J_4(x,y) = D' y^2 \cos kx$	$J_{10}(x,y) = J' \cos kx \cos mx \cos ny$
$J_5(x,y) = E' y \sin lx$	$J_{11}(x,y) = K' \sin lx \cos mx \cos ny$
$J_6(x,y) = F' y^2 \sin lx$	

con lo que es posible subdividir la ec. (3.4) en ecuaciones que satisfagan - idénticamente las relaciones

$$\begin{aligned}
\nabla^2 \chi_1 - M \chi_1 &= J_1(x,y) \\
\nabla^2 \chi_2 - M \chi_2 &= J_2(x,y) \\
\nabla^2 \chi_3 - M \chi_3 &= J_3(x,y) \\
\vdots & \\
\vdots & \\
\vdots & \\
\nabla^2 \chi_{11} - M \chi_{11} &= J_{11}(x,y)
\end{aligned}
\tag{3.6}$$

y la solución a la ec. (3.4) será entonces

$$\chi = \chi_1 + \chi_2 + \chi_3 + \dots + \chi_{11}
\tag{3.7}$$

Puesto que las funciones involucradas en (3.5) son todas del tipo trigonométrico, la inversión de los Laplacianos en las ecuaciones (3.6) son relativamente sencillos, así por ejemplo, para la primera de ellas

$$\nabla^2 \chi_1 - M \chi_1 = A' \cos kx
\tag{3.8}$$

se encuentra que

$$\chi_1 = \frac{-A'}{M + k^2} \cos kx$$

satisface idénticamente a la ec. (3.8) de manera única y es válida para toda A' , para toda x y para toda k dadas.

Procediendo de igual manera para todas las ecuaciones en (3.6), se llega al conocimiento de la tendencia teórica planteada en (3.7), i.e.,

$$\begin{aligned}
\chi(x,y) = & \frac{-A'}{M+k^2} \text{Cos } kx - \frac{B'}{M+l^2} \text{Sen } lx - \frac{C'}{M+k^2} y \text{ Cos } kx \\
& - \frac{D'}{(k^2+M)^2} \left[(k^2+M) y^2 \text{Cos } kx + 2 \text{Cos } kx \right] - \frac{E'}{M+l^2} y \text{ Sen } lx \\
& - \frac{F'}{(M+l^2)^2} \left[(M+l^2) y^2 \text{Sen } lx + 2 \text{Sen } lx \right] \\
& - \frac{G'}{m^2+n^2+M} \text{Sen } mx \text{ Sen } ny \\
& - \frac{H'}{(m^2+n^2+M)^2} \left[(m^2+n^2+M) y \text{ Sen } mx \text{ Sen } ny + 2n \text{ Sen } mx \text{ Cos } ny \right] \\
& - \left[\frac{y^2}{m^2+n^2+M} + \frac{2}{(m^2+n^2+M)^2} - \frac{8n^2}{(m^2+n^2+M)^3} \right] I' \text{ Sen } mx \text{ Sen } ny \\
& - \frac{4n}{(m^2+n^2+M)^2} I' y \text{ Sen } mx \text{ Cos } ny + S J' \text{ Cos } kx \text{ Cos } mx \text{ Cos } ny \\
& + R J' \text{ Sen } kx \text{ Sen } mx \text{ Cos } ny + S' K' \text{ Sen } lx \text{ Cos } mx \text{ Cos } ny \\
& - R' K' \text{ Cos } lx \text{ Sen } mx \text{ Cos } ny
\end{aligned}$$

(3.9)

donde

$$R = \left[\frac{1}{1 - \frac{(m^2+n^2+l^2+M)^2}{4m^2k^2}} - 1 \right] (m^2+n^2+l^2+M)^{-1}$$

$$S = \left[2mk - \frac{(m^2+n^2+l^2+M)^2}{2mk} \right]^{-1}$$

$$R' = \left[\frac{1}{1 - \frac{(m^2+n^2+l^2+M)^2}{4m^2l^2}} - 1 \right] (m^2+n^2+l^2+M)^{-1}$$

$$S' = \left[2ml - \frac{(m^2+n^2+l^2+M)^2}{2ml} \right]^{-1}$$

3.5 Gráficas de las funciones teóricas.

LETRAS DE LOS SÍMBOLOS
SÍMBOLO INFERIOR SUPERIOR

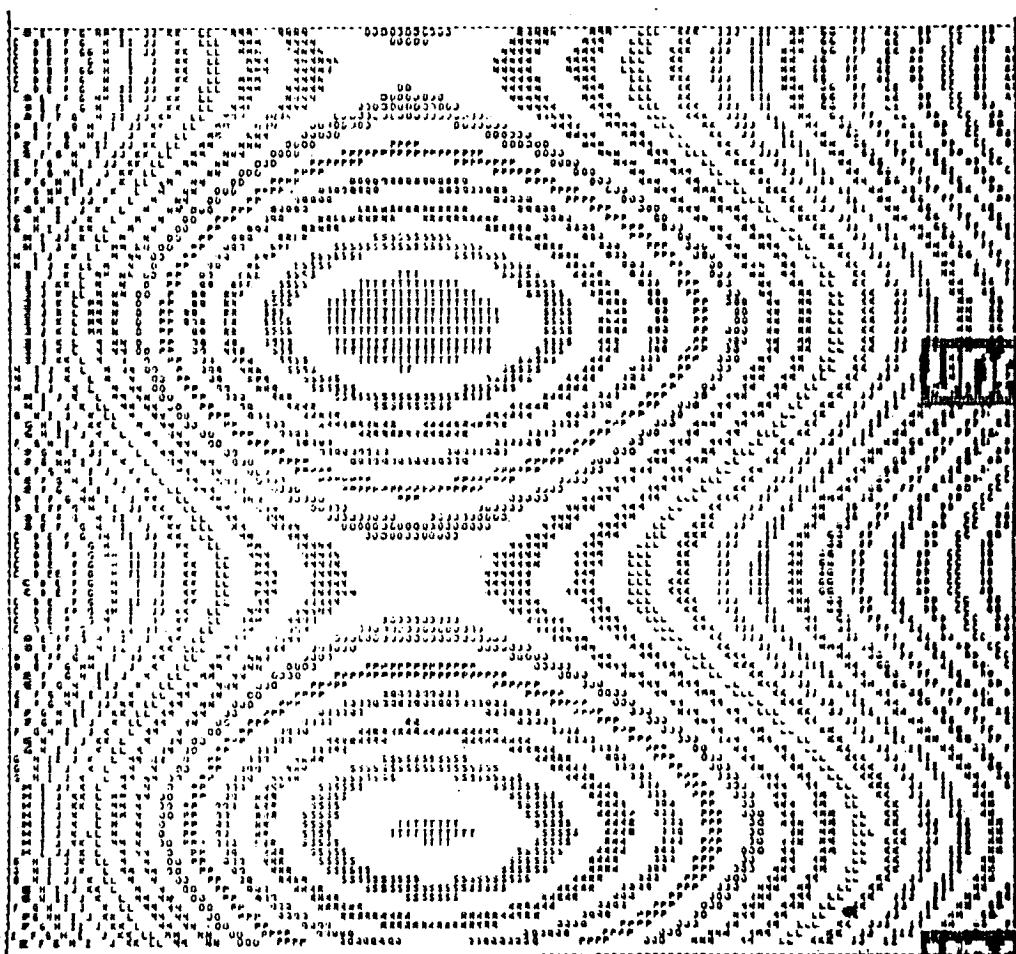


Fig. 3.5.1
Campo geopotencial de la función teórica generada por el Dr. Miyakoda, (ec. 3.1) y que servirá de campo inicial para análisis teóricos.

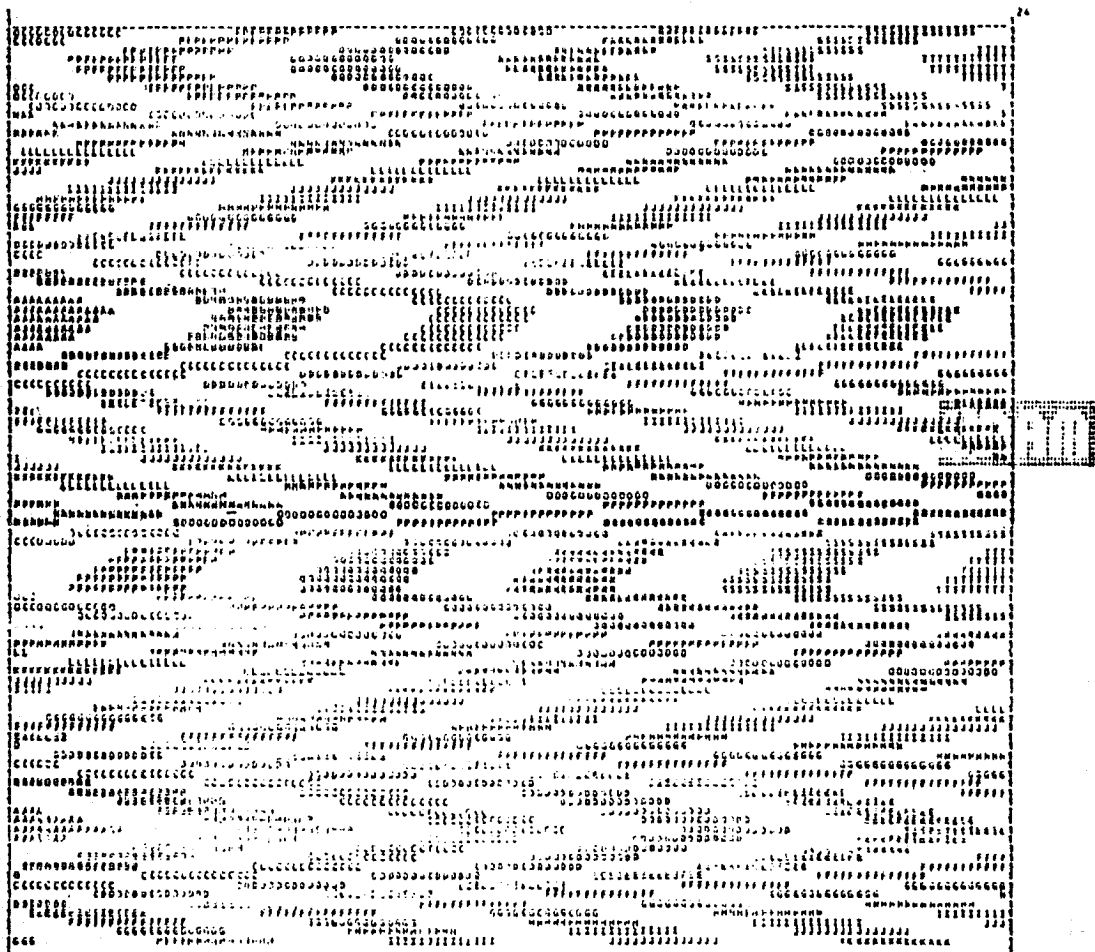


Fig. 3.5.2

Campo de vorticidad obtenido a partir del geopotencial de la fig. 3.5.1, usando una vorticidad geostrófica. Se utilizará para calcular el Jacobiano correspondiente.

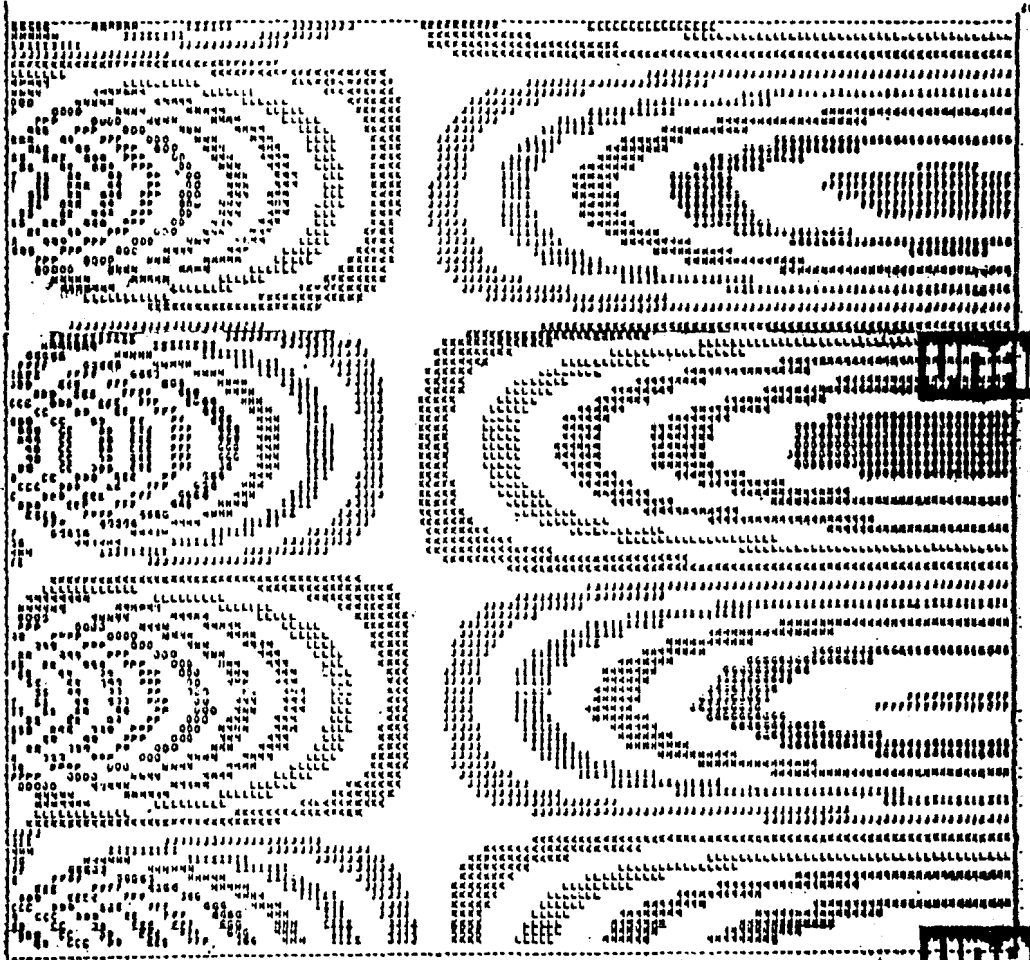


Fig. 3.5.3

Gráfica del Jacobiano calculado a partir de la ec. 3.5 y que servirá como miembro derecho de la ec. de Helmholtz, para las 3 formas de calcular la tendencia: Teórica, con sobrerrelajación y con análisis de Fourier.

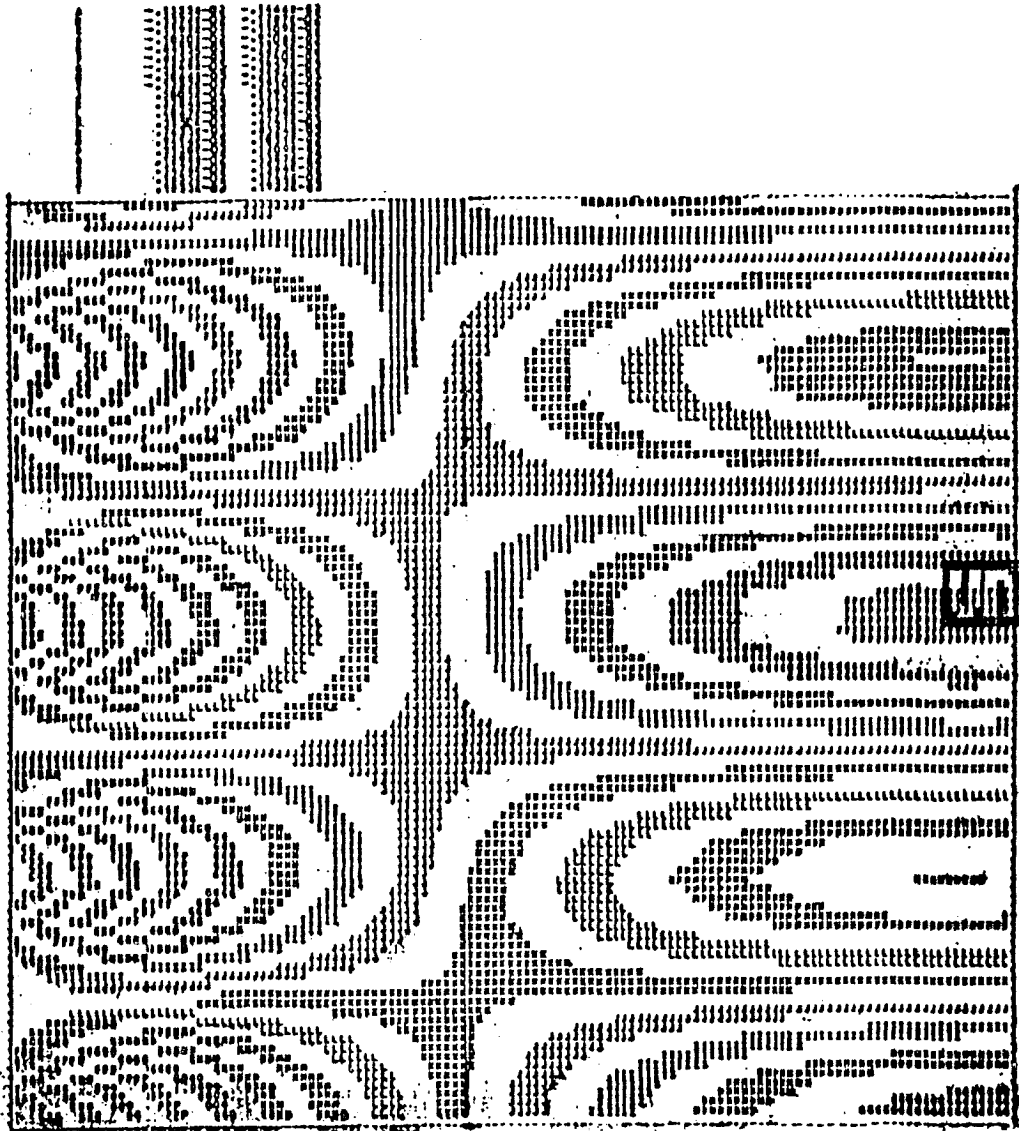


Fig. 3.5.4
Tendencia del geopotencial, calculada a partir de la ec. 3.9; siendo una función analítica, - servirá para comparar los resultados obtenidos con los métodos numéricos: Análisis de Fourier y sobrerrelajación.

3.6 Solución de la ecuación de Helmholtz usando métodos numéricos.

LISTA DE LOS SIMBOLOS SUPERIORES

SIMBOLOS	SUPERIORES
A	0
B	1
C	2
D	3
E	4
F	5
G	6
H	7
I	8
J	9
K	0
L	1
M	2
N	3
O	4
P	5
Q	6
R	7
S	8
T	9
U	0
V	1
W	2
X	3
Y	4
Z	5
[6
]	7
{	8
}	9
~	0
^	1
_	2
`	3
~	4
^	5
_	6
`	7
~	8
^	9
_	0
`	1
~	2
^	3
_	4
`	5
~	6
^	7
_	8
`	9

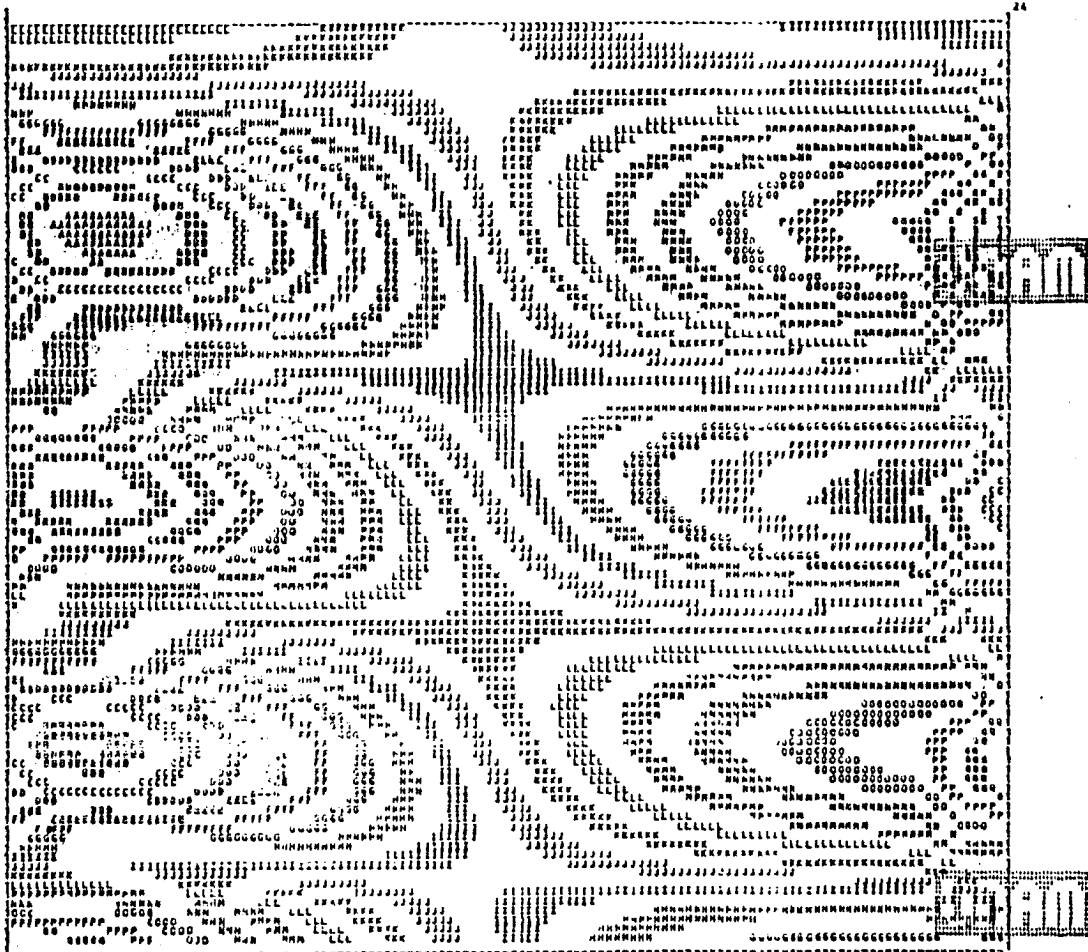


Fig. 3.6.1

Campo de la tendencia, resultante de resolver la ec. de Helmholtz usando el método de sobrerrelajación con el programa de la sección 3.2. Se deberá comparar con el resultado obtenido en la figura 3.5.4.

NOTAS DE LOS SÍMBOLOS
 SIMBOLS SUPERIOR SUPLENDA

NOTAS DE LOS SÍMBOLOS	SIMBOLS SUPERIOR	SUPLENDA
AAAA	AAAA	AAAA
BBBB	BBBB	BBBB
CCCC	CCCC	CCCC
DDDD	DDDD	DDDD
EEEE	EEEE	EEEE
FFFF	FFFF	FFFF
GGGG	GGGG	GGGG
HHHH	HHHH	HHHH
IIII	IIII	IIII
JJJJ	JJJJ	JJJJ
KKKK	KKKK	KKKK
LLLL	LLLL	LLLL
MMMM	MMMM	MMMM
NNNN	NNNN	NNNN
OOOO	OOOO	OOOO
PPPP	PPPP	PPPP
QQQQ	QQQQ	QQQQ
RRRR	RRRR	RRRR
SSSS	SSSS	SSSS
TTTT	TTTT	TTTT
UUUU	UUUU	UUUU
VVVV	VVVV	VVVV
WWWW	WWWW	WWWW
XXXX	XXXX	XXXX
YYYY	YYYY	YYYY
ZZZZ	ZZZZ	ZZZZ
AAAA	AAAA	AAAA
BBBB	BBBB	BBBB
CCCC	CCCC	CCCC
DDDD	DDDD	DDDD
EEEE	EEEE	EEEE
FFFF	FFFF	FFFF
GGGG	GGGG	GGGG
HHHH	HHHH	HHHH
IIII	IIII	IIII
JJJJ	JJJJ	JJJJ
KKKK	KKKK	KKKK
LLLL	LLLL	LLLL
MMMM	MMMM	MMMM
NNNN	NNNN	NNNN
OOOO	OOOO	OOOO
PPPP	PPPP	PPPP
QQQQ	QQQQ	QQQQ
RRRR	RRRR	RRRR
SSSS	SSSS	SSSS
TTTT	TTTT	TTTT
UUUU	UUUU	UUUU
VVVV	VVVV	VVVV
WWWW	WWWW	WWWW
XXXX	XXXX	XXXX
YYYY	YYYY	YYYY
ZZZZ	ZZZZ	ZZZZ

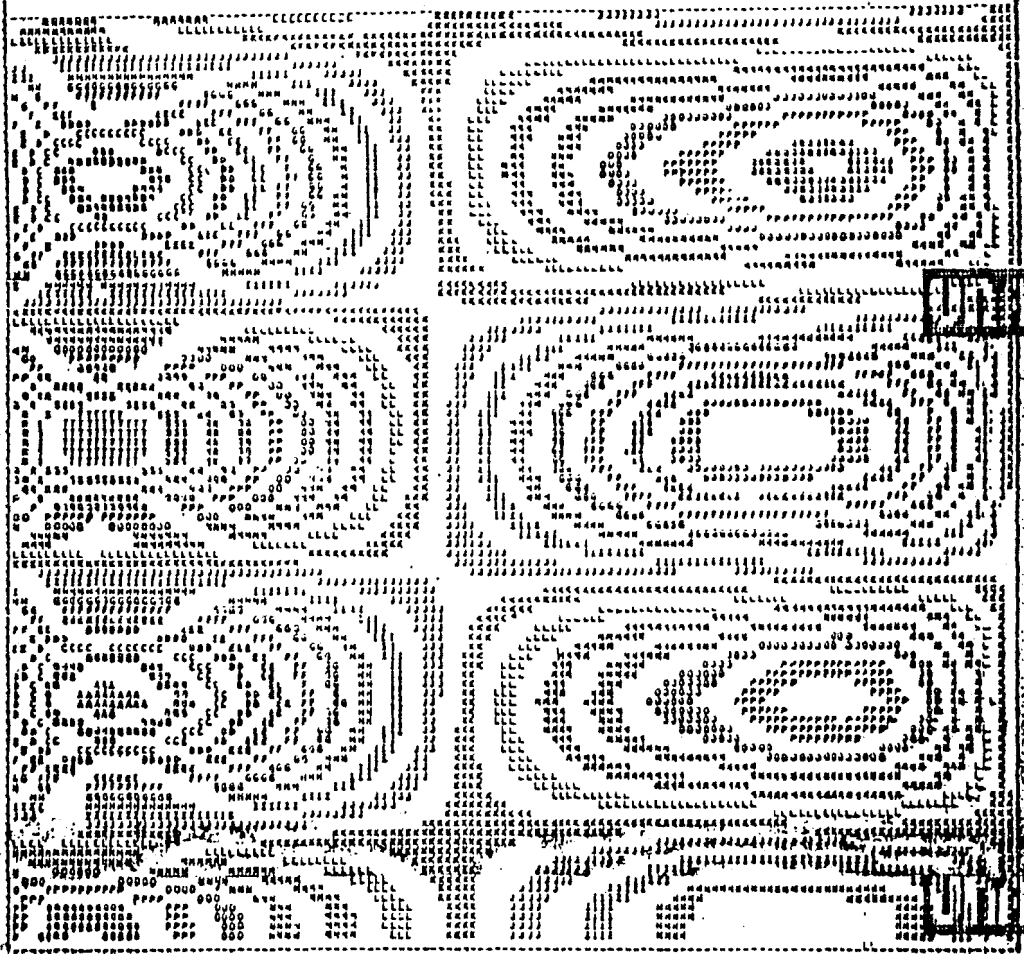


Fig. 3.6.2
 Gráfica de la tendencia, resultante de resolver la ec. de Helmholtz usando análisis de Fourier con el programa de la sección 3.3. Se deberá -- comparar con la figura 3.5.4

COTAS DE LOS SÍMBOLOS SUPERIORES
 SÍMBOLO INTERIOR SUPERIOR

A
B
C
D
E
F
G
H
I
J
K
L
M
N
O
P
Q
R
S
T
U
V
W
X
Y
Z

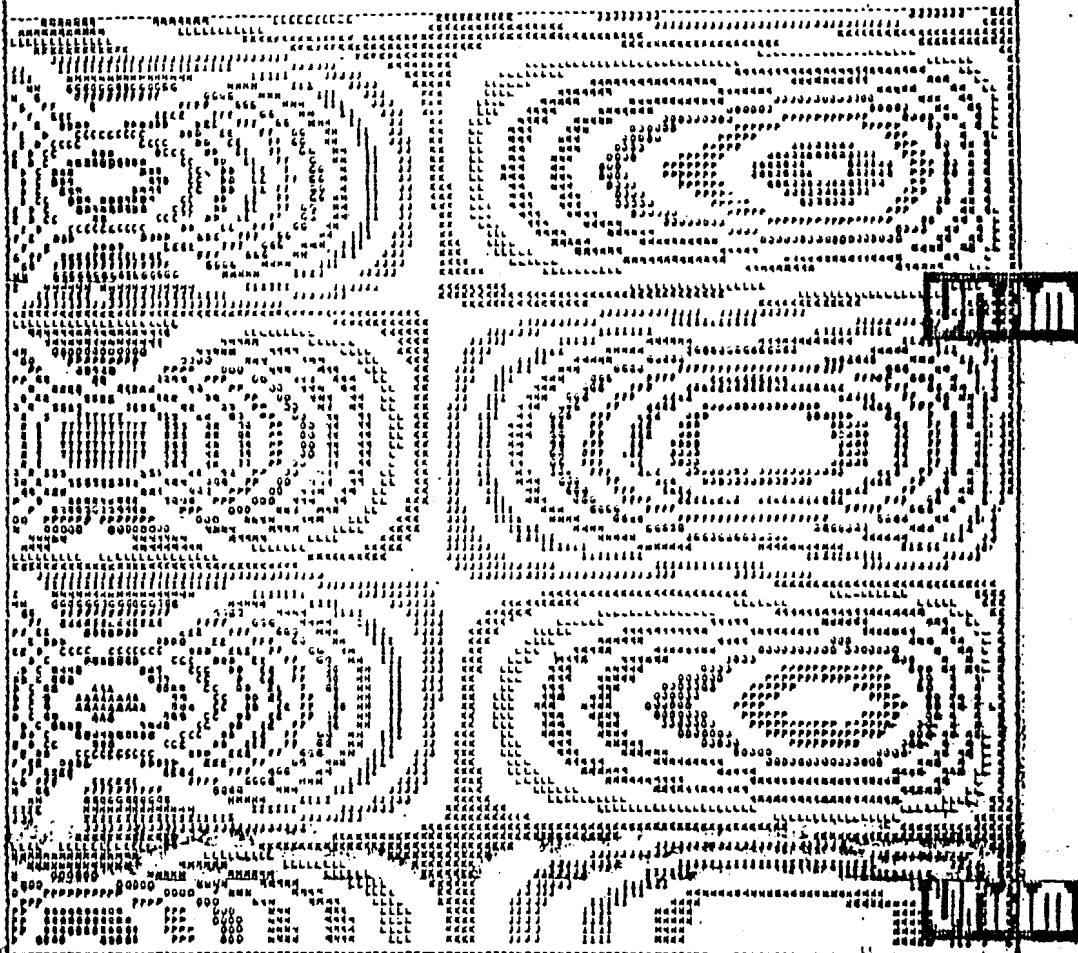


Fig. 3.6.2
 Gráfica de la tendencia, resultante de resolver la ec. de Helmholtz usando análisis de Fourier con el programa de la sección 3.3. Se deberá -- comparar con la figura 3.5.4

3.7 Análisis cualitativo y cuantitativo de ambos métodos Vs. el resultado teórico, Gráficas.

ANALISIS CUALITATIVO.

Las figuras 3.5.4 , 3.6.1 y 3.6.2, corresponden a los campos de tendencia del geopotencial, calculados analíticamente, con SOR y RCR, respectivamente.

Analizando visualmente los campos en las figuras 3.5.4 y 3.6.1, -teórica Vs. SOR-, y las figuras 3.5.4 con 3.6.2 , -teórica Vs. RCR-, se encontró:

- a).- Los sistemas en ambos casos coinciden en número, posición, intensidad y signo.
- b).- Difieren solo en las fronteras norte y sur, siendo la zona anómala del orden de un Δx .

ANALISIS CUANTITATIVO.

Para hacer una comparación objetiva se desarrolló un programa -no presentado en este trabajo-, que calcula lo siguiente:

- a).- La matriz de diferencias entre dos campos.
- b).- La norma euclidiana de la matriz de diferencias resultante;

donde los elementos de la matriz de diferencias estan dados por

$$a_{i,j} = \chi_{i,j}^T - \chi_{i,j}^N$$

con

$\chi_{i,j}^T$ = valores de la tendencia teórica y

$\chi_{i,j}^N$ = valores de la tendencia calculada por alguno de los dos métodos numéricos desarrollados antes,

siendo la norma euclidiana

$$\|A\| = \left[\sum_{i=1, j=1}^{24, 24} a_{i,j}^2 \right]^{1/2}$$

donde $a_{i,j}$ son los elementos de la matriz de diferencias "A".

Las figuras 3.7.1 y 3.7.2 muestran las matrices de diferencias de los campos de tendencia Teórica - SOR y Teórica - RCR y sus respectivos valores de norma euclidiana.

NORMA EUCLIDIANA DE LAS DIFERENCIAS * 0.00689

SIMBOLO COTAS DE LOS SIMBOLOS INFERIOR SUPERIOR

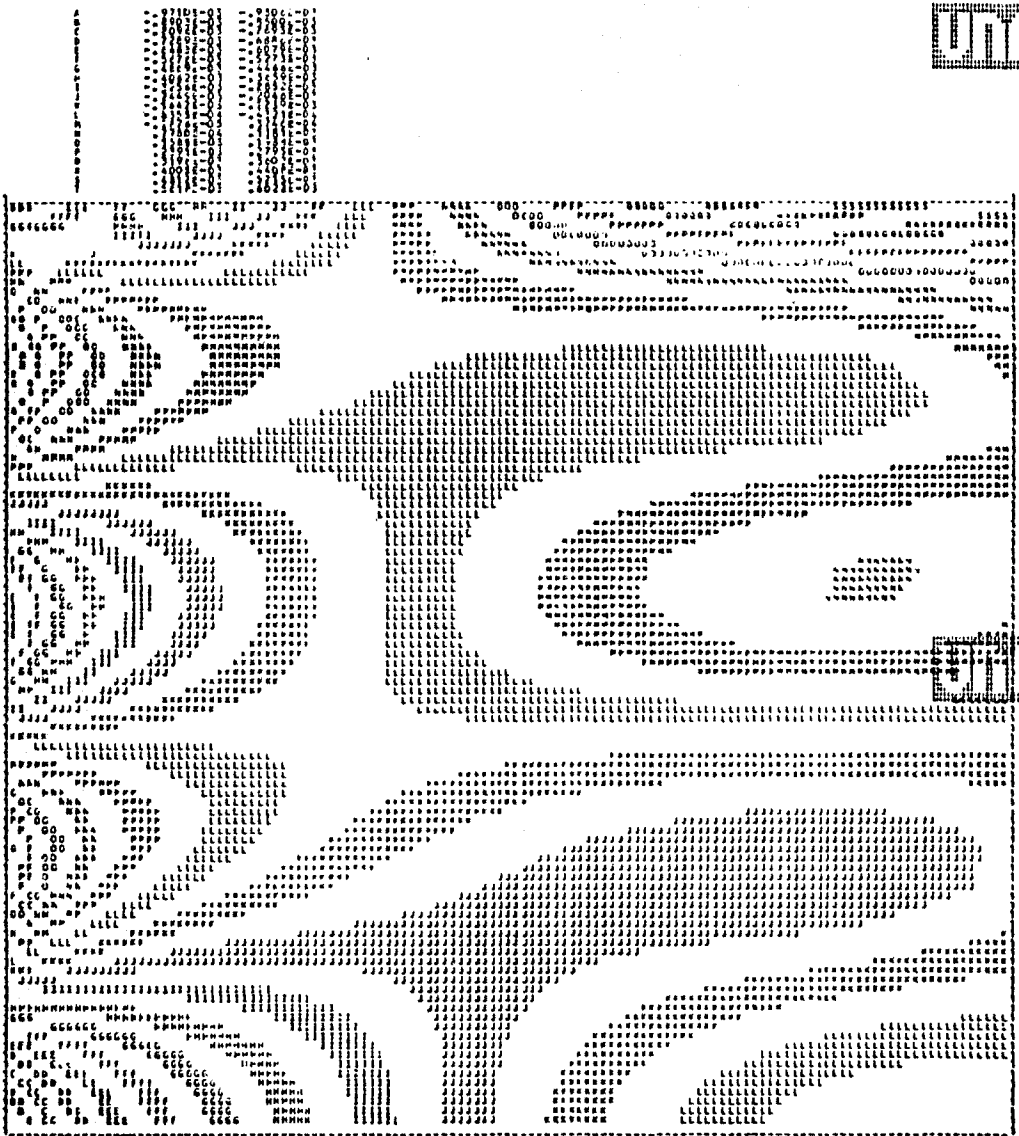


Fig. 3.7.1

Gráfica resultante de la matriz de diferencias entre la tendencia calculada analíticamente y la calculada mediante el método de sobrerrelajación.

ACRPPA LUCIDIANA DE LAS DIFERENCIAS * 0,00688

COPIA DE LOS SÍMBOLOS
 SIMBOLO INFERIOR SUPERIOR

1	1	1
2	2	2
3	3	3
4	4	4
5	5	5
6	6	6
7	7	7
8	8	8
9	9	9
0	0	0
A	A	A
B	B	B
C	C	C
D	D	D
E	E	E
F	F	F
G	G	G
H	H	H
I	I	I
J	J	J
K	K	K
L	L	L
M	M	M
N	N	N
O	O	O
P	P	P
Q	Q	Q
R	R	R
S	S	S
T	T	T
U	U	U
V	V	V
W	W	W
X	X	X
Y	Y	Y
Z	Z	Z

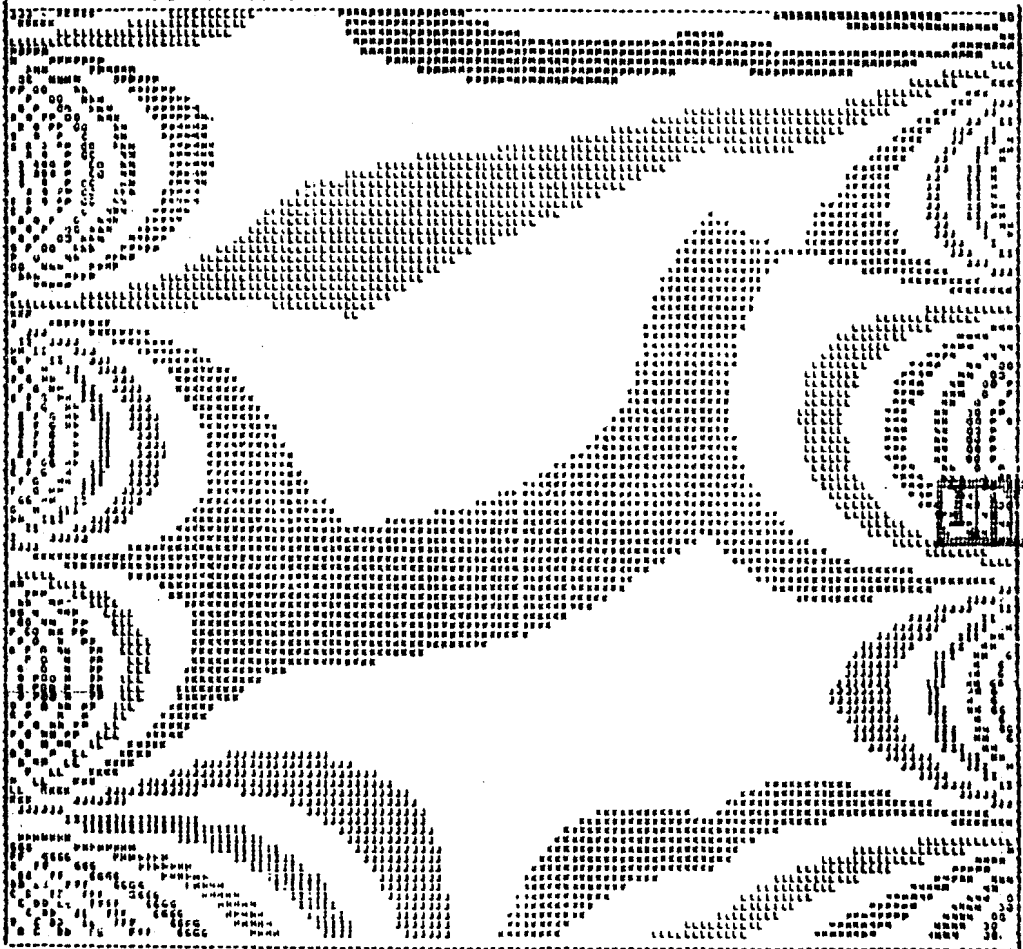


Fig. 3.7.2

Gráfica resultante de la matriz de diferencias entre la tendencia calculada analíticamente y la calculada mediante análisis de Fourier.

CAPITULO 4

UN PRONOSTICO EN TIEMPO REAL

4.1 Introducción.

El modelo generado en el primer capítulo, y los métodos numéricos desarrollados en los capítulos 2 y 3 serán ahora utilizados con datos de geopotencial observados, entendiéndose esto como "pronóstico en tiempo real", ello significa que están lo suficientemente probados y listos -- para usarse operacionalmente. Se analizan también los métodos seguidos -- para determinar el área válida de integración, el parámetro de Helmholtz y el período de validez de pronóstico. La integración numérica se realiza con los dos métodos desarrollados en este trabajo, -- iterativo y directo-. Por último, se analizan los resultados obtenidos y las conclusiones generales.

4.2 Programa y diagrama de flujo.

El esquema lógico del programa de integración numérica tiene la secuencia siguiente:

- 1.- Datos: Se tiene el campo geopotencial inicial $\phi_{i,j}^{(t_0)}$ en todos los puntos de la malla.
- 2.- Se calcula el Jacobiano, ec. 1.33, en todos los puntos del enrejado, utilizando como datos el geopotencial inicial, con el que se calcula una vorticidad desarrollada por Shumann, (referencia 1), la cual es una ecuación semibalancada, que mejora notablemente la relación geostrófica, i.e.,

$$\zeta_{\text{Shumann}} = \frac{1}{f} \nabla^2 \phi - \frac{1}{f^2} (\bar{\nabla} f) \cdot (\bar{\nabla} \phi)$$

- 3.- Se determina la tendencia del geopotencial $\chi_{i,j}$ mediante alguno de los métodos numéricos, -Sobrerrelajación o Análisis de Fourier- .
- 4.- Se calcula un nuevo geopotencial $\phi_{i,j}^{(t_1)}$, extrapolando en el tiempo la tendencia, usando diferencias centradas, excepto - en el primer paso de tiempo, en el que se utilizan diferencias adelantadas, i.e.,

$$\phi(t_1) = \phi(t_0) + \Delta t \cdot \chi \quad , \text{ para el primer paso de tiempo y}$$

$$\phi(t_n) = \phi(t_{n-1}) + 2 \Delta t \chi \quad , \text{ para } t \text{ mayor que } t_1 .$$

- 5.- El nuevo geopotencial es ahora utilizado como dato inicial, repitiendo todos los pasos una y otra vez, hasta alcanzar el período de pronóstico deseado.

4.2.1 PROGRAMA PREDICION

```

#WORKSOURCE ALREADY SAVED
#WORKFILE ZPREDICION24: FORTRAN, 564 RECORDS, SAVED
100 FILE 4-ESCR UNIT-PRINTER,RECORD-22
105 FILE 3-GRANT,UNIT-DISK,RECORD-14,BLOCKING-30,AREA-15,SAVE-30
110 FILE 4-DAGBEP,UNIT-DISK,RECORD-14,BLOCKING-30,AREA-15,SAVE-30
115 FILE 5-DLAT24,UNIT-DISK,RECORD-14,BLOCKING-30,AREA-15,SAVE-30
120 FILE 7-DLAT1,UNIT-DISK,RECORD-14,BLOCKING-30,AREA-15,SAVE-30
125 FILE 2-DLAT4,UNIT-DISK,RECORD-14,BLOCKING-30,AREA-15,SAVE-30
130 DIBENSIUN XA(24,24),YAB(24,24),FCOR(24,24),TIME(4),XBC(24,24)
135 * TBI(24,24),YOSH(24,24),XIA(576),XC(24,24),TIME(4),XLAB(24,24)
140 * (24,24),XE(24,24),BEI(24,24),XJBC(24,24),HAGC(24,24),TB(24,24)
145 * DGE(24,24,24),DLAT24(24,24),G1A(24,24),H1BC(24,24)
150 * A(576),GEO24(576),XXLAB(576)
155 REAL
160 READ(4,705) ( GEP24(I), J=1,576 )
165 705 FORMAT(14)
170 READ(5,706) ( XXLAB(I), J=1,576 )
175 706 FORMAT(F5.1)
180 ~ DO 1002 I=1,576
185 A(I)=COS(XXLAB(I))*3.1416/180.0)
190 IF(A(I).LE.0) WRITE(6,1003) I
195 1002 CONTINUE
200 1003 FORMAT(///,20X,' * I= ',14)
205 DO 903 I=1,24
210 DO 903 J=1,24
215 DGE024(I,J)=GEO24(24*(I-1)+J)
216 IF(I.EQ.21) DGE024(I,J)=000
217 IF(I.EQ.22) DGE024(I,J)=250
218 IF(I.EQ.23) DGE024(I,J)=800
220 903 CONTINUE
225 CALL ESCRIBO(24,24,DGE024)
230 DO 904 I=1,24
235 DO 904 J=1,24
240 DLAT24(I,J)=XLAT(24*(I-1)+J)
245 904 CONTINUE
250 Z CALL ESCRIBO(24,24,DLAT24)
255 ZCONSTANTES UTILIZADAS HKS
260 Z
265 H = 0.2/E-14
270 13 G=9.806
275 P=0.716
280 B=2.31.423E3
285 K=207.0
290 A0=1.13
295 TG=253.0
300 FI=3.1416
305 OMEG=7.29211E-5
310 BETA=2.040MEGACOS(30.04PI/180.0)*(1.076.37E6)
315 WRITE(6,732) H
320 732 FORMAT(///,30X,' * CORRIDA CON H= ',F12.4,2X,/)
325 Z
330 ZCALCULO DE CONSTANTES
335 Z
340 D2=D4D
345 COL=(60.0*PI)/180.0
350 TA=SIN(COL*0.5)/COS(COL*0.5)
355 F10=(30.0*PI)/180.0
360 EFEO=2.40MEGASIN(F10)
365 XM=(LFE0*EFEO*A0)/(K*10)
370 XF=0.50*PI
375 DO 10 I=1,24
380 DO 10 K=1,24
385 BEI(I,K)=DGE024(I,K)+5000.0
390 XLAT(I,K)=DLAT24(I,K)*3.1416/180.0
395 FCOR(I,K)=2.40MEG*SIN(XLAT(I,K))
400 TAN(I,K)=SIN((XF-XLAT(I,K))*0.5)/COS((XF-XLAT(I,K))*0.5)
405 FDE(I,K)=(SIN(COL)/SIN(XF-XLAT(I,K)))*(TAN(I,K)/TA)*4*P
410 10 CONTINUE

```

```

415 Z
420 ZCOEFICIENTES VORTICIDAD
425 X
430 15 DO 20 I=1,24
435 DO 20 K=1,24
440 XC(I,K)=PDE(I,K)*DE(I,K)/(CD*PCOR(I,K))
445 XE(I,K)=(DE I)*PDE(I,K)/(CD*PCOR(I,K)*PCOR(I,K))
450 XA(I,K)=XC(I,K)+YE(I,K)
455 XE(I,K)=XC(I,K)-XE(I,K)
460 20 CONTINUE
465 X
470 DEL T=-2700.0
475 T=TFD-0.0
480 KONT=1
485 X
490 505 Z
510 ZCALCULO DE LA VORTICIDAD
515 X
520 CALL SUBOIZ(GE1,24,24,10)
525 CALL AUTAS1(24,24,DI1,BASE1,GE1,XMAX1)
530 CALL MAPA(GE1,BASE1,DI1,101,127)
531 CALL EUCLID(GE1,AAA)
532 WRITE(2,1111) AAA
533 1111 FORMAT(///,10X,'NORMA EUCLIDIANA DE GE1 = ',2X,F9.1,///)
535 25 DO 40 J=1,8
540 XJ=J
545 TIME(J)=2700.*XJ
550 DO 30 I=1,24
555 DO 30 K=1,24
560 IF (I.EQ.1 .AND. K.EQ.1) GO TO 31
565 IF (I.EQ.24 .AND. K.EQ.1) GO TO 32
570 IF (I.EQ.1 .AND. K.EQ.24) GO TO 33
575 IF (I.EQ.24 .AND. K.EQ.24) GO TO 34
580 IF (I.EQ.1 .AND. (K.GE.2 .AND. K.LE.23)) GO TO 35
585 IF (I.EQ.24 .AND. (K.GE.2 .AND. K.LE.23)) GO TO 36
590 IF (K.EQ.1 .AND. (I.GE.2 .AND. I.LE.23)) GO TO 37
595 IF (K.EQ.24 .AND. (I.GE.2 .AND. I.LE.23)) GO TO 38
600 VOSH(I,K)=XA(I,K)*(GEI(I-1,K)+GEI(I,K-1))+XE(I,K)*
605 * GEI(I+1,K)+GEI(I,K+1))-4.*XC(I,K)*GEI(I,K)
610 GO TO 30
615 31 VOSH(I,K)=4.*XC(I,K)*(0.5*GEI(I+1,K)+0.5*GEI(I,K+1))-GEI(I,K)
620 GO TO 30
625 32 VOSH(I,K)=4.*XC(I,K)*(0.5*GEI(I-1,K)+0.5*GEI(I,K+1))-GEI(I,K)
630 GO TO 30
635 33 VOSH(I,K)=4.*XC(I,K)*(0.5*GEI(I,K-1)+0.5*GEI(I+1,K))-GEI(I,K)
640 GO TO 30
645 34 VOSH(I,K)=4.*XC(I,K)*(0.5*GEI(I,K-1)+0.5*GEI(I-1,K))-GEI(I,K)
650 GO TO 30
655 35 VOSH(I,K)=2.*XC(I,K)*(0.5*GEI(I,K-1)+0.5*GEI(I,K+1))+GEI(I+1,K)
660 * -2.*GEI(I,K)
665 GO TO 30
670 36 VOSH(I,K)=2.*XC(I,K)*(0.5*GEI(I,K-1)+0.5*GEI(I,K+1))+GEI(I-1,K)
675 * -2.*GEI(I,K)
680 GO TO 30
685 37 VOSH(I,K)=2.*XC(I,K)*(0.5*GEI(I-1,K)+0.5*GEI(I+1,K))+GEI(I,K+1)
690 * -2.*GEI(I,K)
695 GO TO 30
700 38 VOSH(I,K)=2.*XC(I,K)*(0.5*GEI(I-1,K)+0.5*GEI(I+1,K))+GEI(I,K-1)
705 * -2.*GEI(I,K)
710 30 CONTINUE
715 X
720 ZCALCULO DEL JACOBIANO
725 X
730 DO 40 I=1,24
735 DO 40 K=1,24
740 IF (I.EQ.1 .AND. K.EQ.1) GO TO 41
745 IF (I.EQ.24 .AND. K.EQ.1) GO TO 42
750 IF (I.EQ.1 .AND. K.EQ.24) GO TO 43
755 IF (I.EQ.24 .AND. K.EQ.24) GO TO 44
760 IF (I.EQ.1 .AND. (K.GE.2 .AND. K.LE.23)) GO TO 45
765 IF (I.EQ.24 .AND. (K.GE.2 .AND. K.LE.23)) GO TO 46
770 IF (K.EQ.1 .AND. (I.GE.2 .AND. I.LE.23)) GO TO 47
775 IF (K.EQ.24 .AND. (I.GE.2 .AND. I.LE.23)) GO TO 48
780 XJAC(I,K)=-0.25*(GEI(I,K+1)-GEI(I,K-1))*(VOSH(I+1,K)-
785 * VOSH(I-1,K))+2.*D*BETA*(GEI(I+1,K)-GEI(I-1,K))*
790 * (VOSH(I,K+1)-VOSH(I,K-1)))
795 GO TO 40

```

```

800 41 XJAC(I,K)--0.25*((GEI(I,K+1)-GEI(I,K))*(VOSH(I+1,K)-VOSH(I,K))+
805 * 2.*D*BETA)-(GEI(I+1,K)-GEI(I,K))*(VOSH(I,K+1)-
810 * VOSH(I,K)))
815 GO TO 40
820 42 XJAC(I,K)--0.25*((GEI(I,K+1)-GEI(I,K))*(VOSH(I,K)-VOSH(I-1,K))+
825 * 2.*D*BETA)-(GEI(I,K)-GEI(I-1,K))*(VOSH(I,K+1)-
830 * VOSH(I,K)))
835 GO TO 40
840 43 XJAC(I,K)--0.25*((GEI(I,K)-GEI(I,K-1))*(VOSH(I+1,K)-VOSH(I,K))+
845 * 2.*D*BETA)-(GEI(I+1,K)-GEI(I,K))*(VOSH(I,K)-
850 * VOSH(I,K-1)))
855 GO TO 40
860 44 XJAC(I,K)--0.25*((GEI(I,K)-GEI(I,K-1))*(VOSH(I,K)-VOSH(I-1,K))+
865 * 2.*D*BETA)-(GEI(I,K)-GEI(I-1,K))*(VOSH(I,K)-
870 * VOSH(I,K-1)))
875 GO TO 40
880 45 XJAC(I,K)--0.25*((GEI(I,K+1)-GEI(I,K-1))*(VOSH(I+1,K)-VOSH(I,K))+
885 * 2.*D*BETA)-(GEI(I+1,K)-GEI(I,K))*(VOSH(I,K+1)-
890 * VOSH(I,K-1)))
895 GO TO 40
900 46 XJAC(I,K)--0.25*((GEI(I,K+1)-GEI(I,K-1))*(VOSH(I,K)-VOSH(I-1,K))+
905 * 2.*D*BETA)-(GEI(I,K)-GEI(I-1,K))*(VOSH(I,K+1)-
910 * VOSH(I,K-1)))
915 GO TO 40
920 47 XJAC(I,K)--0.25*((GEI(I,K+1)-GEI(I,K))*(VOSH(I+1,K)-VOSH(I-1,K))+
925 * 2.*D*BETA)-(GEI(I+1,K)-GEI(I-1,K))*(VOSH(I,K+1)-
930 * VOSH(I,K)))
935 GO TO 40
940 48 XJAC(I,K)--0.25*((GEI(I,K)-GEI(I,K-1))*(VOSH(I+1,K)-VOSH(I-1,K))+
945 * 2.*D*BETA)-(GEI(I+1,K)-GEI(I-1,K))*(VOSH(I,K)-
950 * VOSH(I,K-1)))
955 40 CONTINUE
956 IF(TIME(J).EQ.2700.) CALL AUTASI(24,24,DIF6,XJ6,XJAC,ZJAC)
957 Z IF(TIME(J).EQ.2700.) CALL MAPA(XJAC,XJ6,DIF6,101,127)
960 ZCALCULO DE LA TENDENCIA DEL GEOPOTENCIAL
965 Z
970 CALL FURIER(TEND,XJAC,M)
975 IF(TIME(J).EQ.2700.) CALL AUTASI(24,24,DIF,T,TEND,XXMAX)
980 Z IF(TIME(J).EQ.2700.) CALL MAPA(TEND,T,DIF,101,127)
985 Z
990 ZCALCULO DEL NUEVO GEOPOTENCIAL
995 Z
1000 DO 50 I=1,24
1005 DO 50 K=1,24
1010 IF(KONT.EQ.1) GEC(I,K)=GEI(I,K)+DEL TT*TEND(I,K)
1015 IF(KONT.GT.1) GEC(I,K)=GEIA(I,K)+2.*DEL TT*TEND(I,K)
1020 GEIA(I,K)=GEI(I,K)
1025 GEI(I,K)=GEC(I,K)
1030 50 CONTINUE
1035 KONT=KONT+1
1040 TIEMPO=TIEMPO+DEL TT
1045 60 CONTINUE
1050 TI=TIEMPO/3600.0
1055 CALL AUTASI(24,24,DIF4,T4,GEC,ZMAX1)
1060 WRITE(6,80) TI
1065 80 FORMAT(//,12X,'GEOPOTENCIAL PRONOSTICADO',6X,'TI=',14,'HORAS',///)
1070 70 FORMAT(//,12X,'TENDENCIA PRONOSTICADA',6X,'TI=',14,'HORAS',//)
1075 CALL MAPA(GEC,T4,DIF4,101,127)
1076 CALL EUCLID(GEC,AAA)
1077 WRITE(6,1112) AAA
1078 1112 FORMAT(///,10X,'NORMA EUCLIDIANA DE GEC = ',2X,F9.1,///)
1080 Z CALL AUTASI(24,24,DIF5,T5,TEND,ZMAX2)
1085 Z WRITE(6,70) TI
1090 Z CALL MAPA(TEND,T5,DIF5,101,127)
1091 CALL ESCRIB(24,24,GEC)
1095 IF(TIEMPO.LE.24.0*3600.0) GO TO 25
1100 CALL EXIT
1105 END

```

```

1110 SUBROUTINE FOURIER(FIND,XJAC,B)
1115 $SET LINEINFO
1120 $ERRLIST
1125 CALCULO DEL JACOBIANO MODIFICADO EN LOS NUDOS DE LA MALLA
1130 DIMENSION XJACH(24,24),XJAC(24,24),AN(13,24),BN(11,24),
1135 * XLAMB(13),XLAMB2(13),XLAMB3(13),ALPHA1(13),ALPHA2(13)
1140 * ,ALPHA3(13),ALPHA4(13),ALPHA5(13),ALPHA6(13),ALPHA7(13)
1145 * ,FIB(11,24),FEND(24,24),A1(24),A2(24),A3(24)
1150 REAL IX,IY,KZ,B
1155 B=241.423E3
1160 BB=BB*B
1165 A=4.0FM*BB
1170 PI = 3.14159
1175 DD 10 I=1,24
1180 DD 10 J=1,23,2
1205 IF(I .EQ. 1 .AND. J .EQ. 1) GO TO 20
1210 IF(I .EQ. 1 .AND. J .GE. 3) GO TO 30
1215 IF(I .GT. 1 .AND. J .LT. 24 .AND. J .EQ. 1) GO TO 40
1220 IF(I .EQ. 24 .AND. J .GE. 3) GO TO 42
1225 IF(I .EQ. 24 .AND. J .EQ. 1) GO TO 46
1230 XJACH(I,J)=-A*XJAC(I,J)+XJAC(I,J-1)+XJAC(I,J+1)
1235 * -XJAC(I-1,J)-XJAC(I+1,J)
1240 GO TO 10
1245 20 XJACH(I,J) = A * XJAC(I,J) + XJAC(I,J+23) + XJAC(I,J+1)
1250 * - XJAC(I+23,J) - XJAC(I+1,J)
1255 GO TO 10
1260 30 XJACH(I,J) = A*XJAC(I,J)+XJAC(I,J-1)+XJAC(I,J+1)-XJAC
1265 *(I+23,J)-XJAC(I+1,J)
1270 GO TO 10
1275 40 XJACH(I,J)=-A*XJAC(I,J)+XJAC(I,J+23)+XJAC(I,J+1)
1280 * -XJAC(I-1,J)-XJAC(I+1,J)
1285 GO TO 10
1290 42 XJACH(I,J)=-A*XJAC(I,J)+XJAC(I,J-1)+XJAC(I,J+1)
1295 * -XJAC(I-1,J)-XJAC(I-24,J)
1300 GO TO 10
1305 44 XJACH(I,J)=-A*XJAC(I,J)+XJAC(I,J+23)+XJAC(I,J+1)
1310 * -XJAC(I-1,J)-XJAC(I-23,J)
1315 10 CONTINUE
1320 CALCULO DE LOS COEFICIENTES DE FOURIER
1325 DD 50 J=1,23,2
1330 DD 50 K=1,13
1335 AN(K,J)=0.0
1340 50 CONTINUE
1345 DD 60 J=1,23,2
1350 DD 60 K=1,11
1355 BN(K,J)=0.0
1360 60 CONTINUE
1365 DD 70 J=1,23,2
1370 DD 70 K=1,13
1375 DD 70 I=1,24
1380 IX=I-1
1385 KZ=K-1
1390 AN(K,J)=AN(K,J)+XJACH(I,J)*COS(2.0*PI*KZ/24.0)
1395 IF(I .EQ. 24) AN(K,J)=2.0*AN(K,J)/24.0
1400 CONTINUE
1405 DD 80 J=1,23,2
1410 DD 80 K=1,11
1415 DD 80 I=1,24
1420 IX=I-1
1425 KZ=K-1
1430 BN(K,J)=BN(K,J)+XJACH(I,J)*SIN(2.0*PI*KZ/24.0)
1435 IF(I .EQ. 24) BN(K,J)=2.0*BN(K,J)/24.0
1440 80 CONTINUE
1445 DD 90 K=1,13
1450 KZ=K-1
1455 XLAMB(K) = (-A*A14.46*COS(2.0*PI*KZ/24.0)
1460 * -2.4*COS(4.0*PI*KZ/24.0))
1465 90 CONTINUE
1470 DD 100 J=1,21,4
1475 DD 100 K=1,13
1480 IF( J .EQ. 1 ) AN(K,J)=AN(K,J+2)+AN(K,J+2)-XLAMB(K)
1485 * +AN(K,J)
1490 IF( J .EQ. 1 ) GO TO 100
1495 AN(K,J)=AN(K,J-2)+AN(K,J+2)-XLAMB(K)+AN(K,J)
1500 100 CONTINUE

```



```

1505      DO 110 J=1,21,4
1510      DO 110 K=1,11
1515      IF( J .EQ. 1 ) BN(K,J)-BN(K,J+2)+BN(K,J+2)-XLAMB1(K+1)
1520      *      +BN(K,J)
1525      IF( J .EQ. 1 ) GO TO 110
1530      BN(K,J)-BN(K,J-2)+BN(K,J+2)-XLAMB1(K+1)+BN(K,J)
110      CONTINUE
1540      DO 120 K=1,13
1545      XLAMB2(K)-2.0-XLAMB1(K)*XLAMB1(K)
1550      CONTINUE
1555      DO 130 J=1,17,8
1560      DO 130 K=1,13
1565      IF( J .EQ. 1 ) AN(K,J)-AN(K,J+2)+AN(K,J+2)-XLAMB2(K)*
1570      *      AN(K,J)
1575      IF( J .EQ. 1 ) GO TO 130
1580      AN(K,J)-AN(K,J-4)+AN(K,J+4)-XLAMB2(K)+AN(K,J)
1585      CONTINUE
1590      DO 140 J=1,17,8
1595      DO 140 K=1,11
1600      IF( J .EQ. 1 ) BN(K,J)-BN(K,J+2)+BN(K,J+2)-XLAMB2(K+1)
1605      *      +BN(K,J)
1610      IF( J .EQ. 1 ) GO TO 140
1615      BN(K,J)-BN(K,J-4)+BN(K,J+4)-XLAMB2(K+1)+BN(K,J)
1620      CONTINUE
1625      DO 150 K=1,13
1630      XLAMB3(K)-2.0-XLAMB2(K)*XLAMB2(K)
1635      CONTINUE
1640      CALCULO DE LOS ATENUADORES
1645      DO 160 K=1,13
1650      ALPHA1(K)=(AN(K,1)+AN(K,9)+AN(K,17))/(3.0*(XLAMB3(K)+2.0
1655      *      ))
1660      *      ALPHA2(K)=(AN(K,1)-2.0*AN(K,9)+AN(K,17))/(6.0*(XLAMB3(K)
1665      *      -1.0))
1670      *      ALPHA3(K)=(AN(K,1)-AN(K,17))/(2.0*(XLAMB3(K)-1.0))
1675      CONTINUE
1680      DO 170 K=1,11
1685      ALPHA1(K)=(BN(K,1)+BN(K,9)+BN(K,17))/(3.0*(XLAMB3(K+1)
1690      *      +2.0))
1695      *      ALPHA2(K)=(BN(K,1)-2.0*BN(K,9)+BN(K,17))/(6.0*(XLAMB3(K+1)
1700      *      -1.0))
1705      *      ALPHA3(K)=(BN(K,1)-BN(K,17))/(2.0*(XLAMB3(K+1)-1.0))
1710      CONTINUE
1715      DETERMINACION DE LOS COEFICIENTES DE FOURIER PARA LA TENDENCIA
1720      DO 180 K=1,13
1725      FIA(K,1) = ALPHA1(K) + ALPHA2(K) + ALPHA3(K)
1730      FIA(K,9) = ALPHA1(K) - 2.0*ALPHA2(K)
1735      FIA(K,17) = ALPHA1(K) +ALPHA2(K) - ALPHA3(K)
1740      IF( K .EQ. 1 ) FIA(K,1) = 0.0
1745      IF( K .EQ. 1 ) FIA(K,9) = 0.0
1750      IF( K .EQ. 1 ) FIA(K,17) = 0.0
1755      CONTINUE
180      DO 190 K=1,11
1765      FIB(K,1) = ALPHA1(K) + ALPHA2(K) + ALPHA3(K)
1770      FIB(K,9) = ALPHA1(K) - 2.0*ALPHA2(K)
1775      FIB(K,17) = ALPHA1(K) + ALPHA2(K) - ALPHA3(K)
1780      CONTINUE
190      DO 210 J = 5,21,8
1790      DO 210 K = 1,13
1795      IF(ABS(XLAMB2(K)) .GT. 10E8 ) GO TO 200
1800      IF( J .EQ. 21 ) FIA(K,J)=(AN(K,J)-FIA(K,J-4)-
1805      *      FIA(K,J-20))/XLAMB2(K)
1810      IF( J .EQ. 21 ) GO TO 210
1815      FIA(K,J) = (AN(K,J)-FIA(K,J-4) - FIA(K,J+4))/XLAMB2(K)
1820      GO TO 210
1825      FIA(K,J) =AN(K,J)/XLAMB2(K)
200      FIA(K,J) =AN(K,J)/XLAMB2(K)
1830      CONTINUE

```

```

1835      DO 220 J = 1,21,4
1840      DO 220 K = 1,11
1845      IF( ABS(XLAMBDA(K)) ) .GT. 1000 ) GO TO 230
1850      IF( J .EQ. 21 ) F1ACK(J) = (BRCK(J) + F1ACK(J-1)
1855      *          F1ACK(J-20)) / XLAMBDA(K)
1860      IF( J .EQ. 21 ) GO TO 220
1865      F1ACK(J) = (BRCK(J) + F1ACK(J-1) - F1ACK(J-20)) / XLAMBDA(K)
1870      GO TO 220
1875 230      F1ACK(J) = BRCK(J) / XLAMBDA(K)
1880 220      CONTINUE
1885      DO 240 J = 3,23,4
1890      DO 240 K = 1,11
1895      IF( ABS(XLAMBDA(K)) ) .GT. 1000 ) GO TO 250
1900      IF( J .EQ. 23 ) F1ACK(J) = (BRCK(J) + F1ACK(J-1)
1905      *          F1ACK(J-20)) / XLAMBDA(K)
1910      IF( J .EQ. 23 ) GO TO 240
1915      F1ACK(J) = (BRCK(J) + F1ACK(J-1) - F1ACK(J-20)) / XLAMBDA(K)
1920      GO TO 240
1925 250      F1ACK(J) = BRCK(J) / XLAMBDA(K)
1930 240      CONTINUE
1935      DO 260 J = 3,23,4
1940      DO 260 K = 1,11
1945      IF( ABS(XLAMBDA(K)) ) .GT. 1000 ) GO TO 270
1950      IF( J .EQ. 23 ) F1ACK(J) = (BRCK(J) + F1ACK(J-1)
1955      *          F1ACK(J-20)) / XLAMBDA(K)
1960      IF( J .EQ. 23 ) GO TO 260
1965      F1ACK(J) = (BRCK(J) + F1ACK(J-1) - F1ACK(J-20)) / XLAMBDA(K)
1970      GO TO 260
1975 270      F1ACK(J) = BRCK(J) / XLAMBDA(K)
1980 260      CONTINUE
1985  CONTINUACION DE LA TABLA EN LAS LINEAS SIGUIENTES
1990      DO 280 J = 1,23,2
1995      DO 280 I = 1,24
2000      TEND(I,J) = 0.0
2005 280      CONTINUE
2010      DO 290 J = 1,23,2
2015      DO 290 I = 1,24
2020      DO 290 K = 1,11
2025      IX = I - 1
2030      KZ = K
2035      TEND(I,J) = TEND(I,J) + F1A(K11,J) * COS(2.0471467 * IX / 24.0) /
2040      *          F1ACK(J) + SIN(2.0471467 * IX / 24.0)
2045 290      CONTINUE
2050      DO 300 J = 1,23,2
2055      DO 300 I = 1,24
2060      IX = I - 1
2065      TEND(I,J) = TEND(I,J) + 0.5 * F1A(13,J) + 0.5 * F1A(13,J) * (-1.0441X)
2070 300      CONTINUE
2075 CSOL EN LAS LINEAS IMPARES PUS PARES
2080      DO 310 J = 2,24,2
2085      DO 310 I = 1,24
2090      IF( J .EQ. 24 ) XJACH(I,J) = XJACH(I,J) + TEND(I,J-1) - TEND(I,J-24)
2095      IF( J .EQ. 24 ) GO TO 310
2100      XJACH(I,J) = XJACH(I,J) + TEND(I,J-1) - TEND(I,J-1)
2105 310      CONTINUE
2110      DO 320 J = 2,24,2
2115      DO 320 I = 1,23,2
2120      IF( I .EQ. 1 ) XJACH(I,J) = XJACH(I,23) + 0.4 * XJACH(I,J)
2125      *          + XJACH(I-1,J)
2130      IF( I .EQ. 1 ) GO TO 320
2135      XJACH(I,J) = XJACH(I-1,J) + 0.4 * XJACH(I,J) + XJACH(I-1,J)
2140 320      CONTINUE
2145      F1G = 2.0 - A * A
2150      DO 330 J = 2,24,2
2155      DO 330 I = 1,21,4
2160      IF( I .EQ. 1 ) XJACH(I,J) = XJACH(I,22) + F1G * XJACH(I,J)
2165      *          + XJACH(I-2,J)
2170      IF( I .EQ. 1 ) GO TO 330
2175      XJACH(I,J) = XJACH(I-2,J) - F1G * XJACH(I,J) + XJACH(I-2,J)
2180 330      CONTINUE

```

```

2105      F101 = 2.0 - F164*F10
2190      DO 340 J = 2, 24, 2
2195      DO 340 I = 1, 12, 0
2200      IF ( I .EQ. 1 ) X(JACH(C1,I)) = X(JACH(C1,0,I)) - F161*
2205      * X(JACH(C1,I)X(JACH(C14,I))
2210      F1(C1,I0,I) GO TO 340
2215      X(JACH(C1,I)) = X(JACH(C1,4,I)) - F161X(JACH(C1,I)) X(JACH(C14,I))
2220 340    CONTINUE
2225      F162 = 2.0 - F16141*F61
2230      DO 350 J = 2, 24, 2
2235      G1(J) = (X(JACH(C1,I))X(JACH(C9,I))X(JACH(C17,I)))/(3.0*(C162
2240      * 42.0))
2245      * G2(J) = (X(JACH(C1,I)) - 2.04X(JACH(C9,I))X(JACH(C17,I)))/(6.0
2250      * (C162-1.0))
2255      G3(J) = (X(JACH(C1,I)) - X(JACH(C17,I)))/(2.04*(F162-1.0))
2260 350    CONTINUE
2265      DO 360 J = 2, 24, 2
2270      F1H(C1,I) = G1(J) + G2(J) + G3(J)
2275      F1H(C9,I) = G1(J) - 2.04G2(J)
2280      F1H(C17,I) = G1(J) + G2(J) - G3(J)
2285 360    CONTINUE
2290      DO 370 J = 2, 24, 2
2295      DO 370 I = 1, 12, 0
2300      IF ( I .EQ. 21) F1H(C1,I) = (X(JACH(C1,I)) - F1H(C1-4,I) - F1H(C
2305      * 1-20,I))/Z161
2310      F1(C1,I0,21) GO TO 370
2315      F1H(C1,I) = (X(JACH(C1,I)) - F1H(C1-4,I) - F1H(C14,I))/Z161
2320 370    CONTINUE
2325      DO 380 J = 2, 24, 2
2330      DO 380 I = 3, 23, 4
2335      IF ( I .EQ. 23) F1H(C1,I) = (X(JACH(C1,I)) - F1H(C1-2,I) - F1H(C1-22,I)
2340      * )/Z16
2345      F1(C1,I0,23) GO TO 380
2350      F1H(C1,I) = (X(JACH(C1,I)) - F1H(C1-2,I) - F1H(C12,I))/Z16
2355 380    CONTINUE
2360 CS01  EN LOS FLOS DATOS
2365      DO 390 J=2,24,2
2370      DO 390 I=2,24,2
2375      IF ( I .EQ. 24 ) F1H(C1,I) = (X(JACH(C1,I)) - F1H(C1-1,I) - F1H(C1-23,I)
2380      * )/(C-A)
2385      F1(C1,I0,24) GO TO 390
2390      F1H(C1,I) = (X(JACH(C1,I)) - F1H(C1-1,I) - F1H(C11,I))/Z(C-A)
2395 390    CONTINUE
2400 C      DO 222 I=1,24
2405 C222  WRITE(6,530) ( F1H(C1,I) , I=1,24 )
2410 530  FORMAT(///,1H,24F12.4)
2415 939  RETURN
2420      END
2425      SUBROUTINE MAFACZ(BASE,CINT,RI,NC)
2430 $SET LIBLINEO
2435      DIMENSION Z(24,24),SIBB(20),V(130)
2440      DATA SIBB/'A','B','C','D','E','F','G','H','I','J','K','L','M',
2445      * 'N','O','P','Q','R','S','T'
2450      DATA CR0Z,CRTER/'1','4'
2455      DATA BK,GTORZ/' ','/'
2460      RI(1) = RI-1
2465      NC(1) = NC-1
2470      CINT2 = 2.0*CINT
2475      R17 = 23.0/RIC(1)
2480      R23 = 23.0/RIC(1)
2485      WRITE(6,100)
2490 100  FORMAT(1X,'COTAS DE LOS SIMBOLOS',//,2X,'SIMBOLO',2X,'INFEKTOR',
2495      * 4X,'SUPERIOR',//)
2500      DO 1 N=1,20
2505      CONTI = BASE + 2.0*CINT*(N-1)
2510      CURIS = CONTI + CINT
2515      WRITE(6,101) SIBB(N),CONTI,CURIS
2520 101  FORMAT(10X,61,4X,2F12.4)
2525      1 CONTINUE
2530      WRITE(6,102)
2535 102  FORMAT (' ',//,1X,'2',120X,'16')
2540      DO 2 J=2,NC(1)
2545      V(J) = GTORZ
2550      2 CONTINUE

```

```

2555 WRITE (6,103) (V(J),J=2,NCM1)
2560 DO 10 LINEA = 2,NLMI
2565 RI = 1.0 F (LINEA - 1) * R23
2570 I = IFIX (RI)
2575 X = RI - FLOAT (I)
2580 DO 11 JCAR = 2,NCM1
2585 RJ = 1.0 F (JCAR-1) * R17
2590 J = IFIX (RJ)
2595 Y = RJ - FLOAT (J)
2600 A1 = Z (I,J)
2605 A2 = Z (I+1,J) - A1
2610 A3 = Z (I,J+1) - A1
2615 A4 = Z (I+1,J+1) - A1 - A2 - A3
2620 ZINT = A1 + A2 * X + (A3+A4X) * Y
2625 V(JCAR) = BLK
2630 DO 12 K=1,20
2635 CONTI = BASE + (K-1) * CINT2
2640 CONTS = CONTI + CINI
2645 IF (ZINT.LE.CONTI1.OR.ZINT.GT.CONTS) GO TO 12
2650 V(JCAR) = SIMB (K)
2655 12 CONTINUE
2660 11 CONTINUE
2665 WRITE (6,103) (V(J),J=2,NCM1)
2670 103 FORMAT (1X, '1',125A1,'1')
2675 10 CONTINUE
2680 DO 19 J= 2,NCM1
2685 V(J) = DUDON
2690 19 CONTINUE
2695 WRITE (6,103) (V(J), J=2,NCM1)
2700 RETURN
2705 END
2710 SUBROUTINE AUTASI(N,M,DIF,UW,XVAR,XMAX)
2715 DIMENSION XVAR(N,M)
2720 UV=XVAR(1,1)
2725 WW=XVAR(1,1)
2730 DO 1 I=1,N
2735 DO 1 J=1,M
2740 XMAX=AMAX1(UV,XVAR(I,J))
2745 XMN=AMIN1(UW,XVAR(I,J))
2750 UV=XMAX
2755 WW=XMN
2760 1 CONTINUE
2765 DIF=(UV-WW)/39.0
2770 RETURN
2775 END
2780 SUBROUTINE ESCRIB(N,M,XVAR)
2785 DIMENSION XVAR(N,M)
2790 DO 21 I=1,24
2795 WRITE(6,22) ( XVAR(I,J) , J=1,M )
2800 21 CONTINUE
2805 22 FORMAT(24I4)
2810 RETURN
2815 END
2820 SUBROUTINE ESCRIT(N,M,XVAR)
2825 DIMENSION XVAR(N,M)
2830 DO 21 I=1,N
2835 WRITE(6,22) ( XVAR(I,J) , J=1,M )
2840 21 CONTINUE
2845 22 FORMAT(24F5.1)
2850 RETURN
2855 END

```

```

2060          SUBROUTINE SUBV17 (Z,N1,N2,N3)
2065          DIMENSION Z(24,24), ZZ(24,24)
2070          DO 30 I=1,N1
2075             S = 0.5
2080          DO 10 K=1,N2
2085             DO 1 I=1,N3
2090             DO 1 J=1,N3
2095             1  ZZ(I,J) = Z(I,1)+10.545*(I-5)*Z(I+1,1)+17*(I-1)*Z(I+1,1)+11
2900             *  Z(I,1)+15-4.047*(I+1)*10.545*(I+1)+11+17*(I+1)+11+11
2905             *  Z(I+1,1)+17*(I+1)+15-4.047*(I+1)
2910             DO 2 I=1,N3
2915             DO 2 J=1,N3
2920             2  Z(I,J) = ZZ(I,J)
2925             10 S = -0.5
2930             30 CONTINUE
2935          RETURN
2940          END
2945          SUBROUTINE TUCI (K,XVAR1,K)
2950          DIMENSION XVAR1(3,24)
2955          A=0.0
2960          DO 100 I=1,14
2965          DO 100 K=1,14
2975          A=XVAR1(I,K)+XVAR1(I,K)
2980             100 CONTINUE
2985          A=30*(A)
2990          RETURN
2995          END
↓

```

4.2.2 DIAGRAMA DE FLUJO DEL PROGRAMA DE PREDICCIÓN

PRINCIPIOS

DØ 10 J = 1,576

LEER XLA(J), DGEØ(J),
G, P, D, R, AO, TO,
ØMEG, BETA, M, DELTA,
KØNT, ETC.

DØ 20 I = 1,24

DØ 20 J = 1,24

ARREGLAR DATOS EN MATRICES 24x24

$XLAT(I,J) = XLA(24 \cdot (J-1) + I)$

$GEI(I,J) = DGEØ(24 \cdot (J-1) + I)$

DØ 30 I = 1,24

DØ 30 J = 1,24

CALCULAR PARAMETROS DE ESCALA Y DE CØRRIØS

$$PDE(I,J) = \frac{\text{SEN } 30^\circ}{\text{SEN}[XLAT(I,J)]} \left[\frac{\text{TAN} \left[\frac{XLAT(I,J)}{2} \right]^P}{\text{TAN} \left[\frac{30^\circ}{2} \right]} \right]$$

$$POØR(I,J) = 2 \cdot ØMEG \cdot \text{SEN}[XLAT(I,J)]$$

DØ 40 I = 1,24

DØ 40 J = 1,24

A

3

CALCULAR VØRTICIDAD Y JACØBIANØS

$$XA(I,J) = \frac{PDE(I,J)^2}{D^2 \cdot POØR(I,J)} + \frac{BETA \cdot PDE(I,J)}{2 \cdot D \cdot POØR(I,J)}$$

$$XB(I,J) = \frac{PDE(I,J)^2}{D^2 \cdot POØR(I,J)} - \frac{BETA \cdot PDE(I,J)}{2 \cdot D \cdot POØR(I,J)}$$

$$XØ(I,J) = \frac{PDE(I,J)^2}{D^2 \cdot POØR(I,J)}$$

$$VØSH(I,J) = XA(I,J) [GEI(I-1,J) + GEI(I,J-1)] \\ + XB(I,J) [GEI(I+1,J) + GEI(I,J+1)] \\ - 4 \cdot XØ(I,J) \cdot GEI(I,J)$$

$$XJAC(I,J) = -\frac{1}{4} \left[[GEI(I,J+1) - GEI(I,J-1)] \right. \\ \left. [VØSH(I+1,J) - VØSH(I-1,J) + 2 \cdot D \cdot BETA] \right. \\ \left. - [GEI(I+1,J) - GEI(I-1,J)] \right. \\ \left. [VØSH(I,J+1) - VØSH(I,J-1)] \right]$$

2

2

LLAMAR SUBROUTINA PARA RESOLVER LA ECUACION DE HELMHOLTZ
 $(v^2 - M) \text{TEND}(I,J) = XJAO(I,J)$

DØ 50 I = 1,24
DØ 50 J = 1,24

KØNT = 1 ?

SI → GEO(I,J) = GEI(I,J) + DELTT·TEND(I,J)

NO

GEO(I,J) = GEIA(I,J) + 2·DELTT·TEND(I,J)
GEIA(I,J) = GEI(I,J)
GEI(I,J) = GEC(I,J)

TIEMPØ = N·(6 HØRAS) ?

SI → IMPRIMIR GRAFICA GEO(I,J)

RETURN

NO

TIEMPØ ≥ 48 HØRAS ?

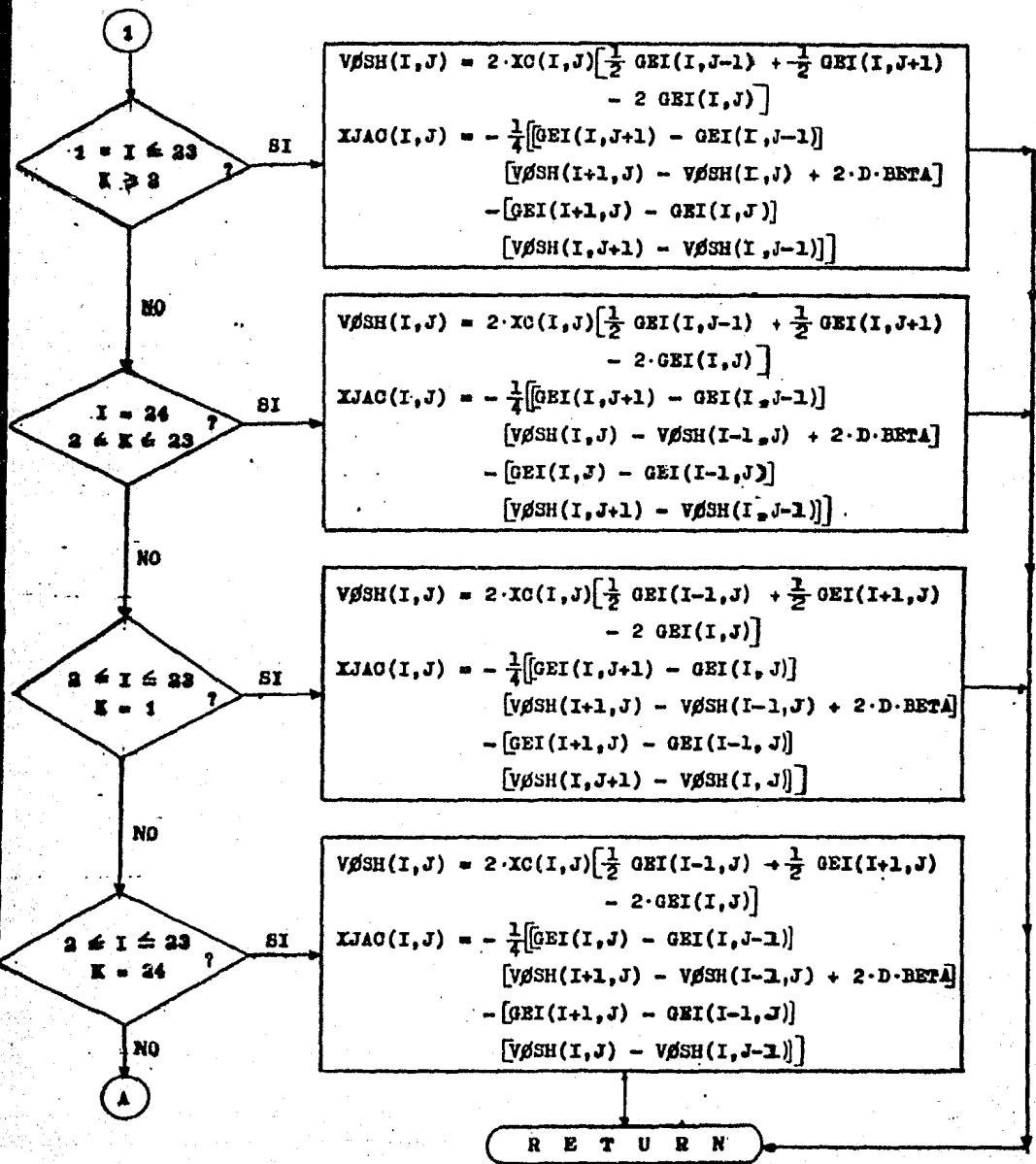
SI → ALT Ø

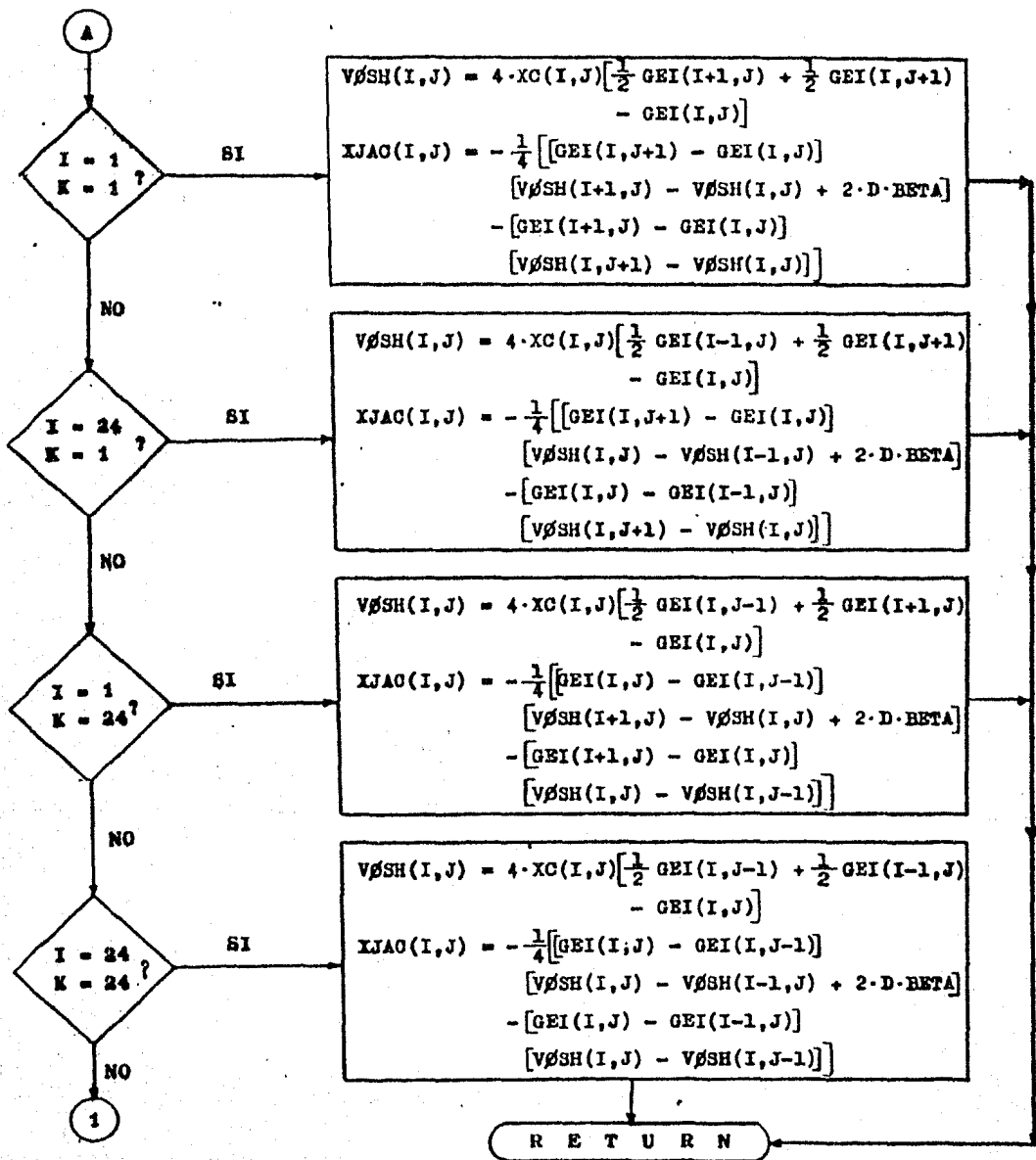
END

NO

TIEMPØ = TIEMPØ + DELTT
KØNT = KØNT + 1

3





4.3 Determinación del área válida de Pronóstico y del Parámetro de Helmholtz.

AREA VALIDA DE PRONOSTICO.

Se consideran dos formas:

- a).- El patrón de advección dado por el operador Jacobiano contiene una zona anómala claramente visible a lo largo de las fronteras. El resultado de medir esta zona en la figura 4.3.3 es del orden de $2\Delta x$. La función Jacobiano es aquí utilizada, debido a que cualquier error en ella se reflejará necesariamente en el resultado final de las tendencias calculadas.
- b).- Por minimización del valor de la norma Euclidiana (NE) de la matriz de diferencias entre las tendencias calculadas numéricamente y las calculadas analíticamente.

Contribución promedio de cada punto a la norma Euclidiana de la matriz de diferencias de las tendencias.			
Tamaño del enrejado considerado	$\frac{\left\{ \sum_{i=1}^{n-1} \sum_{j=1}^{n-1} [X_{i,j}^T - X_{i,j}^{AN}]^2 \right\}^{\frac{1}{2}}}{[n - (n-1)]^2}$	$\frac{\left\{ \sum_{i=1}^{n-1} \sum_{j=1}^{n-1} [X_{i,j}^T - X_{i,j}^{BN}]^2 \right\}^{\frac{1}{2}}}{[n - (n-1)]^2}$	$n - [n - (n-1)]^2$
i = 1,2,...,24 j = 1,2,...,24	1.19×10^{-5}	1.18×10^{-5}	576
i = 2,3,...,23 j = 2,3,...,23	0.94×10^{-5}	0.98×10^{-5}	484
i = 3,4,...,22 j = 3,4,...,22	0.81×10^{-5}	0.86×10^{-5}	400
i = 4,5,...,21 j = 4,5,...,21	0.79×10^{-5}	0.80×10^{-5}	324
i = 5,6,...,20 j = 5,6,...,20	0.83×10^{-5}	0.80×10^{-5}	256

TABLA 4.3.1

La tabla 4.3.1 y la figura 4.3.2 muestran la manera en que contribuye cada punto de la malla a la NE total. Teóricamente esta cantidad debe ir disminuyendo conforme los puntos estén más alejados de las fronteras, hasta estabilizarse en un valor fijo.

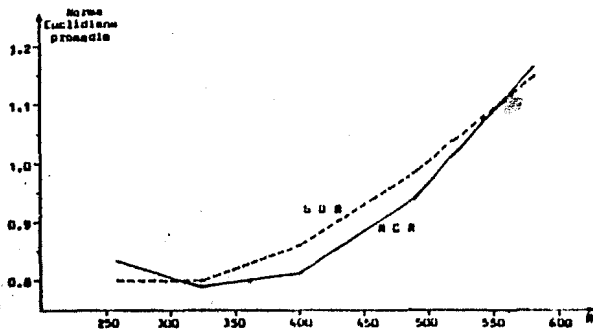


Figura 4.3.2

En la gráfica se observa que el valor mínimo es alcanzado para $M = 324$, esto significa que los valores de tendencia se ven de estar influenciados por el "ruido" de los frentes a partir de $3A\pi$, lo que equivale a eliminar los tres primeros y los tres últimos rangones de la malla así como los tres primeros y los tres últimos columnas.

EL PARAMETRO DE HELMHOLTZ.

Teóricamente está dado por la relación

$$M = \frac{f_0^2 A(p_0)}{R T_0}$$

donde f_0 es el parámetro de Coriolis para una latitud dada, -se toma como 30° para latitudes bajas-, $A(p_0)$ es el valor de la función de peso tomada al nivel del suelo, y T_0 es la temperatura absoluta a 1000 mb. Tomados en conjunto, todos estos valores permiten calcular M , pero de hecho --ninguno de ellos es constante en toda la región de integración, además de --que $A(p_0)$ y T_0 varían según la estación del año, esto hace que el valor de M dependa de la región y de la temporada de que se trate. Debido a consideraciones matemáticas, la ecuación de Helmholtz no permite que M tenga valores variables, por lo que debe determinarse un valor en cada caso, esto --se hace de manera empírica, por tanteo, haciendo un pronóstico y calibrando el valor de M alrededor del valor teórico, hasta encontrar el que mejor --corresponda con la realidad observada. Una vez determinado este valor, se --tomará como fijo durante todo el mes, por ejemplo.

Para el caso de latitudes bajas se consideran los siguientes valores como característicos:

$$f_0 = 2\Omega \cos 30^\circ = 7.29211 \times 10^{-5}$$

$$A(p_0) = 1.13$$

$$R = 287.0$$

$$T_0 = 253.0$$

$$\text{por lo que } M = 8.27 \times 10^{-14}$$

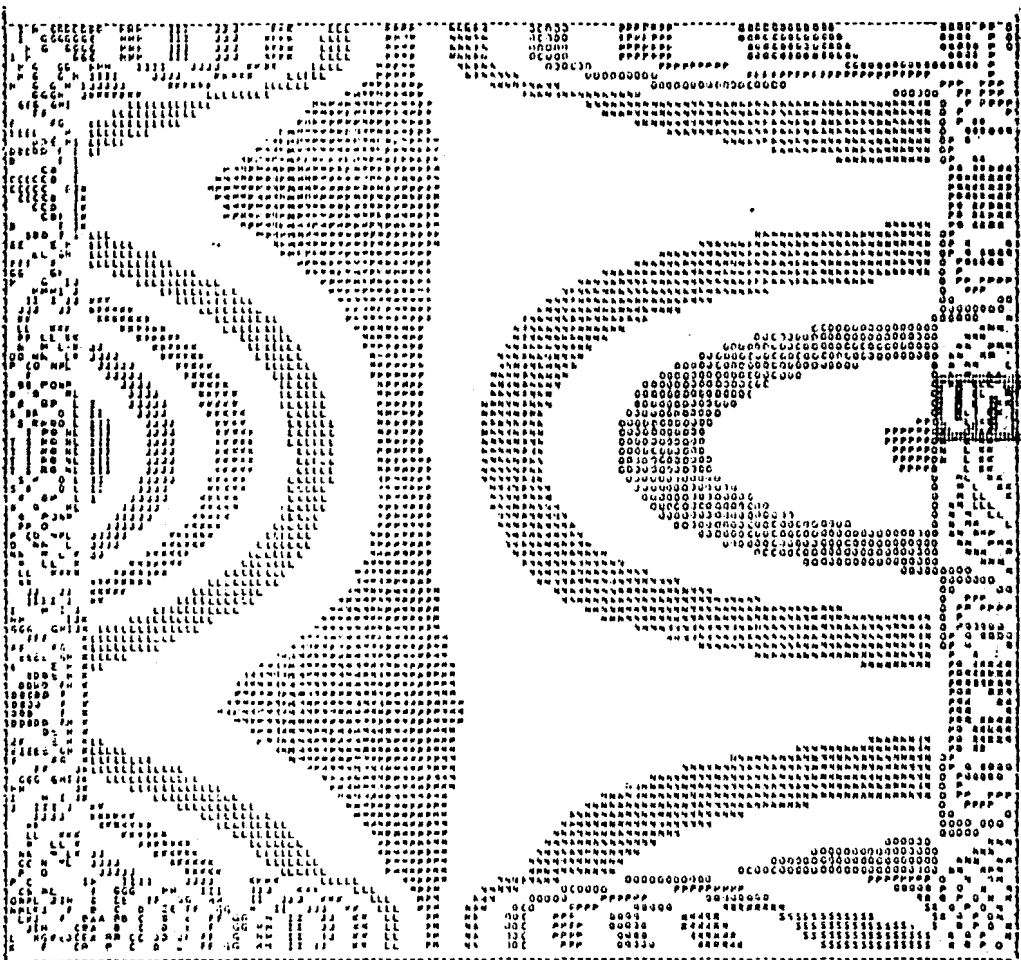


Fig. 4.3.3.

El Jacobiano calculado en diferencias finitas. Contiene a lo largo de sus fronteras un patrón altamente perturbado, del orden de $1.7\Delta x$. Esta gráfica es equivalente al Jacobiano de la figura 3.5.3, ya que ambos surgen de la misma función teórica 3.5.1.

NORMAS EUCLIDIANAS DEL GEOPOTENCIAL							
M	t = 0 ha.	t = 6 ha.	t = 12 ha.	t = 18 ha.	t = 24 ha.	t = 30 ha.	tiempo de proceso
0.27×10^{-19}	23211.8	23177.3	23147.5	23124.9	23112.5	23113.4	38.1
0.27×10^{-18}	23211.8	23177.3	23147.5	23124.9	23112.5	23113.4	38.0
0.27×10^{-17}	23211.8	23177.3	23147.5	23124.9	23112.5	23113.4	38.0
0.27×10^{-16}	23211.8	23177.4	23147.5	23124.9	23112.5	23113.4	38.6
0.27×10^{-15}	23211.8	23177.5	23147.7	23125.1	23112.6	23113.2	38.3
0.27×10^{-14}	23211.8	23178.4	23149.7	23126.5	23113.0	23111.5	38.3
0.27×10^{-13}	23211.8	23185.3	23161.0	23139.8	23127.9	23111.8	38.8
0.27×10^{-12}	23211.8	23202.3	23192.9	23183.6	23174.5	23165.6	38.4
0.27×10^{-11}	23211.8	23210.6	23209.0	23207.6	23206.1	23204.7	38.4
0.27×10^{-10}	23211.8	23211.7	23211.8	23211.4	23211.3	23211.1	38.6
0.27×10^{-9}	23211.8	23211.8	23211.8	23211.8	23211.8	23211.8	38.1
0.27×10^{-8}	23211.8	23211.8	23211.8	23211.8	23211.8	23211.8	38.0
1.27×10^{-14}	23211.8	23177.5	23147.8	23125.7	23112.6	23113.0	38.1
2.27×10^{-14}	23211.8	23177.6	23148.0	23125.4	23112.6	23112.8	38.4
3.27×10^{-14}	23211.8	23177.8	23148.7	23126.5	23112.7	23112.5	38.5
4.27×10^{-14}	23211.8	23177.9	23148.4	23125.7	23112.7	23112.3	37.9
5.27×10^{-14}	23211.8	23178.0	23148.6	23125.9	23112.8	23112.1	38.4
6.27×10^{-14}	23211.8	23178.1	23148.8	23126.1	23112.9	23111.9	38.3
7.27×10^{-14}	23211.8	23178.3	23149.0	23126.3	23112.9	23111.7	38.2
8.27×10^{-14}	23211.8	23178.4	23149.7	23126.5	23113.0	23111.9	38.3
9.27×10^{-14}	23211.8	23178.5	23149.4	23126.7	23113.1	23111.3	38.1

TABLA 4.3.4
CALIBRACION DE M.

La tabla 4.3.4 muestra las normas Euclidianas (NE) de los geopotenciales pronosticados, en múltiplos de 6 horas. Para mayor seguridad en estos pronósticos solo se calcularon las NE en la región central de la malla, que abarca una área de 4 x 4 puntos. Para condición inicial se usaron datos reales de geopotencial, correspondientes al 21 de febrero de 1982, a las 12:00 z. El método numérico utilizado fué el de Reducción Cíclica Recursiva con Análisis de Fourier. La tabla se ha dividido en dos partes: la superior muestra los valores de NE para M con diferentes órdenes de magnitud, mientras que la inferior representa valores de M dentro del mismo orden. La columna final indica los tiempos de proceso (en segundos), para el pronóstico a 30 horas, es parte de otro experimento.

4.4 Gráficas y resultados.

EL BANCO DE DATOS Y LOS RESULTADOS.

En la figura 4.4.1 se presenta el campo de altura geopotencial observado para el nivel isobárico de 500 mb., (uno de los dos niveles barotrópico equivalentes), válido el día 21 de febrero de 1982 a las 12:00 z. Este campo geopotencial se utilizó como condición inicial para integrar numéricamente el modelo, discretizándolo en una malla de 24 x 24 puntos, tomando valores cada -- 231.4 km.

En las figuras 4.4.2 hasta la 4.4.7 se muestran los campos pronosticados -- para 6, 12, 18, 24, 30 y 36 horas, respectivamente, realizando las integraciones para un paso de tiempo de 45 minutos. Los cálculos se hicieron con el método de Fourier, y son esencialmente similares a los realizados con SOL, - excepto por el consumo de tiempo de máquina, que es mucho menor en el primero.

El banco de datos presenta fundamentalmente 6 elementos de interés:

- 1.- Una baja al NE de los EEUU.
- 2.- Una vaguada con orientación norte-sur, ubicada sobre Florida.
- 3.- Una cuña con orientación NNE-SSO, en la región central de EEUU y Canadá.
- 4.- Una alta relativa en la zona de Baja California.
- 5.- La alta semipermanente del Pacífico, situada al sur de B. C.
- 6.- Una alta sobre Centro América y el SE de México.

El campo geopotencial observado 12 horas después, (no presentado aquí), con tiene los mismos elementos que el campo inicial, con las siguientes diferencias:

- 1.- La baja se ha desplazado 15° hacia el este.
- 2.- La vaguada cambió su orientación N-S a NNE-SSO.
- 3.- La orientación de la cuña es ahora N-S.
- 4.- La alta relativa sobre B.C. permanece esencialmente la misma.
- 5.- Las altas del Pacífico y Centro América son ahora una sola.

El campo pronosticado para las mismas 12 horas (figura 4.4.3), difiere del campo observado en lo siguiente:

- 1.- La baja no se ha desplazado.
- 2.- La vaguada correspondiente, tampoco.

y coincide en:

- 3.- La orientación de la cuña es N-S.
- 4.- La alta relativa permanece igual.
- 5.- Las altas del Pacífico y Centro América tienden a eliminar el canal de baja.

Finalmente, las figuras 4.4.3 hasta la 4.4.7 correspondientes a la evolución de los sistemas hasta 36 horas, muestran que la baja tendió a moverse hacia el este, pero solo muy levemente, y las altas no se uniformaron, aunque en ambos casos los forzamientos fueron en tal sentido.

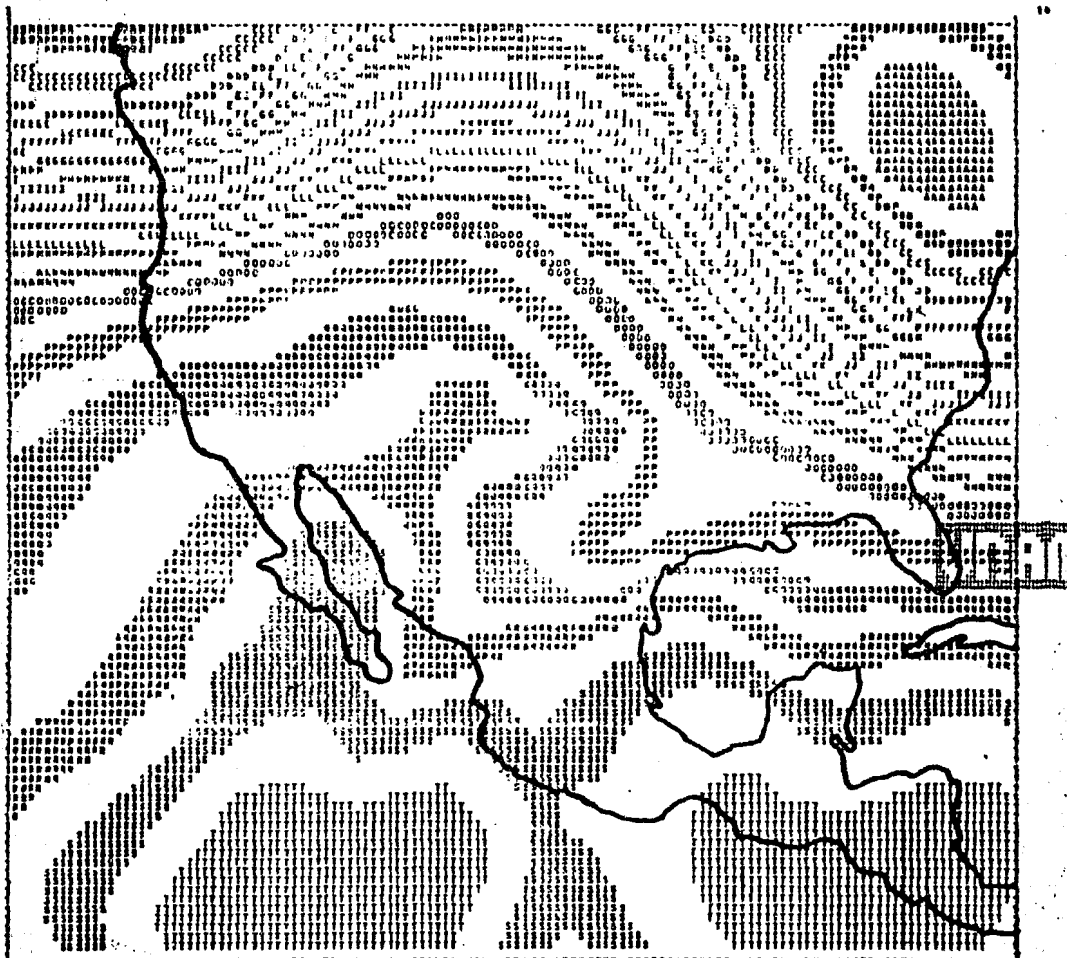


Fig 4.4.1
CAMPO GEOPOTENCIAL INICIAL

El campo geopotencial inicial corresponde a la superficie isobárica en 500 mb., el día 21 de febrero de - 1982, a las 12:00 z.

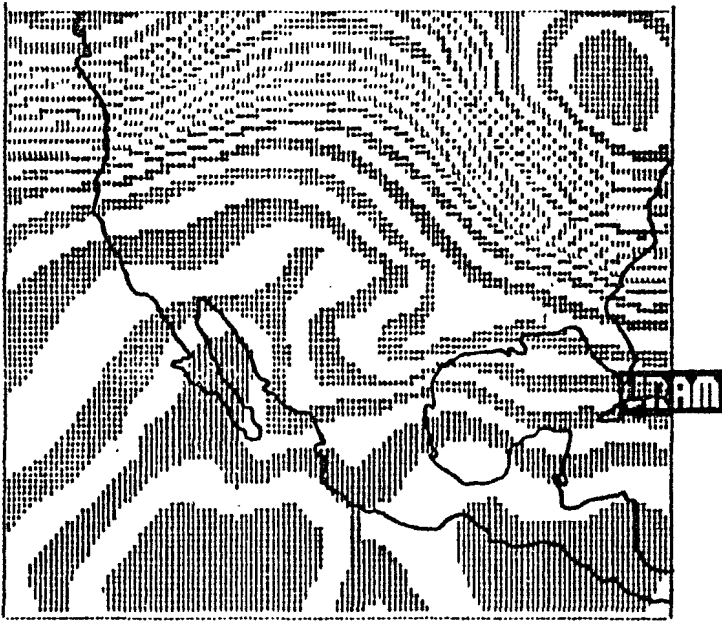


FIGURA 4.4.2
CAMPO GEOPOTENCIAL PRONOSTICADO 6 HORAS DESPUES.

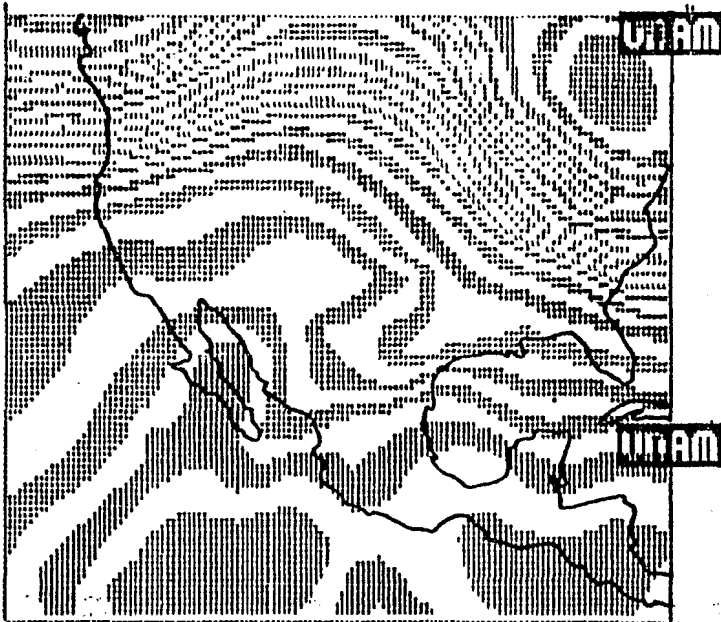


FIGURA 4.4.3
CAMPO GEOPOTENCIAL PRONOSTICADO 12 HORAS DESPUES.

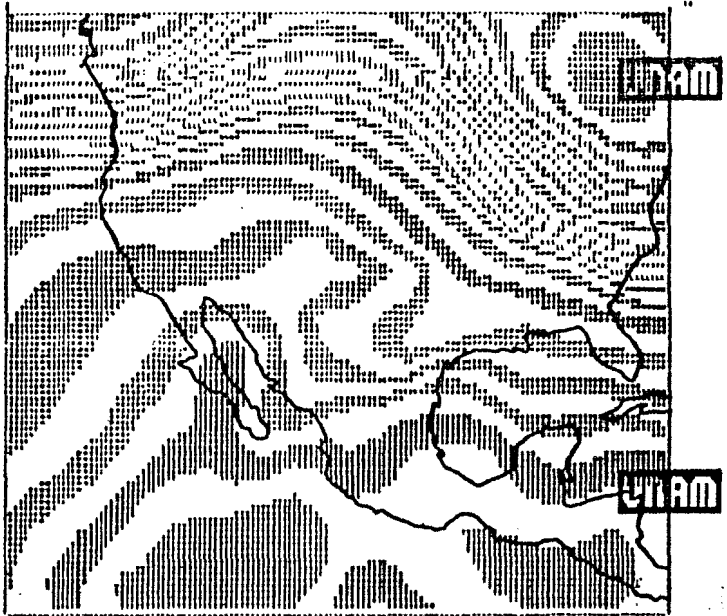


FIGURA 4.4.4
CAMPO GEOPOTENCIAL PRONOSTICADO 18 HORAS DESPUES.

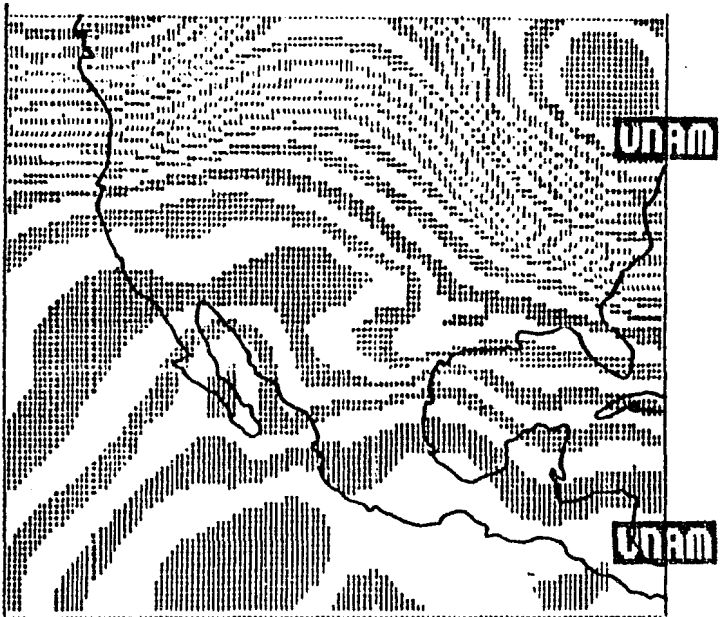


FIGURA 4.4.5
CAMPO GEOPOTENCIAL PRONOSTICADO 24 HORAS DESPUES.

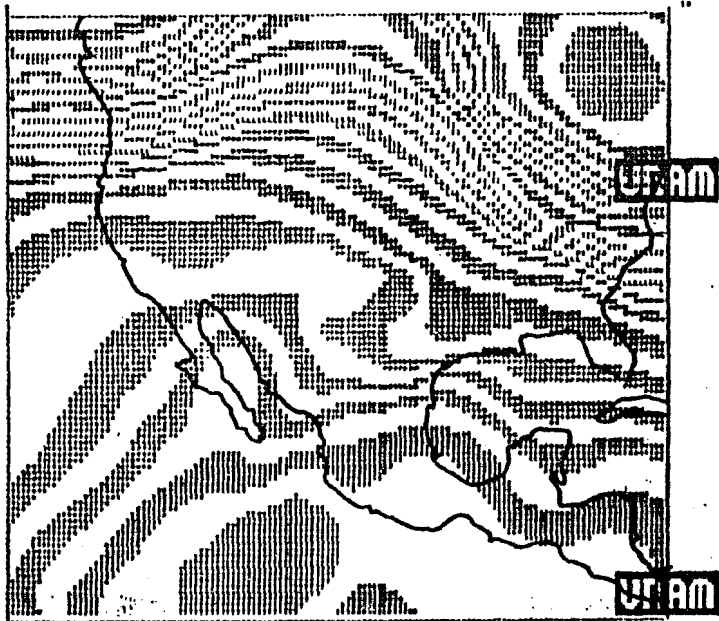


FIGURA 4.4.6
CAMPO GEOPOTENCIAL PRONOSTICADO 30 HORAS DESPUÉS.

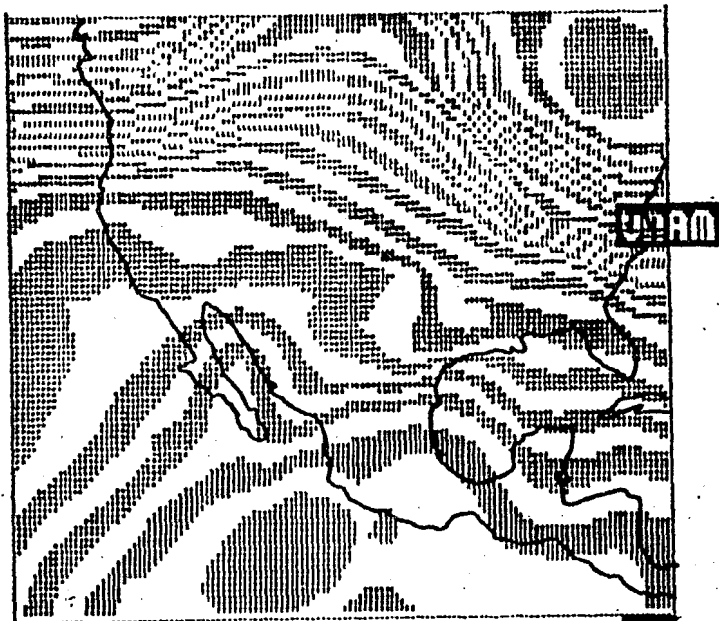


FIGURA 4.4.7
CAMPO GEOPOTENCIAL PRONOSTICADO 36 HORAS DESPUÉS.

4.5 Conclusiones.

- 4.5.1 Con relación al modelo de predicción conocido como modelo barotrópico equivalente, el cual contiene como caso especial al modelo barotrópico, se concluye que: Físicamente es más completo el primero, ya que contiene un término de forzamiento, el cual permite desde el punto de vista de modelaje, simular la presencia de orografía, fuentes de calor y la tropopausa. Desde el punto de vista matemático, el modelo BE es altamente calibrable, como se muestra en las normas Euclidianas presentadas en la tabla 4.3.4, pudiéndose aumentar o disminuir el forzamiento M según la época del año.
- 4.5.2 Respecto a los métodos de solución numérica al sistema de ecuaciones algebraicas, la tabla 4.3.1 y la figura 4.3.2 muestran que ambos métodos generan soluciones idénticas dentro del rango de 0.01×10^{-5} de diferencia entre ellas, no obstante, el método SOR resulta más versátil con respecto a las condiciones de frontera, ya que el de Fourier está restringido a condiciones cíclicas, aunque en la parte central del enrejado, donde las fronteras no intervienen, ambos se comportan bien. La superioridad del método RCR se manifiesta en el tiempo de proceso, siendo este de alrededor de hasta 9 veces más rápido. La tabla anexa muestra los tiempos de proceso consumidos para diferentes factores de sobrerrelajación en la máquina B - 7800 del P U C . Es de esperarse que con enrejados hemisféricos no sería posible con éste método, lograr pronósticos ni siquiera a 6 horas. El factor de sobrerrelajación fué calculado con 3 métodos diferentes, siendo el más fácil y exacto el dado por Haltiner (referencia 1 y página 30 de este trabajo).

Tiempo de proceso (en seg.)	Factor de relajación	Exactitud exigida	No. de iter para alcanzar la sol.
3.8	1.9	10^{-5}	51
3.8	1.8	10^{-5}	33
13.9	1.8	10^{-10}	344
275.9	1.8	10^{-15}	no convergió
3.8	1.777	10^{-5}	30
3.8	1.75	10^{-5}	31
3.4	*1.715	10^{-5}	32
3.8	1.7	10^{-5}	33
3.8	1.67	10^{-5}	35
3.8	1.60	10^{-5}	39
3.9	1.40	10^{-5}	51
4.3	1.2	10^{-5}	60
4.2	1.0	10^{-5}	69
73.1	1.0	10^{-10}	3647

TABLA 4.5.1
 Para el caso del enrejado de 24×24 puntos, el factor óptimo de relajación es 1.777, mientras que el marcado con asterisco es el dado por Haltiner. Puesto que el cálculo se requirió 40 veces para un pronóstico a 30 horas, ello implica que el menor tiempo de proceso, que es de 3.4 seg., necesitará 136.0 seg. como mínimo para dicho pronóstico, (aquí no se están tomando los cálculos adicionales que elevarían fácilmente el tiempo en un 50 % más). Comparando este tiempo con el requerido por el método de Fourier en la tabla 4.3.4, se deduce que este último es, para este caso, 3.85 veces más rápido.

En vista de lo anterior, la conclusión al respecto es:

- a).- Para integraciones numéricas en dominios de área limitada es perfectamente factible el uso de ambos métodos.
- b).- Para integraciones en dominios hemisféricos o regiones muy grandes, donde los enrejados son considerablemente mayores, (del orden de 1000 o 10,000 puntos, por ejemplo), deberá utilizarse el método directo (RCR), si se desea tener la posibilidad de aplicar en forma operativa los modelos de predicción numérica.

4.5.3 El área válida de pronóstico se determina de la tabla 4.3.1 y la figura 4.3.2, donde se observa que la sola exclusión de la frontera para ambos métodos numéricos disminuye el error Euclidiano hasta en un 17 %; el quitar dos renglones y dos columnas disminuye el error en un 28 %, y así sucesivamente, hasta llegar a un 44 % cuando se han quitado cuatro renglones y columnas en toda la frontera, así la conclusión final al respecto es la de eliminar de los resultados finales una área periférica de $3\Delta x$.

4.5.4 De la tabla 4.3.4 se concluye que el modelo es altamente sensible a los cambios en el parámetro de Helmholtz M , por lo que su calibración corresponderá a valores del orden de 10^{-14} , siendo recomendable generalmente el valor obtenido teóricamente, como una muy buena aproximación. Cualquier valor menor que 10^{-14} estará más cerca de ser el modelo barotrópico simple, mientras que valores mayores (10^{-12} por ejemplo), producirá forzamientos no justificados físicamente, ya que estarán fuera de orden de magnitud, i. e.,

$$0 \leq M \leq 9.27 \times 10^{-14}$$

4.5.5 En la figura 4.4.7 se observa la tendencia de la región de baja a desplazarse a la derecha, sin embargo el modelo no logró sacarla. En el campo observado 12 horas después, dicha baja ya casi había salido por completo de la región. Esta aparente anomalía no lo es tal, ya que la zona anómala es del orden de $3\Delta x$, como antes se dijo, es decir, en la región mostrada en las figuras 4.4.2 hasta la 4.4.7, se entenderá como área válida de pronóstico solamente la parte central de tal región, después de haberle quitado 4 renglones y 4 columnas en todas las fronteras. No obstante, una razón más importante que la anterior, es debida a una limitación del modelo, ya que las ondas con longitudes de onda menores o iguales

que $2\Delta x$ de la separación entre puntos del enrejado, no serán movidas por el modelo, y en caso extremo, las moverá pero en sentido negativo, (ver referencia 5), es por ello que enrejados finos producirán mejores pronósticos cuando haya presentes fenómenos de mesoescala, pero incrementarán geométricamente el tiempo de proceso de máquina. Sin embargo, la estabilidad del modelo queda manifiesta en la ausencia de ciclogénesis ficticias, y en que la evolución de los sistemas es acorde con la dinámica asociada. Respecto de la vaguada que no cambió de orientación, (cosa que ocurrió en los mapas observados), es debido a que se encuentra justamente en la frontera derecha de la región de integración, y por ello dentro de la "zona anómala" .

4.5.6 De las figuras 3.5.4 , 3.6.1 y 3.6.2 , se verifica visualmente que los métodos numéricos SOR y RCR no serán causa de falla en los pronósticos, (excepto por las limitaciones de las condiciones de frontera), sin embargo al observar las figuras 3.5.3 y 4.3.3 , que deberían en teoría parecerse mucho, no ocurre así, no obstante que el Jacobiano de 4.3.3 fué calculado siguiendo los métodos tradicionales de diferencias finitas. En la referencia 5 (apéndice C), se tratan otras formas de calcular el Jacobiano usando el esquema de Arakawa, así que será necesario verificar experimentalmente tal como se hizo en 4.3.3 , para demostrar la validez del mismo. Cuando se logren Jacobianos similares a los "verdaderos" , los pronósticos serán excelentes.

4.5.7 La implementación del método numérico de Hockney, quien lo utilizó en emisores de iones y tubos de electrones, permite ahora a meteorólogos que disponen de computadoras pequeñas, ampliar sus regiones de integración hasta enrejados hemisféricos, lo cual se traducirá en mejores pronósticos y en poder alargar el tiempo de los mismos hasta 3 o 4 días si las condiciones climáticas lo permiten (esto es, cuando no existen grandes perturbaciones) . Para el enrejado de este trabajo, la validez del tiempo de pronóstico resultó ser del orden de 24 horas.

APENDICES.

APENDICE A

PROGRAMA GEOPOTENCIAL TEORICO

```

100 FILE 6-FSC,UNIT=SECTE,RECORD=22
125 XPROGRAMA GEOPOTENCIAL
150 DIMENSION GEO(4,24)
175 C=700.
200 U=12.
225 V=3.
250 W=0.1
275 A=100.
300 B=40.
325 E=200.
350 XK=0.5
375 XL=0.5
400 XM=0.05
425 XN=0.0033
450 DO 10 I=1,24
475 DO 10 J=1,24
500 IX=I
525 JY=J
550 REAL IX,JY
575 IX = IX -6.0
600 JY = JY -14.0
625 GEO(I,J)=C-10.0*Y-0.4*Y*Y+0.4*Y*Y*Y+0.4*Y*Y*Y*Y*Y
650 * SIN(IX*XK)+B*COS(IX*XL)-E*COS(IX*XM)*SIN(JY*XN)
675 10 CONTINUE
700 K = GEO(1,1)
725 I = GEO(1,1)
750 DO 15 I = 1,24
775 DO 15 J = 1,24
800 XMAX = AMAX1(GEO(I,J), K)
825 XMIN = AMIN1(GEO(I,J), I)
850 K = XMAX
875 I = XMIN
900 15 CONTINUE
925 DIF = (K-I)/39.
950 40 CALL MAPA(GEO,I,DIF,101,127)
975 3 CALL EXIT
1000 END
1025 SUBROUTINE MAPA(Z,BASE,CINT,NI,NC)
1050 DIMENSION Z(24,24),SINH(20),V(130)
1075 DATA SINH/'A','B','C','D','E','F','G','H','I','J','K','L','M',
1100 * 'N','O','P','Q','R','S','T'/
1125 DATA CRUZ, ASTER/'I','*'/
1150 DATA BLK, GUIDON/' ','_'/
1175 NI=NI-1
1200 NC=NC-1
1225 CINT2= 2.0*CINT
1250 R12 = 23.0/NCM1
1275 R23 = 23.0/NCM1
1300 WRITE (6,100)
1325 100 FORMAT(11X,'CONTAS DE LOS SIMBOLOS',/,7X,'SIMBOLO',7X,'INFERIOR',
1350 * 4X,'SUPERIOR',/)
1375 DO 1 K=1,20
1400 CONTI = BASE + 2.0*CINT*(K-1)
1425 CONTS = CONTI + CINT
1450 WRITE (6,101) SIMB(K),CONTI,CONTS
1475 101 FORMAT (10X,A1,6X,2F12.4)
1500 1 CONTINUE

```

```

1525      WRITE (6,102)
1530 102  FORMAT (' *',/,'//',IX,' *1',I2X,' *2')
1535      DO 2 J=2,NCM1
1540          VC(J) = 60100
1545      2  CONTINUE
1550      WRITE (6,103) (VC(J), J=2,NCM1)
1555      DO 10 I=1,6
1560          RI = 1.0 / (100.0 - I) * R24
1565          I = 11 IX (RI)
1570          X = RI - 11001 (I)
1575          DO 11 J=1,NCM1
1580              RI = 1.0 / (CM50 - J) * RI2
1585              J = 11 IX (RI)
1590              Y = RI - 11001 (J)
1595              G1 = Z (I,J)
1600              G2 = Z (111,J) - G1
1605              G3 = Z (111,111) - G1
1610              G4 = Z (111,111) - G1 - G2 - G3
1615              ZINT = G1 + G2 * X + (G3+G4X) * Y
1620              VC(JCM) = 01K
1625              DO 12 K=1,20
1630                  COM1 = 0650 / (K-1) + C1012
1635                  COM2 = COM1 + C101
1640                  IF (ZINT.GT.COM1.OR.ZINT.GT.COM2) GO 10 12
1645              VC(JCM) = 5100 (K)
1650      12  CONTINUE
1655      11  CONTINUE
1660      WRITE (6,103) (VC(J), J=2,NCM1)
1665 103  FORMAT (IX,' *1',I25A1,' *1')
1670      10  CONTINUE
1675      DO 19 J=2,NCM1
1680          VC(J) = 60100
1685      19  CONTINUE
1690      WRITE (6,103) (VC(J), J=2,NCM1)
1695      REPAIR
1700      END

```

A P E N D I C E B

PROGRAMA VORTICIDAD TEORICA

```

100 FILE 6=ESC,UNIT=PRINTER,RECORD=22
105 DIMENSION VOR(24,24)
110 DD=231.423E3
115 V=3.0
120 W=0.1
125 A=100.0
130 B=40.0
135 E=200.0
140 OMEGA=7.295E-5
145 XK=0.5
150 XL=0.5
155 XM=1.0/20.0
160 XN=1.0/12.0
165 FI=(30.0*3.1416)/180.0
170 XXK=XK*XX
175 XXL=XL*XL
180 XXM=XM*XM
185 XXN=XN*XN
190 EFEO=2.0*OMEGA*SIN(FI)
195 FO=EFEO*DD*100
200 DO 10 I=1,24
205 DO 10 J=1,24
210 IX=I
215 JY=J
220 REAL IX,JY
225 IX = IX - 6.0
230 JY = JY - 14.0
235 VOR(I,J)=-(-2.0*V+6.0*W*JY-A*XXK*SIN(XK*IX)-B*XXL*COS
240 * (XL*IX)+E*(XXM*XXN)*COS(XM*IX)*SIN(XN*JY))/FO
245 10 CONTINUE
250 CALL AUTASI(24,24,CINT,BASE,VOR,XXMAX)
255 444 CALL HAPA(VOR,BASE,CINT,101,127)
260 3 CALL EXIT
265 END
270 SUBROUTINE HAPA(Z,BASE,CINT,NL,NC)
275 DIMENSION Z(24,24),SINH(20),V(130)
280 DATA SINH/'A','B','C','D','E','F','G','H','I','J','K','L','M',
285 * 'N','O','P','Q','R','S','T'/'
290 DATA CRUZ, ASTER/'+', '*'/'
295 DATA BLK, GUION/' ','_-'/'
300 NL1 = NL-1
305 NCH1 = NC-1
310 CINT2= 2.0*CINT
315 R17 = 23.0/NCH1
320 R23 = 23.0/NL1
325 WRITE (6,100)
330 100 FORMAT(11X,'COTAS DE LOS SINGULOS',/,7X,'SIMBOLO',7X,'INFERIOR',
335 *4X,'SUPERIOR',/)
340 DO 1 K=1,20
345 CONTI = BASE + 2.0*CINT*(K-1)
350 CONTB = CONTI + CINT
355 WRITE (6,101) SINH(K),CONTI,CONTB
360 101 FORMAT (10X,A1,6X,2E12.4)
365 1 CONTINUE
370 WRITE (6,102)
375 102 FORMAT (' ',/,1X,'1',126X,'24')
380 DO 2 J=2,NCH1
385 V(J) = GUION
390 2 CONTINUE
395 WRITE (6,103) (V(J),J=2,NCH1)

```



```

400 DO 10 LINEA = 2,NM1
405 RI = 1.0 + (LINEA - 1) * R23
410 I = IFIX (RI)
415 X = RI - FLOAT (I)
420 DO 11 JCAR = 2,NM1
425 RJ = 1.0 + (JCAR-1)* R17
430 J = IFIX (RJ)
435 Y = RJ - FLOAT (J)
440 A1 = Z (I,J)
445 A2 = Z (I+1,J) - A1
450 A3 = Z (I,J+1) - A1
455 A4 = Z (I+1,J+1) - A1 - A2 - A3
460 ZINT = A1 + A2 * X + (A3+A4*X) * Y
465 V(JCAR) = BIK
470 DO 12 K=1,20
475 CONTI = BASE + (K-1) * CINT2
480 CONTS = CONTI + CINT
485 IF ( ZINT.LE.CONTI.OR.ZINT.GT.CONTS) GO TO 12
490 V(JCAR) = SIMB (K)
495 12 CONTINUE
500 11 CONTINUE
505 WRITE (6,103) (V(J),J=2,NM1)
510 103 FURMAT (1X, *1*,125A1,*1*)
515 10 CONTINUE
520 DO 19 J= 2,NM1
525 V(J) = BUION
530 19 CONTINUE
535 WRITE (6,103) (V(J), J=2,NM1)
540 RETURN
545 END
550 SUBROUTINE AHTAB(N,H,DIF,WW,XVAR,XMAX)
555 DIMENSION XVAR(N,H)
560 VV=XVAR(1,1)
565 WW=XVAR(1,1)
570 DO 1 I=1,N
575 DO 1 J=1,H
580 XMAX=AMAX1(VV,XVAR(I,J))
585 XMIN=AMIN1(WW,XVAR(I,J))
590 VV=XMAX
595 WW=XMIN
600 1 CONTINUE
605 1 DIF=(VV-WW)/39.0
610 RETURN
615 END
620 SUBROUTINE ESCRI(N,H,XVAR)
625 DIMENSION XVAR(N,H)
630 DO 1 I=1,N
635 WRITE(6,2) ( XVAR(I,J) , J=1,H )
640 2 FORMAT(////,1H,10(E7.1,2X))
645 1 CONTINUE
650 RETURN
655 END

```

A P E N D I C E C

PROGRAMA JACOBIANO TEORICO

```

100 FILE 6-ESC,UNIT=RENDIF,RECORD=22
105 Z PROGRAM 'JACOBIANO'
110 DIMENSION X,JAC(24,24)
115 DD=231.423E3
120 U=12.0
125 V=3.0
130 W=0.1
135 A=100.0
140 B=40.0
145 F=200.0
150 OMEGA=7.295E-5
155 BETA=2.*OMEGA*COS(FI)/6.37E6
160 XK=0.5
165 XI=0.5
170 XM=1.0/20.0
175 XN=1.0/12.0
180 FI=(30.0*3.1416)/180.0
181 XXM=XM*XM
182 XXN=XN*XN
183 EFEO=2.0*OMEGA*SIN(FI)
184 FO=EFEO*DD*DD*DD*DD
185 AA=A*XK*(6.*W+BETA*EFEO)-A*XK*XK*XK*U
190 BB=-B*XL*(6.*W+BETA*EFEO)+B*XL*XL*XL*U
195 CC=-2.*A*XK*XK*XK*U
200 DDD=3.*A*XK*XK*XK*W
205 EE=2.*B*XL*XL*XL*U
210 FF=-3.*B*XL*XL*XL*W
215 GG=E*XM*(6.*W+BETA*EFEO)-E*XM*U*(XXM+XXN)
220 HH=-2.*E*XM*U*(XXM+XXN)
225 II=3.*E*XM*W*(XXM+XXN)
230 XJJ=A*XK*E*XXN*(XXM+XXN)-A*XK*XK*XK*E*XXN
235 XKK=-B*XL*E*XXN*(XXM+XXN)+B*XL*XL*XL*E*XXN
240 300 DO 10 I=1,24
265 DO 10 J=1,24
270 IX=I
275 JY=J
280 REAL IX,JY
285 IX = IX - 6.0
290 JY = JY - 14.0
295 XJAC(I,J)=(AA*COB(XK*IX)+BB*SIN(XL*IX)+CC*JY*COB(XK*IX)+
300 * DDD*JY*JY*COB(XK*IX)+EE*JY*SIN(XL*IX)+
305 * FF*JY*JY*SIN(XL*IX)+GG*SIN(XM*IX)*SIN(XN*JY)+
310 * HH*JY*SIN(XM*IX)*SIN(XN*JY)+II*JY*JY*SIN(XM*IX)*
315 * SIN(XN*JY)+XJJ*COB(XK*IX)*COB(XM*IX)*COB(XN*JY)+
320 * XKK*SIN(XL*IX)*COB(XM*IX)*COB(XN*JY)
325 * /FO
330 10 CONTINUE
335 CALL AUTABI(24,24,CINT,BASE,XJAC,XXMAX)
340 444 CALL MAPA(XJAC,BASE,CINT,101,127)
345 3 CALL EXIT
350 END
SUBROUTINE MAPA (Z,BASE,CINT,NL,NC)
360 DIMENSION Z(24,24),SIMB (20),U(130)
365 DATA SIMB/'A','B','C','D','E','F','G','H','I','J','K','L','M',
370 * 'N','O','P','Q','R','S','T'
375 DATA CRUZ, ASTER/ ' ',' ' /
380 DATA BLK, GUION/ ' ','-' /
385 NLMI = NL-1
390 NCM1 = NC-1
395 CINT2= 2.0*CINT
400 R17 = 23.0/NCM1
405 R23 = 23.0/NLMI
410 WRITE (6,100)
415 100 FORMAT(11X,'COTAS DE LOS SIMBOLOS',/,7X,'SIMBOLO',7X,'INFERIOR',
420 * 4X,'SUPERIOR',/)
425 DO 1 K=1,20
430 CONTI = BASE + 2.0*CINT*(K-1)
435 CONTS = CONTI + CINT

```

A P E N D I C E C

PROGRAMA JACOBIANO TEORICO

```

100 FILE 6-ESC,UNIT=REMOF,RECORD=22
105 Z PROGRAMA JACOBIANO
110 DIMENSION XJAC(24,24)
115 IM=231.423E3
120 U=17.0
125 V=3.0
130 W=0.1
135 A=100.0
140 B=40.0
145 F=200.0
150 OMEGA=7.295E-5
155 BETA=2.*OMEGA*COS(FI)/6.37E6
160 XK=0.5
165 XI=0.5
170 XH=1.0/20.0
175 XN=1.0/12.0
180 FI=(30.0*3.1416)/180.0
181 XXH=XH*XM
182 XXN=XN*XM
183 EFEO=2.0*OMEGA*SIN(FI)
184 FO=EFEO*DD*DD#DD#DD
185 AA=A*XK*(6.*W+BETA*EFEO)-A*XK*XK*XK*U
190 BB=-B*XL*(6.*W+BETA*EFEO)+B*XL*XL*XL*U
195 CC=-2.*A*XK*XK*XK*V
200 DDD=3.*A*XK*XK*XK*W
205 EE=2.*B*XL*XL*XL*W
210 FF=-3.*B*XL*XL*XL*W
215 GG=E*XM*(6.*W+BETA*EFEO)-E*XM*U*(XXH+XXN)
220 HH=-2.*E*XM*V*(XXH+XXN)
225 XII=3.*E*XM*W*(XXH+XXN)
230 XJJ=A*XK*E*XM*(XXH+XXN)-A*XK*XK*XK*E*XM
235 XKK=-B*XL*E*XM*(XXH+XXN)+B*XL*XL*XL*E*XM
240 300 DO 10 I=1,24
265 DO 10 J=1,24
270 IX=I
275 JY=J
280 REAL IX,JY
285 IX = IX - 6.0
290 JY = JY - 14.0
295 XJAC(I,J)=(AA*COS(XK*IX)+BB*SIN(XL*IX)+CC*JY*COS(XK*IX)+
300 * DDD*JY*JY*COS(XK*IX)+EE*JY*SIN(XL*IX)+
305 * FF*JY*JY*SIN(XL*IX)+GG*SIN(XH*IX)*SIN(XN*JY)+
310 * HH*JY*SIN(XH*IX)*SIN(XN*JY)+XII*JY*JY*SIN(XH*IX)*
315 * SIN(XN*JY)+XJJ*COS(XK*IX)*COS(XH*IX)*COS(XN*JY)+
320 * XKK*SIN(XL*IX)*COS(XH*IX)*COS(XN*JY))
325 * /FO
330 10 CONTINUE
335 CALL AUTABI(24,24,CINT,BASE,XJAC,XXMAX)
340 444 CALL MAPA(XJAC,BASE,CINT,101,127)
345 3 CALL EXIT
350 END
355 SUBROUTINE MAPA(Z,BASE,CINT,NL,NC)
360 DIMENSION Z(24,24),SMB(20),U(130)
365 DATA SMB/'A','B','C','D','E','F','G','H','I','J','K','L','M',
370 * 'N','O','P','Q','R','S','T'/
375 DATA CRUZ,ASTER/'+', '*','/'
380 DATA BLK, GUION/' ','_','/'
385 NLH1 = NL-1
390 NCH1 = NC-1
395 CINT2= 2.0*CINT
400 R17 = 23.0/NCH1
405 R23 = 23.0/NLH1
410 WRITE (6,100)
415 100 FORMAT(11X,'COTAS DE LOS SIMBOLOS',/,7X,'SIMBOLO',7X,'INFERIOR',
420 * 4X,'SUPERIOR',/)
425 DO 1 K=1,20
430 CONTI = BASE + 2.0*CINT*(K-1)
435 CONTS = CONTI + CINT

```

```

440      WRITE (6,101) SIBCKO,CON11,CON15
445 101  FORMAT (10X,A1,6X,2F12.4)
450      1  CONTINUE
455      WRITE (6,102)
460 102  FORMAT (' *',////,1X,'*1',1.6X,'*2*')
465      DO 2 J=2,NCM1
470      VC(J) = GHIION
475      2  CONTINUE
480      WRITE (6,103) (VC(J),J=2,NCM1)
485      DO 10 LINEG = 2,NCM1
490      RI = 1.0 + (LINEG - 1) * R23
495      I = IFIX (RI)
500      X = RI - FLOAT (I)
505      DO 11 JCAR = 2,NCM1
510      RJ = 1.0 + (JCAR-1)* R17
515      J = IFIX (RJ)
520      Y = RJ - FLOAT (J)
525      A1 = Z (I,J)
530      A2 = Z (I+1,J) - A1
535      A3 = Z (I,J+1) - A1
540      A4 = Z (I+1,J+1) - A1 - A2 - A3
545      ZINI = A1 + A2 * X + (A3+A4*X) * Y
550      VC(JCAR) = BUK
555      DO 12 K=1,20
560      CON11 = BASE + (K-1) * CINI2
565      CON15 = CON11 + CINI1
570      IF (ZINI.LE.CON11.OR.ZINI.GE.CON15) GO TO 12
575      VC(JCAR) = SIBB (K)
580      12  CONTINUE
585      11  CONTINUE
590      WRITE (6,103) (VC(J),J=2,NCM1)
595 103  FORMAT(1X,'*1',125A1,'*1')
600      10  CONTINUE
605      DO 19 J= 2,NCM1
610      VC(J) = GHIION
615      19  CONTINUE
620      WRITE (6,103) (VC(J), J=2,NCM1)
625      RETURN
630      END
635      SUBROUTINE AUTASI(N,H,BIF,WV,XVAR,XMAX)
640      DIMENSION XVAR(N,H)
645      WV=XVAR(1,1)
650      WW=XVAR(1,1)
655      DO 1 I=1,N
660      DO 1 J=1,H
665      XMAX=AMAX1(WV,XVAR(I,J))
670      XMIN=AMIN1(WV,XVAR(I,J))
675      WV=XMAX
680      WW=XMIN
685      1  CONTINUE
690      BIF=(WV-WW)/39.0
695      RETURN
700      END
705      SUBROUTINE ESCRI(N,H,XVAR)
710      DIMENSION XVAR(N,H)
715      DO 1 I=1,N
720      WRITE(6,2) ( XVAR(I,J) , J=1,H )
725      2  FORMAT(////,10,10(E7.1,2X))
730      1  CONTINUE
735      RETURN
740      END

```

A P E N D I C E D
PROGRAMA TENDENCIA TEORICA

```

110 FILE 4 ESCUELA DE INGENIERIA AERONAUTICA
115 DIMENSION DIMENSIONES(2,2)
120 DD=241.4733
125 D=12.0
130 U=5.0
135 W=0.1
140 G=100.0
145 H=40.0
150 E=200.0
155 OMEGA=7.2951
160 F1=(30.0*3.1416)/100.0
165 BE16=2.*ABS(GA*COS(F1)/26.37E6
170 XI=0.5
175 XI=0.5
180 XB=1.0/20.0
185 XR=1.0/12.0
190 FFE0=2.0*OMEGA*SIN(F1)
195 AA=AA*(6.*WB*TA*FFE0)-AA*XB*XR*XB
200 BB=-BA*XI*(6.*WB*TA*FFE0)+BB*XI*XI*XI
205 CC=-2.*AA*XB*XR*XB
210 DD=-3.*AA*XB*XR*XB
215 EE=-2.*BB*XI*XI*XI
220 FF=-3.*BB*XI*XI*XI
225 XX=XH*XM
230 XX=XH*XM
235 GG=FX*HA*(6.*WB*TA*FFE0)-FX*XB*XR*XB
240 HH=-2.*EE*XM*XM*(XX*XI*XI)
245 XI=3.*EE*XM*XM*(XX*XI*XI)
250 XII=AA*XB*XR*XB*(XX*XI*XI)-AA*XB*XR*XB*XB
255 XKB=-BA*XI*XB*XM*(XX*XI*XI)+BA*XI*XI*XI*XB
260 HM=-B,27E-14
265 FD=EF*OMEGA*DD
270 R=XX*XI*XM*HM
275 I=XX*XI*XM*XI*XI*HM
280 300 DD 10 1-1,24
285 DD 10 1-1,24
290 IX=I
295 JY=J
300 RECAL IX, JY, HM
305 IX = IX - 4.0
310 JY = JY - 14.0
315 TEND(I, J) = ((-AA*COS(XB*IX))/(HM*XB*XR))-BB*SIN(XI*IX)/(HM*XI*XI)
320 * -CC*JY*COS(XB*IX)/(HM*XB*XR)
325 * -(DD/(HM*HM*DD)+HM*XB*XR*XB*XB*XB*XB*XB*XB*XB*XB*XB*XB*XB*XB*XB*XB)
330 * (XI*XB*XR*XB*XB*XB*XB*XB*XB*XB*XB*XB*XB*XB*XB*XB*XB)
335 * -EE*JY*SIN(XI*IX)/(HM*XI*XI)-(F1/(HM*OMEGA)+OMEGA*XI*XI
340 * +XI*XI*XI*XI*XB*XB*XB*XB*XB*XB*XB*XB*XB*XB*XB*XB*XB*XB*XB*XB)
345 * +2.*SIN(XI*IX)-GG*SIN(XM*IX)*SIN(CAN*JY)/(
350 * XX*XI*XM*HM)-(HM/(XX*XI*XM*HM))*(J1+SIN(XM*IX)*SIN(XN*J
355 * Y)+2.*XM*SIN(XM*IX)*COS(XN*JY)/R)
360 * -(JY*JY/R12./R12)-B.*XXN/(R12*R12)*XI*XI*SIN(XM*
365 * IX)*SIN(XN*JY)-4.*XM*XI*JY*SIN(XM*IX)*COS(XM*JY)
370 * /R12+X11*(1./R12-1)*T1/(4.*XX*XB*XB*XB*XB*XB*XB*XB*XB*XB*XB*XB*XB*XB*XB*XB)
375 * *COS(XB*IX)*COS(XM*IX)*COS(XN*JY)/T+
380 * X11*SIN(XB*IX)
385 * *SIN(XM*IX)*COS(XN*JY)/(2.*XM*XB*XB*XB*XB*XB*XB*XB*XB*XB*XB*XB*XB*XB*XB*XB)
390 * -(1.-1./T1)/(4.*XM*XB*XB*XB*XB*XB*XB*XB*XB*XB*XB*XB*XB*XB*XB*XB)*
395 * *COS(XM*IX)*COS(XN*JY)/T-XKB*COS(XI*IX)*SIN(XM*IX)*
400 * *COS(XN*JY)/(T1/(2.*XM*XB*XB*XB*XB*XB*XB*XB*XB*XB*XB*XB*XB*XB*XB*XB))-FD
405 10 CONTINUE
410 CALL AUTASI(24,24,CINT,BASE,TEND,XX*XM)
415 CALL MAPA(TEND,BASE,CINT,101,127)
420 3 CALL EXIT
425 END

```

```

430      SUBROUTINE TUNZ (Z, TUNZ, CINT, N, NC)
435      DIMENSION Z(24,24),S1(0),S2(0),V(130)
440      DATA SIMB/'A','B','C','D','E','F','G','H','I','J','K','L','M',
445      *      'N','O','P','Q','R','S','T'/
450      DATA CRUZ, ASTER/'*','**'/
455      DATA BUK, GUION/' ','_'/
460      NCM1 = M-1
465      NCM2 = N-1
470      CINT2 = 2.04CINT1
475      R17 = 23.0/NCM1
480      R23 = 23.0/NCM1
485      WRITE (6,100)
490      100  FORMAT (11X, 'COPIAS DE LOS SIMBOLOS', //, ZX, '*SIMBOLO', ZX, '*INFERIOR',
495      *      4X, '*SUPERIOR', //)
500      DO 1 K=1,20
505      CONT1 = BASE + 2.04CINT1*(K-1)
510      CONT2 = CONT1 + CINT1
515      WRITE (6,101) SIMB(K),CONT1,CONT2
520      101  FORMAT (10X,6I,4X,2F12,4)
525      1  CONTINUE
530      DO 2 J=2,NCM1
535      V(J) = GUION
540      2  CONTINUE
545      WRITE (6,103) (V(J), J=2,NCM1)
550      DO 10 LINEA = 2,NCM1
555      RI = 1.0 + (LINEA - 1) * R23
560      I = IFIX (RI)
565      X = RI - FLOAT (I)
570      DO 11 JCAR = 2,NCM1
575      RJ = 1.0 + (JCAR-1)* R17
580      J = IFIX (RJ)
585      Y = RJ - FLOAT (J)
590      A1 = Z (I,J)
595      A2 = Z (I+1,J) - A1
600      A3 = Z (I,J+1) - A1
605      A4 = Z (I+1,J+1) - A1      A2 - A3
610      ZINT = A1 + A2 * X + (A3+A4*X) * Y
615      V(JCAR) = BUK
620      DO 12 K=1,20
625      CONT1 = BASE + (K-1) * CINT2
630      CONT2 = CONT1 + CINT1
635      IF ( ZINT .LE. CONT1 .OR. ZINT .GT. CONT2) GO TO 12
640      V(JCAR) = SIMB (K)
645      12  CONTINUE
650      11  CONTINUE
655      WRITE (6,103) (V(J), J=2,NCM1)
660      103  FORMAT (1X, '1',125A1,'1')
665      10  CONTINUE
670      DO 19 J= 2,NCM1
675      V(J) = GUION
680      19  CONTINUE
685      WRITE (6,103) (V(J), J=2,NCM1)
690      RETURN
695      END
700      SUBROUTINE AUTASI (N,H,DIF,WW,XUAR,XMAX)
705      DIMENSION XUAR(N,H)
710      VV=XUAR(1,1)
715      WW=XUAR(1,1)
720      DO 1 I=1,N
725      DO 1 J=1,H
730      XMAX=AMAX1(VV,XUAR(I,J))
735      XMIN=AMIN1(WW,XUAR(I,J))
740      VV=XMAX
745      WW=XMIN
750      1  CONTINUE
755      DIF=(VV-WW)/39.0
760      RETURN
765      END
770      SUBROUTINE ESCRI(N,H,XUAR)
775      DIMENSION XUAR(N,H)
780      DO 1 I=1,N
785      WRITE(6,2) ( XUAR(I,J) , J=1,H )
790      2  FORMAT(////,1H,10(7,1,2X))
795      1  CONTINUE
800      RETURN
805      END

```

B I B L I O G R A F I A

- (1) Haltiner J. George and Roger Terry Williams, 1980: NUMERICAL PREDICTION AND DYNAMIC METEOROLOGY, (Second Edition), Wiley, 477 pp.
- (2) Holton James R., 1979: AN INTRODUCTION TO DYNAMIC METEOROLOGY, (Second Edition), Academic Press, 391 pp.
- (3) Schwarz H. R., Rutishauser H., and Stiefel E., (Traducción del alemán al inglés por Hertelendy Paul), 1973: NUMERICAL ANALYSIS OF SYMMETRIC MATRICES, Prentice Hall, Inc., 275 pp.
- (4) Hockney R. W., 1965: A FAST DIRECT SOLUTION OF POISSON'S EQUATION USING FOURIER ANALYSIS, Journal of the Association for Computing Machinery, Vol. 12, No. 1.
- (5) Morales A. Tomás, 1979: EXPERIMENTOS NUMERICOS SOBRE DINAMICA ATMOSFERICA A CORTO PLAZO, Tesis de Maestría, Fac. de Ciencias, U.N.A.M., 120 pp.
- (6) Miyakoda Kikuro, 1962: CONTRIBUTION TO THE NUMERICAL WEATHER PREDICTION -COMPUTATION WITH FINITE DIFERENCE, Jap. Journal of Geophysics pp. 3, 75-190.
- (7) Seymour L. Hess, 1959: INTRODUCTION TO THEORETICAL METEOROLOGY, Holt Rinehart and Winston, New York, 362 pp.
- (8) Rosmond E. Thomas and Faulkner Frank D., 1976: DIRECT SOLUTION OF ELLIPTIC EQUATIONS BY BLOCK CYCLIC REDUCTION AND FACTORIZATION, Monthly Weather Review, pp. 641-649.
- (9) Carnahan Brice, Luther H. A., and Wilkes James O., 1969: APPLIED NUMERICAL METHODS, Wiley, 604 pp.
- (10) Smith G. D., 1978: NUMERICAL SOLUTION OF PARTIAL DIFFERENTIAL EQUATIONS: FINITE DIFFERENCE METHODS, (Second Edition), Oxford University Press, 304 pp.